

## **ნინო ლებანიძე-ასათიანი**

**ორმაგი ტრანსფორმატორული საზომი ბოგირის  
ოპტიმალური პარამეტრების დადგენისა და  
მაღალმგრძნობიარობის დამოკიდებულების გამოკვლევა**

**წარმოდგენილია დოქტორის აკადემიური ხარისხის  
მოსაპოვებლად**

**საქართველოს ტექნიკური უნივერსიტეტი  
თბილისი, 0175, საქართველო  
ივლისი, 2013**

**საქართველოს ტექნიკური უნივერსიტეტი  
ენერგეტიკისა და ტელეკომუნიკაციის ფაკულტეტი**

ჩვენ, ქვემოთ ხელისმომწერნი ვადასტურებთ, რომ გავეცანით ლებანიძე-ასათიანი ნინოს მიერ შესრულებულ სადისერტაციო ნაშრომს დასახელებით: ორმაგი ტრანსფორმატორული საზომი ბოგირის ოპტიმალური პარამეტრების დადგენისა და მაღალმგრძნობიარობის დამოკიდებულების გამოკვლევა და ვაძლევთ რეკომენდაციას საქართველოს ტექნიკური უნივერსიტეტის ენერგეტიკისა და ტელეკომუნიკაციის ფაკულტეტის სადისერტაციო საბჭოში მის განხილვას დოქტორის აკადემიური ხარისხის მოსაპოვებლად.

თარიღი

---

ხელმძღვანელი: სრული პროფ. თენგიზ მუსელიანი

---

რეცენზენტი: სრული პროფ. თამაზ კოხრეიძე

---

რეცენზენტი: ასოც.პროფ. ნაზი ერემეიშვილი

ავტორი: ლებანიძე-ასათიანი ნინო

დასახელება: ორმაგი ტრანსფორმატორული საზომი ბოგირის ოპტიმალური პარამეტრების დადგენისა და მაღალმგრძნობიარობის დამოკიდებულების გამოკვლევა.

ფაკულტეტი: ენერგეტიკისა და ტელეკომუნიკაციის

ხარისხი: დოქტორი

სხდომა ჩატარდა: თარიღი

ინდივიდუალური პიროვნებების ან ინსტიტუტების მიერ ზემომოყვანილი დასახელების დისერტაციის გაცნობის მიზნით მოთხოვნის შემთხვევაში მისი არაკომერციული მიზნებით კოპირებისა და გავრცელების უფლება მინიჭებული აქვს საქართველოს ტექნიკურ უნივერსიტეტს.

---

ავტორის ხელმოწერა

ავტორი ინარჩუნებს დანარჩენ საგამომცემლო უფლებებს და არც მთლიანი ნაშრომის და არც მისი ცალკეული კომპონენტების გადაბეჭდვა ან სხვა რაიმე მეთოდით რეპროდუქცია დაუშვებელია ავტორის წერილობითი ნებართვის გარეშე.

ავტორი ირწმუნება, რომ ნაშრომში გამოყენებული საავტორო უფლებებით დაცული მასალებზე მიღებულია შესაბამისი ნებართვა (გარდა ის მცირე ზომის ციტატებისა, რომლებიც მოითხოვენ მხოლოდ სპეციფიურ მიმართებას ლიტერატურის ციტირებაში, როგორც ეს მიღებულია სამეცნიერო ნაშრომების შესრულებისას) და ყველა მათგანზე იღებს პასუხისმგებლობას.

საქართველოს ტექნიკური უნივერსიტეტი

2013 წელი

კუძღვნი ჩემს პარაწინა შვილს ანასტასია ასათიანს

## რეზიუმე

თანამედროვე წარმოების განვითარება და დახვეწა, ტექნოლოგიური დონის ამაღლება, გამოშვებული პროდუქციის ხარისხი პირდაპირ დაკავშირებულია ტექნოლოგიური პროცესის კონტროლის დახვეწასთან და ტექნოლოგიური პროცესების ავტომატური მართვის სისტემებთან.

ავტომატური მართვის სისტემების ერთ-ერთი ფუნქციაა წარმოების პროცესის ტექნოლოგიური პარამეტრების კონტროლი და გამოშვებული პროდუქციის ხარისხის შეფასება. რამდენად ზუსტად, საიმედოდ და სწრაფად ხორციელდება ეს კონტროლი დამოკიდებულია ტექნოლოგიური პროცესის გადამწოდებსა და საზომ საშუალებებზე.

კონდუქტორმეტრია ერთ-ერთი მარტივი, უნივერსალური, დახვეწილი და ამავე დროს კვლევის ზუსტი ელექტროქიმიური მეთოდია ნივთიერების ისეთი ინფორმაციული პარამეტრის კვლევისა და ანალიზის საქმეში, როგორიცაა კუთრი ელექტროგამტარობა. მისი საშუალებით ზომავენ ბინარული ხსნარების კონცენტრაციას, საზღვრავენ თერმოდინამიკურ მუდმივებს, ასევე იმ სიდიდეებს, რომლებიც ახასიათებენ ხსნარების შემადგენლობას, დიფუზიის კოეფიციენტს, იონების აბსორბციას ელექტროდ – ელექტროლიტის საზღვარზე, ელექტროლიტების იონურ შემადგენლობას და ა.შ.

კონდუქტორმეტრები და კონდუქტორმეტრული გადამწოდები ლაბორატორიულ და სამეცნიერო პრაქტიკის გეერდით უფრო და უფრო ფართო გამოყენებას პოულობენ კვების, ფარმაცევტულ, ქიმიურ, მიკრობიოლოგიურ, ენერგეტიკულ, ნავთობგაზისა და მრეწველობის სხვა დარგებში. მათი გამოყენება ძირითადად დაკავშირებულია ხარისხის განსაზღვრასა და კონტროლთან. ტექნოლოგიური პროცესების კინეტიკისა და სტაბილიზაციის კონტროლისათვის გამოიყენება თხევადი ტექნოლოგიური გარემო.

კონდუქტორმეტრული მეთოდის ფართოდ გავრცელება შეიძლება აიხსნას მისი მაღალი სიზუსტით, გაზომვის ფართო დიაპაზონით, აპარატურის სიმარტივით, ტექნოლოგიური ნაკადის უწყვეტი კონტროლის შესაძლებლობითა და სხვა ანალოგიურ ტექნიკასთან შედარებით დაბალი დირექტულებით.

კონდუქტორმეტრული მეთოდის დახვეწა პირდაპირ დაკავშირებულია წარმოების, ტექნიკისა და ტექნოლოგიების განვითარებასთან. ჩნდება სულ უფრო მეტი წარმოებები, სადაც ხსნარებისა და ელექტროლიტების კუთრი ელექტროგამტარობის კონტროლი არა მარტო სასურველი, არამედ აუცილებელიცაა. ახალი ტექნოლოგიების გამოყენება იძლევა მაღალი მგრძნობიარობის ელემენტებისა და უჯრედების ახალი მოდელების შექმნის საშუალებას.

ხსნარებისა და აირის ნაირსახეობის შენადნობების ფიზიკო-ქიმიური თვისებების ანალიზისათვის უნივერსალურ მეთოდს წარმოადგენს უკონტაქტო კონდუქტორმეტრია, რომელიც ხასიათდება სიმარტივითა და საიმედობით.

უკონტაქტო კონდუქტორმეტრის ერთ-ერთ სახეს წარმოადგენენ ტრანსფორმატორული კონდუქტორმეტრები, რომლებიც ფართოდ გამოიყენება ნავთობქიმიურ, ქიმიურ, ფარმაცევტულ, კვებისა და მრეწველობის დარგებში, როგორც ტექნოლოგიური პარამეტრებისა

და გამოშვებული პროდუქციის ხარისხის მაკონტროლირებული ხელსაწყოები.

მოცემული ხელსაწყოების მოთხოვნილებებზე მეტყველებს ის ფაქტი, რომ ყველა მსხვილ ხელსაწყოთა მშენებლობის ორგანიზაციებს თავის ასორტიმენტში გააჩნიათ ტრანსფორმატორული კონდუქტორების მთელი რიგი, რომელთა დახვეწა განვითარება კვლავაც გრძელდება.

კონდუქტორების მეთოდის დახვეწა და განვითარება აქტიურად მიმდინარეობს მთელ რიგ ქვეყნებში და დაკავშირებულია ისეთი ცნობილი მწარმოებლების სახელთან, როგორიცაა „Nappa” (გერმანია), WTW (შვეცია), სამეცნიერო – საწარმოო გაერთიანება „Alfabasensi” და სხვა. საქართველოში ახლო წარსულში ამ დარგში წარმატებით მუშაობდნენ სამეცნიერო-საწარმოო გაერთიანებები „ისარი” და „ანალიზხელსაწყო”, მაგრამ შექმნილი ვითარების გამო ეს საწარმოები ამჟამად ამ საკითხებზე არ მუშაობენ.

კონდუქტორების არსებობის განმავლობაში დაწერილი იქნა მრავლი წიგნი, სტატია და დისერტაცია, მაგრამ მრავალი ამოცანა ჯერ კიდევ აქტუალურია. ესენია: გაზომვის დიაპაზონის გაზრდა, საიმედობის ამაღლება და შემოწმების გარეშე ექსპლუატაციის ხანგრძლივობის გაზრდა, გადამწოდის გაბარიტების შემცირება, ხელსაწყოს მეტოლოგიური პარამეტრების გაუმჯობესება და სხვა.

ნაშრომის პირველ თავში წარმოდგენილია ლიტერატურული წყაროების ანალიზის შედეგები. განხილულია ელექტროგამტარობის გაზომვის ხერხები. მოყვანილია კონტაქტური და უკონტაქტო კონდუქტორების როგორც დადებითი, ასევე უარყოფითი მხარეები. განსაკუთრებული ყურადღება აქვს დათმობილი კონდუქტორების ძირითად ელემენტს - უჯრედსა და მის ტიპებს. განხილულია კონტაქტური კონდუქტორების თრ, სამ და ოთხელექტროდიანი უჯრედები და უკონტაქტო ტევადობითი და ინდუქციური უჯრედები მათი ეკვივალენტური სქემებითა და მათი თავისებურებებით.

ამავე თავში განხილულია ასევე, კონდუქტორებიაში გამოყენებული ძირითადი საზომი სქემები: ბოგური, Z-მეტრული, Q - მეტრული, F - მეტრული, შედარების, კომპენსაციური, პირდაპირი გაზომვის.

ნაშრომის მეორე თავი ეძღვნება უკონტაქტო ტრანსფორმატორული კონდუქტორების გამოკვლევასა და დამუშავებას. შემუშავებულია ტრანსფორმატორული კონდუქტორების არსებული სქემების სტატიკური მახასიათებლები, შექმნილია ტრანსფორმატორული კონდუქტორების ძირითადი მზომი სქემების მათემატიკური მოდელები, რომლებიც გამოიყენებენ გაზომვის პირდაპირ და კომპენსაციურ მეთოდს, ჩატარებულია მათი შედარებითი ანალიზი, რომლის შედეგადაც აღმოჩნდა, რომ ზოგიერთ არსებულ მათემატიკურ მოდელებში არ არის გათვალისწინებული ინდუქციურობის, ურთიერთინდუქციურობის, თხევადი ხვიის ტევადობის და სხვა პარამეტრები, რომელთა გარეშეც შეუძლებელია შესრულდეს სრული პარამეტრული ოპტიმიზაცია. გარდა ამისა, მრავალგრაგნილიანი ტრანსფორმატორული სქემებისათვის არ შეიძლება გამოვიყენოთ მათემატიკური სქემები, რომლებიც ორგრაგნილიანი ტრანსფორმატორებისათვის არის დაწერილი, რადგანაც ამ მოდელზე

გათვლილ ხელსაწყოებს გააჩნიათ მნიშვნელოვანი ცდომილებანი. ყველა, შედარებით გაგრცელებული ტრანსფორმატორული კონდუქტორების სქემებისათვის.

ამავე თავში უხვად არის წარმოდგენილი როგორც ძაბვის, ასევე დენის აქტიური და რეაქტიული მდგრელების ელექტროგამტარობაზე დამოკიდებულების გრაფიკები.

ნაშრომის მესამე თავი ეძღვნება ტრანსფორმატორული კონდუქტორების შედარებითი ანალიზის საკითხებს.

სტატიკური მახასიათებლების მიღებული მათემატიკური მოდელების საფუძველზე, გამოვლენილია კონდუქტორების სტრუქტურების რაოდენობრივი და ხარისხობრივი მაჩვენებლები, ისეთები როგორებიცაა: მგრძნობიარობა, საშუალოკვადრატული ცდომილება.

განსაზღვრულია ტრანსფორმატორული კონდუქტორების მზომი სქემების სტატიკური მახასიათებლების მათემატიკური მოდელების მგრძნობიარობები და ამ სქემების ცდომილებათა მოდელები როგორც ძაბვის, ასევე დენის ინფორმაციულ პარამეტრებად არსებობის დროს ორ, სამ და ოთხგრაგნილიანი ტრანსფორმატორების შემთხვევებში.

ნაშრომის მეოთხე თავში მოყვანილია თხევადხვიიანი კონდუქტორების პირველადი გარდამქმნელის (უჯრედის) ოპტიმალური ელექტრული და მაგნიტური პარამეტრების განსაზღვრის საკითხები.

წრფივი ელექტრული წრედების თეორიის საფუძველზე შედგენილი იქნა თხევადხვიიანი კონდუქტორის მათემატიკური მოდელი, რომლის მიხედვითაც მიღებული იქნა გამოსავალი სიგნალის გამოსახულება.

გამოსავალი სიგნალის მიღებული ანალიზური გამოსახულება გვიჩვენებს, რომ საზომი გარდამქმნელის მგრძნობიარობა წარმოადგენს რვა დამოუკიდებელი პარამეტრის ფუნქციას: მოდებული ძაბვის მოქმედი მნიშვნელობის, კვების წყაროს სიხშირის, შემავალი და გამომავალი ტრანსფორმატორების ხვიათა რიცხვების, შემავალი და გამომავალი ტრანსფორმატორების მაგნიტური გამტარობების, შემავალი ტრანსფორმატორისა და საკვლევი სითხის წინადობის ომური წინაღობებისა.

განსაზღვრულია თითოეულ ამ პარამეტრზე გამოსავალი სიგნალის სიდიდის დამოკიდებულება.

ამავე თავში მოყვანილია თხევადხვიიანი კონდუქტორების მგრძნობიარობის მაგნიტურ მასალაზე დამოკიდებულების გამოკვლევის შედეგები.

კომპიუტერის გამოყენებით ძაბვის მიხედვით ტრანსფორმატორული საზომი ბოგების მაქსიმალური მგრძნობიარობის განსაზღვრისათვის დამუშავებული იქნა ბლოკ-სქემა, რომელიც წარმოდგენილია ამავე თავში. იგი საშუალებას იძლევა დამუშავებული იქნეს პროგრამა კომპიუტერის ნებისმიერ ენაზე.

## *Abstrakt*

Development and improvement of modern manufacture, improvement of technological level as well as the quality of produced goods are directly connected to improvement of technological process control and automatic control system of technological processes.

One of the functions of automatic control system is a control of technological criteria of manufacturing processes and evaluation of produced goods. How accurately, reliably and quickly is this control conducted depends on sensors of technological processes and measuring tools.

Conductometry is one of the easiest, universal, improved and at the same time exact electro chemical method of research in studying and analysis of such informational parameters of substances as specific electrical conductivity. It can measure the concentration of binary solutions, defines a constant thermodynamic as well as that magnitude, which characterizes the composition of the solutions, coefficient of diffusion, adsorption of ions on electrode -electrolyte border, ionic composition of electrolytes and etc.

Conductometers and conductometric sensors side by side to laboratorial scientific research is more and more widely used in supply, pharmaceutical, chemical, microbiological, energetic, petrol, gas and other fields of industry. Their use is mainly connected to definition and control of quality. Liquid technological environment is used for controlling of kinetics and stabilization of technological processes.

Wide spread conductometric method may be explained with its high accuracy, wide range of measurement, simplicity the system, continuous control of technological capability and lower cost compared to other similar technologies.

Improvement of conductometric method is directly connected to development of manufacturing, methods and technology. There are more and more productions, where the control of specific electrical conductivity of

electrolytes and solutions is not only desirable but very necessary. The use of new technologies enables us to create high-sensitivity elements and new models of cell.

Universal method for physical-chemical analysis of solutions and gas variety is contactless conductometry characterized by simplicity and reliability.

One of the kinds of contactless conductometry are transformative conductometers which are widely used in petrochemical, chemical, pharmaceutical, supply and manufacturing fields, as technological parameters and produced goods quality controlling tools.

The fact that all major utilities builder companies have a number of transformative conductometers in their assortment speaks on demand of given equipments.

Development and improvement of conductometric method is actively in progress in number of countries and are connected to such well-known manufacturers name as Nappa (Germany), WTW (Sweden), scientific-production association “Alphabases” and others. In Georgia scientific-manufacturing associations “Isari” and “Analizkhelsatsko” successfully worked in this field in recent years, but these companies are currently working on this issue because of the existing situation.

Many books, articles and theses have been written during the existence of conductometry but there are a lot of actual questions. These are: increase the measurement range, improvement of reliability and increase of the duration of the operation without inspection, decrease of dimensions of sensors, improvement of metrological parameters and etc.

The first chapter of the thesis deals with the results of analysis of literary sources. There are reviewed methods of measurement of contactless conductometers there. The thesis gives both positive and negative sides of contactless and contact conductometers. Special attention is focused on major elements of conductometers – cell and its types. There are discussed contact

conductometric two-three and four-electrode cells and contactless and inductive cells with equivalent schemes and peculiarities.

The same chapter deals with major measuring schemes used in conductometry: Z-metric, Q-metric, F-metric, comparative, compensative, direct measurement.

The second chapter of the thesis deals with research and processing of contactless transformative conductometers. There are designed static features of existing schemes of transformative conductometers, mathematical models of major measuring schemes of transformative conductometers using direct and compensative methods of measurement. There is conducted their comparative analysis there, which have found that some existing mathematical models do not include inductive, mutual inductive, liquid roll capacity and other parameters, without which it is impossible to fulfill complete parametric optimization. In addition, we cannot use mathematical schemes designed for double roll for multiroll transformative schemes, because tolls designed for this model have significant errors. All, for relatively common transformative conductometer schemes.

The same chapter presents schedules of both, voltage and active and reactive components of the electricity depending on electrical conductivity.

The third chapter of the thesis is dedicated to the issues of comparative analysis of transformative conductometers.

Based on mathematical models of static features there is found out quantitative and qualitative indicators of conductometric structures, such as: sensitivity, average square errors.

There is determined sensitivity of mathematical models of static features of transformative conductometers measuring schemes and models of errors of those schemes, at time of voltage and informational parameters of electricity, in case of two, three and four-roll transformers.

The fourth chapter of the thesis presents the issues of determining optimal electric and magnetic parameters of primary transformers (cells) of liquid roll conductometers.

Based on the theory of linear electric circuits there has been designed a mathematical model of liquid roll conductometer, according to which we have received the image of the output signal.

The analytical image of the output signal shows that sensitivity of measuring transformer represents the function of eight independent parameters of the value of the spread voltage, power supply frequency, and number of rolls of input and output transformers, magnetic conductivity of input and output transformers, impedance of input transformers and investigated liquid resistance.

There is defined the dependence of size of the output signal for each such parameter.

The same chapter provides the results of the research of the dependence of sensitivity of liquid roll conductometer on magnetic material.

There has been processed the block-scheme for determining maximal sensitivity of transformative measuring tools according to the voltage by using the computer which is presented in the same chapter. It enables us to process the program by any computer language.

## შინაარსი

სატიტულო გვერდი.....	<i>I</i>
ხელმოწერების გვერდი.....	<i>II</i>
საავტორო უფლების გვერდი.....	<i>III</i>
რეზიუმე (ორ ენაზე).....	<i>IV</i>
შინაარსი.....	<i>VII</i>
ცხრილების ნუსხა.....	<i>XI</i>
ნახაზების ნუსხა.....	<i>XV</i>
შესავალი.....	<i>20</i>
ლიტერატურის მიმოხილვა.....	<i>22</i>
თავი 1. ამოცანის დასმა.....	<i>23</i>
1.1. ელექტროგამტარობის გაზომვის ხერხები.....	<i>23</i>
1.2. კონდუქტორეტრული გადამწოდების სახესხვაობები.....	<i>25</i>
1.3. კონტაქტური კონდუქტორეტრული გადამწოდები.....	<i>27</i>
1.3.1. კონტაქტური გადამწოდების თავისებურებები.....	<i>35</i>
1.3.2. კონტაქტური გადამწოდების გამოყენების არეები.....	<i>37</i>
1.4. ტევადური კონდუქტორეტრული გადამწოდები.....	<i>38</i>
1.4.1. ტევადობითი გადამწოდების თავისებურებანი.....	<i>41</i>
1.4.2. ტევადობითი გადამწოდების გამოყენების დარგები.....	<i>44</i>
1.5. ინდუქციური კონდუქტორეტრული გადამწოდები.....	<i>45</i>
1.5.1. ინდუქციური გადამწოდის თავისებურებანი.....	<i>49</i>
1.5.2. ინდუქციური გადამწოდების გამოყენების დარგები.....	<i>50</i>
1.6. კონდუქტორეტრიაში გამოყენებული ძირითადი საზომი სქემების მიმოხილვა.....	<i>51</i>
1.6.1. ბოგური სქემებით გაზომვის მეთოდი.....	<i>51</i>
1.6.2. შედარების მეთოდის გამოყენების სქემები.....	<i>53</i>
1.6.3. სქემები გაზომვის კომპენსაციური ხერხის გამოყენებით.....	<i>54</i>
1.6.4. სქემები უშუალო შეფასების მეთოდის გამოყენებით.....	<i>55</i>
1.6.5. გაზომვის Z, Q, F მეტრული მეთოდები.....	<i>57</i>
შედეგები და განსჯა	
თავი 2. უკონტაქტო ტრანსფორმატორული კონდუქტორეტრების გამოკვლევა და დამუშავება.....	<i>58</i>
2.1. ტრანსფორმატორული კონდუქტორეტრების საზომი სქემების სტატისტიკური ანალიზი.....	<i>59</i>
2.2. ტრანსფორმატორული კონდუქტორეტრების ბაზისური სქემების სტატიკური მახასიათებლების აგება.....	<i>64</i>
2.3. ტრანსფორმატორული კონდუქტორეტრების ბაზისური სქემების სტატიკური მახასიათებლების მათემატიკური მოდელების გამოთვლა.....	<i>74</i>
2.4. ტრანსფორმატორული საზომი ბოგას ექვივალუენტური სქემა მჭიდრო ინდუქციური კავშირით.....	<i>83</i>

თავი 3. ტრანსფორმატორული კონდუქტორების სქემების შედარებითი ანალიზი.....	89
3.1. ტრანსფორმატორული კონდუქტორების მზომი სქემების სტატიკური მახასიათებლების მათემატიკური მოდელების მგრძნობიარობის განსაზღვრა.....	89
3.2. . ტრანსფორმატორული კონდუქტორების საბაზო სქემების ცდომილებების მოდელები.....	96
3.3. . ტრანსფორმატორული კონდუქტორების პერსპექტიული სქემების შედარებითი ანალიზი, სტრუქტურული და პარამეტრული ოპტიმიზაცია.....	101
თავი 4. თხევადხვითი კონდუქტორების პირველადი გარდამქმნელის (უჯრედის) ოპტიმალური ელექტრული და მაგნიტური პარამეტრების განსაზღვრა.....	106
4.1. ზოგადი ცნობები.....	106
4.2. თხევადხვითი კონდუქტორების მათემატიკური მოდელის დამუშავება ოპტიმალური პარამეტრების განსაზღვრის მიზნით... ..	111
4.3 თხევადხვითი კონდუქტორების მგრძნობიარობის მაგნიტურ მასალაზე დამოკიდებულების გამოკვლევა.....	115
4.4. თხევადხვითი კონდუქტორების შემავალი ტრანსფორმატორის გულარას ოპტიმალური ფარდობითი მაგნიტური შეღწევადობისა და მასალის განსაზღვრა.....	118
4.5. ძაბვის მიხედვით ტრანსფორმატორული საზომი ბოგების მაქსიმალური მგრძნობიარობის განსაზღვრის მიზნით კომპიუტერული პროგრამის ბლოკ-სქემის დამუშავება.....	120
დასკვნები.....	128
გამოყენებული ლიტერატურა.....	131

## **ცხრილების ნუსხა**

- |            |   |
|------------|---|
| ცხრილი 1.1 | გვ. 32. პოლარიზაციული წინაღობები ელექტროდების სხვადასხვა მასალისათვის.                    |
| ცხრილი 1.2 | გვ. 33. პოლარიზაციული იმპედანსის დამოკიდებულება ელექტროდის ზედაპირის მდგომარეობაზე.       |
| ცხრილი 1.3 | გვ. 34. დამოკიდებულება პოლარიზაციულ წინაღობასა და პლატინირების ხარისხს შორის.             |
| ცხრილი 3.1 | გვ. 102. საშუალოკვადრატული ცდომილების მნიშვნელოვანი გაზომვის კომპენსაციური სქემებისათვის. |

## ნახაზების ნუსხა

- ნახ.1.1 26 გვ. კონდუქტორმეტრული უჯრედები და მათი ექვივალენტური სქემები.
- ნახ.1.2 27გვ. კონდუქტორმეტრული უჯრედების სახეები: ა-ჩაძირული, ბ-გამდინარებაძირული, გ-გამდინარე.
- ნახ.1.3 29 გვ. კონტაქტური კონდუქტორმეტრული უჯრედის სქემები: ა)ორელექტროდიანი,ბ)სამელექტროდიანი, გ)ოთხელექტროდიანი
- ნახ.1.4 30გვ. კონტაქტური კონდუქტორმეტრული უჯრედების ჩანაცვლების ექვივალენტური ელექტრული სქემები.
- ნახ.1.5 35გვ. კლ-ც-1 ტიპის კონდუქტორი.
- ნახ.1.6 36გვ. კლ-ც-1 ტიპის კონდუქტორმეტრის უჯრედების კომპლექტი: ა- A ტიპის, ბ- B ტიპის, გ- C ტიპის, დ-Дტიპის.
- ნახ.1.7 38გვ. კონდუქტორმეტრული გადამწოდის ერთ-ერთი სახე.
- ნახ.1.8 39გვ. ტევადური კონდუქტორმეტრული უჯრედების ჩანაცვლების ექვივალენტური ელ.სქემები
- ნახ.1.9 45გვ. ინდუქციური გადამწოდის ერთ-ერთი სახე
- ნახ.1.10 46გვ. ინდუქციური კონდუქტორმეტრული უჯრედების ჩანაცვლების ექვივალენტური ელ.სქემები
- ნახ.2.1 59 გვ. კონდუქტორის სტრუქტურული სქემა
- ნახ.2.2 60გვ. კვაზისტატიკური კონდუქტორმეტრული გაზომვის პრინციპიალური სქემა.
- ნახ.2.3 67 გვ. ტრანსფორმატორული კონდუქტორმეტრების სქემები
- ნახ.2.4 76გვ.ძაბვის აქტიური მდგენელის კუთრ ელექტროგამტარობაზე დამოკიდებულების გრაფიკები ერთი ტრანსფორმატორის შემთხვევაში.
- ნახ.2.5 78გვ. კუთრ ელექტროგამტარობასთან დამოკიდებულების გრაფიკი
- ნახ.2.6 78გვ. დენის რეაქტიული მდგენელის კუთრ ელექტროგამტარობასთან დამოკიდებულების გრაფიკი სხვადასხვა დიაპაზონში.
- ნახ.2.7 80გვ. ორტრანსფორმატორიანი კონდუქტორმეტრებისთვის ა-დენის რეაქტიული მდგენელისა და ბ-ძაბვის აქტიური მდგენელის კუთრ ელექტროგამტარობაზე დამოკიდებულების გრაფიკი 0,1-100სიმ/მ დიაპაზონში.
- ნახ.2.8 80გვ. ა- ორტრანსფორმატორიანი კონდუქტორმეტრებისთვის ძაბვის რეაქტიული მდგენელისა და ბ- მრავალგრაგნილიანი კონდუქტორმეტრებისთვის დენის აქტიური და რეაქტიული მდგენელების კუთრ ელექტროგამტარობაზე დამოკიდებულების გრაფიკი 0,1-100სიმ/მ დიაპაზონში.
- ნახ.2.9 83გვ. მრავალგრაგნილიანი კონდუქტორმეტრებისთვის ა-ძაბვისა

- და ბ-დენის აქტიური და რეაქტიული მდგენელების კუთრ ელექტროგამტარობაზე დამოკიდებულების გრაფიკები 0,1-100სიმ/მ დიაპაზონში.
- ნახ.2.10 84გვ. ა-საერთო კვანძის მქონე ინდუქციურად დაკავშირებული ელემენტები, ბ-მათი ექვივალენტური სქემა.
- ნახ.2.11 86 გვ. ა) სამგრაგნილიანი საზომი ტრანსფორმატორის სქემა, ბ) ნაკადების მიმართულება.
- ნახ.3.1 90გვ. ერთტრანსფორმატორიანი კონდუქტორმეტრისთვის ა-ძაბვის აქტიური და ბ-ძაბვის რეაქტიული მდგენელების მგრძნობიარობის გაზომვის დიაპაზონზე დამოკიდებულების გრაფიკი 0,1-10სიმ/მ დიაპაზონში.
- ნახ.3.2 91გვ. ერთტრანსფორმატორიანი კონდუქტორმეტრისთვის: ა-დენის აქტიური და ბ-დენის რეაქტიული მდგენელების მგრძნობიარობის გაზომვის დიაპაზონზე დამოკიდებულების გრაფიკი 0,1-10სიმ/მ დიაპაზონში.
- ნახ.3.3 92გვ. ორტრანსფორმატორიანი კონდუქტორმეტრისთვის: ა-დენის აქტიური და ბ- დენის რეაქტიული მდგენელების მგრძნობიარობის გაზომვის დიაპაზონზე დამოკიდებულების გრაფიკი 0,1-10სიმ/მ დიაპაზონში.
- ნახ.3.4 93გვ. ორტრანსფორმატორიანი კონდუქტორმეტრისთვის: ა-ძაბვის აქტიური და ბ- ძაბვის რეაქტიული მდგენელების მგრძნობიარობის გაზომვის დიაპაზონზე დამოკიდებულების გრაფიკი 0,1-100სიმ/მ დიაპაზონში.
- ნახ.3.5 94გვ. ორტრანსფორმატორიანი ოთხგრაგნილიანი კონდუქტორმეტრისთვის: ა-დენის აქტიური და ბ- ძაბვის აქტიური და რეაქტიული მდგენელების მგრძნობიარობის გაზომვის დიაპაზონზე დამოკიდებულების გრაფიკი 0,1-100სიმ/მ დიაპაზონში.
- ნახ.3.6 95გვ. ორტრანსფორმატორიანი სამგრაგნილიანი კონდუქტორმეტრისთვის: ა-დენისა და ბ-ძაბვის აქტიური და რეაქტიული მდგენელების მგრძნობიარობის გაზომვის დიაპაზონზე დამოკიდებულების გრაფიკი 0,1-100სიმ/მ დიაპაზონში.
- ნახ.3.7 99გვ. კონდუქტორმეტრის საშუალო კვადრატული ცდომილების დამოკიდებულების გრაფიკი: ა-ორტრანსფორმატორიანი კონდუქტორმეტრის კუთრი ელგამტარობისა და დენის რეაქტიულ მდგენელზე, ბ-მრავალგრაგნილიანი კონდუქტორმეტრის კუთრი ელგამტარობისა ძაბვის აქტიურ და რეაქტიულ მდგენელზე.
- ნახ.3.8 105გვ. ტრანსფორმატორული კონდუქტორმეტრების ოპტიმალური პროექტირების ალგორითმის ბლოკ-სქემა.
- ნახ. 4.1 107გვ. სქემის გამოსავალი სიგნალის მკვებავი დენის სიხშირეზე დამოკიდებულების გრაფიკი: 1-ერთტრანსფორმატორიანი და 2-ორტრანსფორმატორიანი სქემებისთვის.
- ნახ.4.2 109გვ. გამოსავალი ძაბვის სიხშირეზე დამოკიდებულების გრაფიკი ხვიათა სხვადასხვა რიცხვისათვის: ა-ერთტრანსფორმატორიანი სქემისათვის და ბ-ორტრანსფორმატორიანი სქემის პირველ ტრანსფორმატორზე,

- 1-67 ხვია, 2-40 ხვია, 3-20 ხვია.
- ნახ.4.3 110გვ. გამოსავალი ძაბვის სიხშირეზე დამოკიდებულების გრაფიკი ხვიათა სხვადასხვა რიცხვისათვის: ორგრანსფორმატორიანი სქემის მეორე ტრანსფორმატორზე, 1-67 ხვია, 2-40 ხვია, 3-20 ხვია.
- ნახ.4.4 110გვ. ა-გაზომვის ორგრანსფორმატორიანი და ბ- ერთგრანსფორმატორიანი სქემის სტატიკური მახასიათებლები: 1- ექსპერიმენტული; 2- მათემატიკური მოდელით.
- ნახ.4.5 112გვ. თხევადხვიანი კონდუქტორმეტრის ჩანაცვლების სქემა.
- ნახ.4.6 116გვ. ე.მ.დ. მაგნიტურ შეღწევადობაზე დამოკიდებულების გრაფიკები.
- ნახ.4.7 116გვ. ე.მ.დ. მაგნიტურ შეღწევადობაზე დამოკიდებულების გრაფიკები.
- ნახ.4.8 116გვ. ე.მ.დ. მაგნიტურ შეღწევადობაზე დამოკიდებულების გრაფიკები.
- ნახ.4.9 121გვ. ა-ტრანსფორმატორული ბოგა, ბ-წრედში მოქმედი ერთი ტექსტორ.დ.
- ნახ.4.10 125გვ. მგრძნობიარობის დამოკიდებულების საზომი ბოგირების ელექტრულ და გეომეტრიულ პარამეტრებზე ბლოკ-სქემა.
- ნახ.4.11 126გვ. მგრძნობიარობის დამოკიდებულება: ა-მაგნიტოგამტარის მაგნიტურ შეღწევადობაზე, ბ-ბოგას მხრების გრაგნილების ხვიათა რიცხვზე.
- ნახ.4.12 126გვ. მგრძნობიარობის დამოკიდებულება: ა-მაგნიტოგამტარის საშუალო სიგრძისა და განივევეთის ფართობის ფარდობაზე, ბ-გრაგნილების ომურ წინადობაზე.
- ნახ.4.13 127 გვ. მგრძნობიარობის დამოკიდებულება სიხშირეზე.

## შესავალი

სამუშაოს აქტუალურობა. თანამედროვე წარმოების განვითარება და დახვეწა, ტექნოლოგიური დონის ამაღლება, გამოშვებული პროდუქციის ხარისხი პირდაპირ დაკავშირებულია ტექნოლოგიური პროცესის კონტროლის დახვეწასთან და ტექნოლოგიური პროცესების ავტომატური მართვის სისტემებთან.

ავტომატური მართვის სისტემების ერთერთი ფუნქციაა წარმოების პროცესის ტექნოლოგიური პარამეტრების კონტროლი და გამოშვებული პროდუქციის სარისხის შეფასება. რამდენად ზუსტად, საიმედოდ და სწრაფად ხორციელდება ეს კონტროლი დამოკიდებულია ტექნოლოგიური პროცესის გადამწოდებსა და საზომ საშუალებებზე.

კონდუქტორმეტრია ერთ-ერთი მარტივი, უნივერსალური, დახვეწილი და ამავე დროს კვლევის ზუსტი ელექტროქიმიური მეთოდია ნივთიერების ისეთი ინფორმაციული პარამეტრის კვლევისა და ანალიზის საქმეში, როგორიცაა კუთრი ელექტროგამტარობა. მისი საშუალებით ზომავენ ბინარული ხსნარების კონცენტრაციას, საზღვრავენ თერმოდინამიკურ მუდმივებს, ასევე იმ სიდიდეებს, რომლებიც ახასიათებენ ხსნარების შემადგენლობას, დიფუზიის კოეფიციენტს, იონების ადსორბციას ელექტროდ-ელექტროლიტის საზღვარზე, ელექტროლიტების იონურ შემადგენლობას და ა.შ.

კონდუქტორმეტრები და კონდუქტორმეტრული გადამწოდები ლაბორატორიულ და სამეცნიერო პრაქტიკის გვერდით უფრო და უფრო ფართო გამოყენებას პოულობენ კვების, ფარმაცევტულ, ქიმიურ, მიკრობიოლოგიურ, ენერგეტიკულ, ნავთობგაზისა და მრეწველობის სხვა დარგებში. მათი გამოყენება ძირითადად დაკავშირებულია ხარისხის განსაზღვრასა და კონტროლთან. ტექნოლოგიური პროცესების კინეტიკისა და სტაბილიზაციის კონტროლისათვის გამოიყენება თხევადი ტექნოლოგიური გარემო.

კონდუქტორმეტრული მეთოდის ფართოდ გავრცელება შეიძლება აიხსნას მისი მაღალი სიზუსტით, გაზომვის ფართო დიაპაზონით, აპარატურის სიმარტივით, ტექნოლოგიური ნაკადის უწყვეტი

კონტროლის შესაძლებლობითა და სხვა ანალოგიურ ტექნიკასთან შედარებით დაბალი ღირებულებით.

კონდუქტორმეტრული მეთოდის დახვეწა პირდაპირ დაკავშირებულია წარმოების, ტექნიკისა და ტექნოლოგიების განვითარებასთან. ჩნდება სულ უფრო მეტი წარმოებები, სადაც სსნარებისა და ელექტროლიტების კუთრი ელექტროგამტარობის კონტროლი არა მარტო სასურველი, არამედ აუცილებელიცაა. ახალი ტექნოლოგიების გამოყენება იძლევა მაღალი მგრძნობიარობის ელემენტებისა და უჯრედების ახალი მოდელების შექმნის საშუალებას.

წარმოების განვითარება ხელსაწყოთა დამამუშავებლების წინაშე აყენებს მკაცრ მოთხოვნებს სტაბილურობის, მგრძნობიარობის, სიზუსტის, საიმედობისა და სხვათა მიმართ.

სსნარებისა და აირის ნაირსახეობის შენადნობების ფიზიკური თვისებების ანალიზისათვის უნივერსალურ მეთოდს წარმოადგენს უკონტაქტო კონდუქტორმეტრია, რომელიც სასიათდება სიმარტივითა და საიმედობით.

უკონტაქტო კონდუქტორმეტრის ერთ-ერთ სახეს წარმოადგენენ ტრანსფორმატორული კონდუქტორმეტრები, რომლებიც ფართოდ გამოიყენება ნავთობქიმიურ, ქიმიურ, ფარმაცევტულ, კვებისა და მრეწველობის დარგებში, როგორც ტექნოლოგიური პარამეტრებისა და გამოშვებული პროდუქციის ხარისხის მაკონტროლირებელი ხელსაწყოები.

მოცემული ხელსაწყოების მოთხოვნილებებზე მეტყველებს ის ფაქტი, რომ ყველა მსხვილ ხელსაწყოთა მშენებლობის ორგანიზაციებს თავის ასორტიმენტში გააჩნიათ ტრანსფორმატორული კონდუქტორმეტრების მთელი რიგი, რომელთა დახვეწა-განვითარება კვლავაც გრძელდება. ეს განისაზღვრება იმით, რომ მსგავს ხელსაწყოებს არ გააჩნიათ კონტაქტი საკვლევ სსნართან, ამიტომაც ისინი შეიძლება იყვნენ დამონტაჟებულნი სხვადასხვა ტექნოლოგიურ დანადგარებში და მიღებამტარებში და შეუძლიათ გაზომონ როგორც ნეიტრალური, ასევე აგრესიული გარემო.

**სამუშაოს მიზანი:** ელექტრული წრედების თეორიის საფუძველზე ორმაგი ტრანსფორმატორული საზომი ბოგირის თპტიმალური პარამეტრების დადგენის მიზნით მათემატიკური მოდელის დამუშავება და მის საფუძველზე მგრძნობიარობის ამაღლების შესაძლებლობის გამოკვლევა.

**ძირითადი ამოცანები:** დასახული მიზნის შესაბამისად ფორმულირებული იქნა შემდეგი ამოცანები:

1. ჩატარდეს კონდუქტორმეტრული ანალიზის არსებული მეთოდების მიმოხილვა;
2. გაანალიზებული იქნეს კონდუქტორმეტრების გამოყენება მრეწველობისა და წარმოების სხვადასხვა დარგებში, ასევე ბუნებრივი გარემოს, ნივთიერებების, ნაკეთობის კონტროლისათვის;
3. განხილულ იქნეს შედარებით მეტად გავრცელებული კონდუქტორმეტრული პირველადი საზომი გარდამსახები;
4. დამუშავებულ იქნას კონდუქტორმეტრის პირველადი საზომი გარდამქმნელის მათემატიკური მოდელი;
5. დამუშავებული მათემატიკური მოდელის საფუძველზე განისაზღვროს კონდუქტორმეტრული უჯრედის მაქსიმალური მგრძნობიარობის შესაბამისი თპტიმალური კონსტრუქციული და ელექტრომაგნიტური პარამეტრები.

**კვლევის მეთოდები.** სადისერტაციო სამუშაოს შესრულებისას გამოყენებული იქნა თეორიული და ემპირიული შემეცნებითი მეთოდები. თეორიულ დონეზე ეს მეთოდებია ელექტრული წრედებისა და გაზომვების თეორია. ემპირიულ დონეზე გამოყენებული იქნა ფიზიკური და მათემატიკური მოდელირების მეთოდები.

## **სამეცნიერო სიახლე:**

1. ელექტრული წრედების თეორიის საფუძველზე დამუშავებული იქნა თხევადხვითანი კონდუქტორებრული საზომი გარდამქმნელის მათემატიკური მოდელი;
2. დამუშავებული მათემატიკური მოდელის საფუძველზე დადგენილი იქნა თანაფარდობანი გამოსასვლელ სიგნალს (ძაბვას), გასაზომ გამტარობასა და კონდუქტორებრის გადამწოდის ელექტრულ და მაგნიტურ პარამეტრებს შორის;
3. დადგენილია მაღალი მგრძნობიარობის კონდუქტორებრის დამზადებისათვის მაგნიტური პარამეტრების შერჩევის კრიტერიუმები;

**პრაქტიკული დირექტულება:** სადისერტაცო სამუშაოში მიღებული შედეგები შეიძლება გამოყენებული იქნეს სამეცნიერო-კვლევითი სამუშაოების შესრულებისა და პროდუქციის ხარისხის, ელექტროლიტის ხსნარების კონცენტრაციის განსაზღვრისა და წყალსატევების გაჭუჭყიანების კონტროლისათვის კონდუქტორებრული საზომი გარდამქმნელების დამუშავების დროს

**პუბლიკაციები.** სადისერტაციო სამუშაოების შედეგები გამოქვეყნებული იქნა ოთხ სამეცნიერო სტატიაში:

სადისერტაციო სამუშაოს ძირითადი შედეგები მოხსენებული იქნა სტუ-ს სტუდენტთა დია 80-ე (2012 წ) საერთაშორისო სამეცნიერო კონფერენციაზე

**დისერტაციის სტრუქტურა და მოცულობა.** დისერტაცია შედგება შესავალისა და 4 თავისაგან, რომლებიც გადმოცემულია 134 გვერდზე. შეიცავს 42 ნახატს, 4 ცხრილს და 41 დასახელების ლიტერატურას.

## ლიტერატურული მიმოხილვა

თანამედროვე წარმოებაში პროდუქციის ხარისხი, უწყვეტლივ დაკავშირებულია კონტროლის მეთოდების განვითარებასა და დახვეწასთან. ერთ-ერთ ასეთ მეთოდს მიეკუთვნება კონტროლის კონდუქტორების მეთოდი, რომელიც ამჟამად აქტიურად ვითარდება და გამოიყენება ქიმიურ, კვების, ფარმაცევტულ, გაზის, ნავთობისა და წარმოების სხვადასხვა დარგში [1,2,3,4,5].

XXI საუკუნის დასაწყისში ნათელი გახდა, რომ ელექტროქიმიური ანალიზი გამოვიდა თავისი კლასიკური შინაარსის ფარგლებიდან. თუკი ადრე ელექტროქიმიური ანალიზის მეთოდოლოგია უმეტესწილად ვითარდებოდა არაორგანული ბუნების მქონე ობიექტების საფუძველზე. ამჟამად ელექტროქიმიური ანალიზი მკვეთრად იხრება ეკოლოგიის პრობლემის გადაწყვეტის მხარეს, ასევე ფართოდ გამოიყენება სამედიცინო და ბიოლოგიური ობიექტების ანალიზისათვის, რომელშიც ორგანული ნივთიერება სულ უფრო ხშირად გვხვდება. კონდუქტორების მეთოდები იყოფა ორ დიდ ჯგუფად: ამპლიტუდური, ამპლიტუდურ-ფაზური და სიხშირული [1,2,3,6,7,8] პირველ ჯგუფში, ამპლიტუდა ან ამპლიტუდა და ფაზა გადიან სიგნალის კონდუქტორებულ უჯრედში და ფუნქციონალურად არიან დაკავშირებულნი ელექტროლიტის ელექტროგამტარობასთან. მეორე ჯგუფში – ელექტროგამტარებლობა განსაზღვრავს ცვლადი დენის სიხშირეს.

გადამწოდის სამზომ წრედთან კონტაქტის გალვანური კონტაქტის მიხედვით კონდუქტორები იყოფა კონტაქტურ და არაკონტაქტურ კონდუქტმეტებად [4,9,10,11].

მკვებავი ძაბვის ტიპის მიხედვით კონდუქტორების მეთოდები იყოფიან მუდმივი და ცვლადი დენების მეთოდებად, ხოლო ეს უპანასკნელნი კი იყოფიან: დაბალ და მაღალსიხშირულ მეთოდებად, რომელთა პირობითი ზღვარი გადის 40-50 კჰც ფარგლებში.

## თავი I

### 1.1 ელექტროგამტარობის გაზომვის ხერხები

კონდუქტორების მეოთხები იყოფა ორ დიდ ჯგუფად: ამპლიტუდური, ამპლიტუდურ-ფაზური და სიხშირული [1,2,3,6,7,8]. პირველ ჯგუფში, ამპლიტუდა ან ამპლიტუდა და ფაზა გადიან სიგნალის კონდუქტორების უჯრედში და ფუნქციონალურად არიან დაკავშირებულნი ელექტროლიტის ელექტროგამტარობასთან. მეორე ჯგუფში – ელექტროგამტარებლობა განსაზღვრავს ცვლადი დენის სიხშირეს.

გადამწოდის სამზომ წრედთან კონტაქტის გალვანური კონტაქტის მიხედვით კონდუქტორები იყოფა კონტაქტურ და არაკონტაქტურ კონდუქტმეტრებად [4,9,10,11].

მკვებავი ძაბვის ტიპის მიხედვით კონდუქტორების მეოთხები იყოფიან მუდმივი და ცვლადი დენების მეოთხებად, ხოლო ეს უკანასკნელნი კი იყოფიან: დაბალ და მაღალსიხშირულ მეოთხებად, რომელთა პირობითი ზღვარი გადის 40-50 კჰც ფარგლებში.

კონდუქტორების განვითარება დაკავშირებულია კონტაქტურ მეოთხებთან. ეს მეოთხი ხასიათდება საკვლევი ხსნარის პირველად საზომ გარდამქმნელთან პირდაპირი გალვანური კონტაქტის არსებობით და მათი მეშვეობით კი მზომ წრედთან.

კონტაქტური მეოთხები ხასიათდებიან მთელი რიგი დირსებებით, კერძოდ:

- ისინი საშუალებას იძლევიან ვაწარმოოთ ხსნარების კუთრი ელექტროგამტარობის ზუსტი გამოთვლები;
- გააჩნიათ გაზომვების ფართო დიაპაზონი;
- ისინი კარგად არიან შესწავლილი და აღწერილია მრავალ ლიტერატურულ წყაროში;
- მათი აპარატურა საკმაოდ მარტივია.

მათი ძირითადი ხარვეზებია:

- ელექტროდ-ელექტროლიტის ფაზათაშორის საზღვარზე პოლარიზაციის მოვლენების გამო გააჩნიათ ცდომილებები;

- თხევადი გარემოს გაზომვისას უცხო ნაწილაკების არსებობის გამო ხდება ელექტროდების სწრაფი დაჭუჭყიანება;
- მაღალი სიზუსტის გაზომვებისათვის განკუთვნილ კონდუქტორებზე აუცილებელია ძვირფასი მეტალების გამოყენება.

ამასთანავე ეს მეთოდები თავისი სიზუსტის, თეორიული დასაბუთების, აპარატურის საიმედოობის მოხერხებულობის გამო განსაკუთრებულ ადგილს იჭერენ. კონტაქტური და უკონტაქტო კონტაქტური მეთოდებით გაზომვის შედეგების უტყუარობის შედარებითი შეფასებისას, უპირატესობა ენიჭება პირველს, განსაკუთრებით კი, აბსოლუტური გაზომვების დროს.

უკონტაქტო მეთოდების გაჩენა დაკავშირებულია გაზომვის სიზუსტის გაზრდასთან, ფაზათაშორის საზღვარზე პოლარიზაციული ცდომილებების გამორიცხვის ხარჯზე. გარდა ამისა, არსებობს უკონტაქტო მეთოდების მთელი რიგი უპირატესობებისა კონტაქტურებთან შედარებით [6, 12,14,15]. სახელდობრ:

- ელექტროდებიდან ძვირფასი ლითონების გამოთავისუფლება (ოქრო, პლატინა, ვერცხლი) და იმ პროცედურების გამორიცხვა, რომლებიც დაკავშირებულია ელექტროდების ზედაპირის ძვირფასი ლითონებით აუცილებელი დაფარვისათვის;
- ელექტროდების დაბინძურებასთან და ელექტროდებზე მიმდინარე არასასურველი ქიმიურ და ელექტროქიმიურ პროცესებთან დაკავშირებული ცდომილებების აღმოფხვრა;
- ძლიერი ელექტროლიტების კონცენტრირებული ხსნარების კონტროლის შესაძლებლობა;
- მცირე მოცულობის მქონე ხსნარების ელექტროგამტარებლობის გაზომვის შესაძლებლობა;
- ქიმიურად აქტიური და ტოქსიკური ნივთიერებების ელექტროგამტარებლობის გაზომვის გაზომვა;-
- ამჟულებში მოთავსებული ნივთიერებების ელექტროგამტარობის გაზომვის შესაძლებლობა;
- მაღალ ტემპერატურაზე შენადნობების ელექტროგამტარებლობის განსაზღვრის შესაძლებლობა.

უკონტაქტო კონდუქტომეტრების ხარვეზებია:

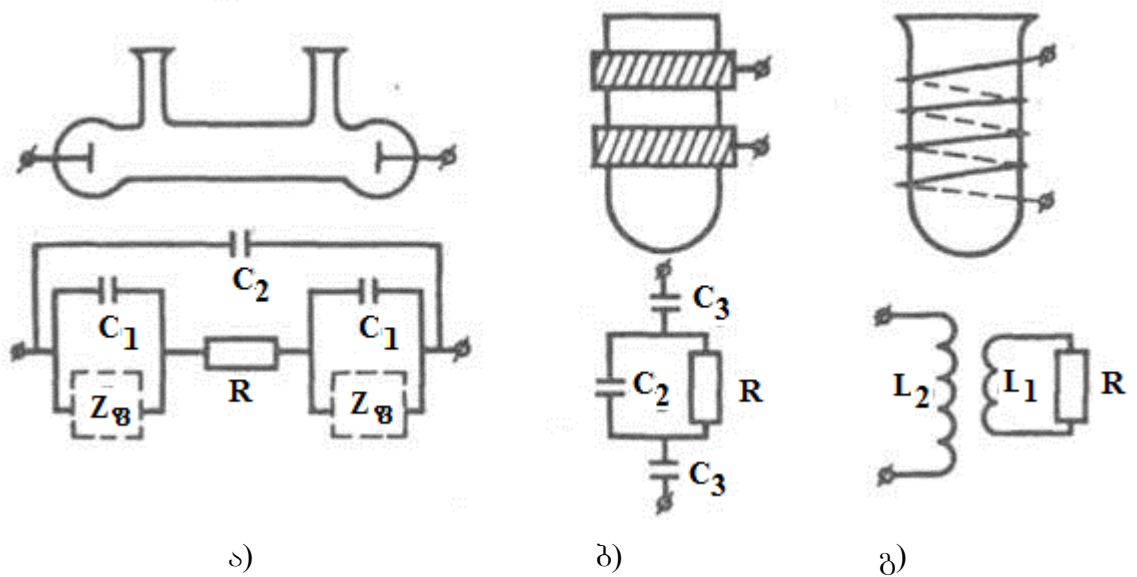
- გათბობისას, გაზომვის შედარებით დიდი ცდომილება ( 1%), რომელიც დაკავშირებულია ნიმუშის მოცულობის ცვლილების მიმართ მაღალ მგრძნობიარობასთან;
- ხელსაწყოს რთული აგებულება და მექანიკური გიბრაციების მიმართ მგრძნობიარობა;
- უკონტაქტო მეთოდის თეორია, განსაკუთრებით ელექტროდ-ელექტრო-ლიტის საზღვარზე ნაკლებადად დამუშავებული, ვიდრე კონტაქტური კონდუქტომეტრის თეორია, ამიტომ ზუსტი გაზომვებისას უპირატესობა ენიჭება კონტაქტურ კონდუქტომეტრიას.

## 1.2 კონდუქტომეტრული გადამწოდების სახესხვაობები

კონდუქტომეტრები შედგება ორი ძირითადი ნაწილისაგან: გადამწოდისაგან, რომელიც საჭიროა კუთრი ელექტროგამტარებლობის გაზომვისათვის და პირველადი საზომი გარდამქმნელის – იმპედანსის საზომი მოწყობილობისაგან. კონდუქტომეტრული ხელსაწყოს ერთ-ერთი ძირითადი ელემენტია უჯრედი. იგი რთული ელემენტია, რომელიც ახდენს მთელი გაზომვის პროცესის სიზუსტის ამაღლების შესაძლებლობის ლიმიტირებას. თანამედროვე ელექტროგამტარებლობის გაზომვის პრაქტიკაში გამოიყენება კონდუქტომეტრული უჯრედის შემდეგი ტიპები:

- კონტაქტური კონდუქტომეტრული უჯრედები;
- უკონტაქტო ტევადობითი უჯრედები;
- უკონტაქტო ინდუქციური უჯრედები;

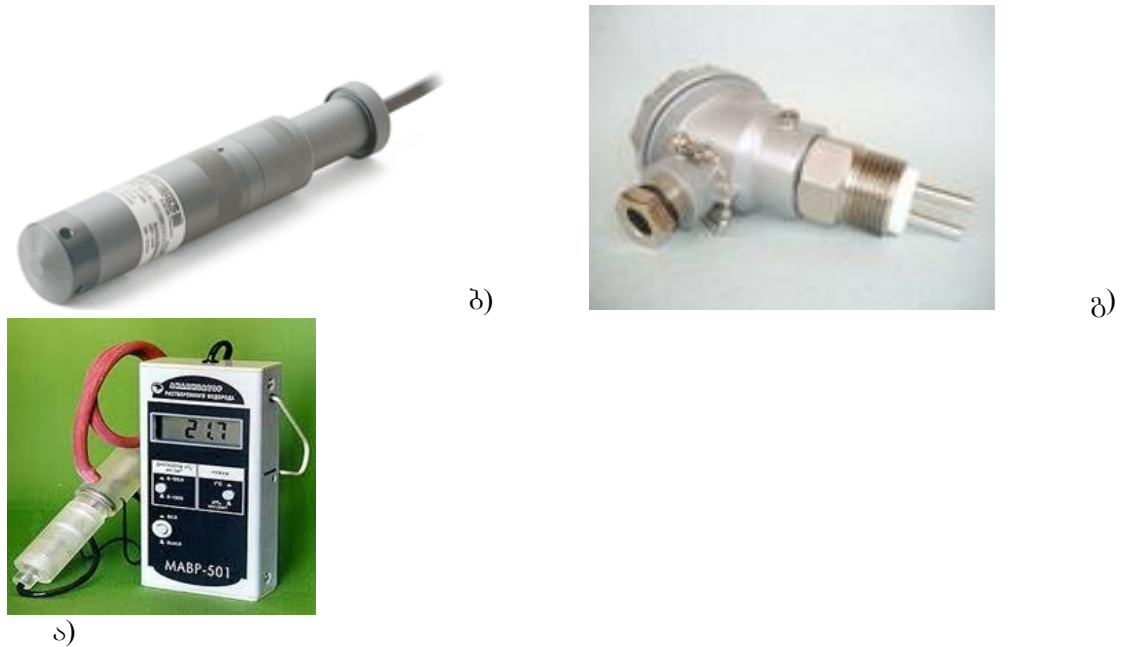
ნახ.1.1. წარმოდგენილია კონდუქტომეტრული უჯრედები და მათი ექვივალენტური სქემები.



**ნახ.1.1.** კონდუქტორული უჯრედები და მათი ექვივალენტური სქემები:

ა- კონტაქტური უჯრედი; ბ- ტევადური უჯრედი; გ- ინდუქციური უჯრედი;  $R$  - ელექტროლიტის წინაღობა;  $C_1$ - ელექტროდ-ელექტროლიტის ფაზათაშორის საზღვარზე ორმაგი ელექტრული ფენის ტევადობა;  $C_2$ - სსნარის ტევადობა;  $C_3$ - სსნარით, უჯრედის პედლითა და გარე ელექტროდით შექმნილი კონდენსატორის ტევადობა;  $Z_B$  - ფარადეის იმპედანსი, რომელიც დაკავშირებულია ელექტროდ-ელექტროლიტის საზღვარზე მიმდინარე ელექტროქიმიურ რეაქციასთან;  $L_1$  და  $L_2$  - შესაბამისად ელექტროლიტისა და კოჭის ინდუქციურობებია.

არსებობს ფიზიკურ-ქიმიურ გამოკვლევებსა და ტექნოლოგიური პროცესების კონტროლისათვის გამოყენებული კონტაქტური და უკონტაქტო გადამწოდების პირველადი საზომი გარდამქმნელების კონსტრუქციების მრავალი სახესხვაობა. ეს განპირობებულია ამოცანების უზარმაზარი სპექტრით, რომელთა ამოსსნა ხდება გარემოს კუთრი ელექტრული გამტარობის დახმარებით, სადაც პირველადი მზომი გარდამქმნელი წარმოადგენს ინფორმაციის წყაროს გასაზომი სიდიდის შესახებ და ამასთან ცდომილებების ძირითად წყაროს. ამიტომ კონდუქტორულის დაპროექტებისას განსაკუთრებული ყურადღება ეთმობა უჯრედის დამუშავებას. ელექტროდებსშორისი სივრცის შევსების მიხედვით განარჩევენ შემდეგი სახის უჯრედებს: ჩაძირული, გამდინარე-ჩაძირული, გამდინარე, რომელთა ზოგადი სახე წარმოდგენილია ნახ.1.2-ზე.



**ნახ. 1.2.** კონდუქტორული უჯრედების სახეები: а- ჩაძირული; б- გამდინარე-ჩაძირული; გ- გამდინარე.

ჩაძირული ტიპის უჯრედი გამოიყენება ლაბორატორიულ პირობებში ჩასატარებელი გაზომვებისათვის, დანარჩენი ორი კი, საწარმოო ამოცანების გადაწყვეტისას.

### 1.3. კონტაქტური კონდუქტორული გადამწოდები

კონტაქტური გადამწოდები (უჯრედები) გამოირჩევიან გაცილებით მეტი სიზუსტით, ვიდრე უკონტაქტო. ისინი გამოიყენებიან მაღალი სიზუსტის გაზომვებისათვის, როგორც ლაბორატორიებში ასევე სამრეწველო პრაქტიკაში, თუმცა თითქმის ყველა კონტაქტური უჯრედებისათვის საერთო ნაკლს წარმოადგენს ფარადეის პროცესები, რომლებსაც ადგილი აქვს ელექტროდ-ელექტროლიტის გამყოფ საზღვარზე საკვლევი სითხის აქტიური წინაღობის გაზომვისას. კონტაქტურ კონდუქტორებიაში ცვლადი დენის გამოყენება არ გვაზღვევს პოლარიზაციის მოვლენისაგან. ცვლადი დენის დროს ჩნდება დამატებითი ცდომილებები, რომლებიც უჯრედის ტევადობითი თვისებების გაჩენასთანაა დაკავშირებული. დასმულ ამოცანასთან და გაზომვის აუცილებელ სიზუსტეებთან

დაკავშირებით თანამედროვე კონდუქტორებული უჯრედები მზადდება ორი, სამი ან ოთხელექტროდიანი.

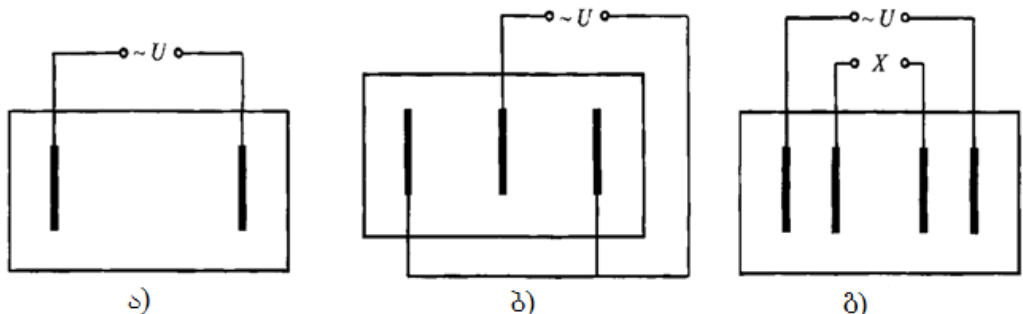
პირველად დამუშავებულ იქნა ორელექტროდიანი უჯრედები (ნახ. 1.3 ა.). მათში ელექტროდებს გააჩნიათ ორმაგი დატვირთვა: ემსახურებიან მოქმედი დენის გატარებას და იცილებენ ძაბვის გარდნას, რომელიც წარმოიქმნება საკვლევ სსნარში. ამ მოვლენას მივყავართ ელექტროდებზე პოლარიზაციული მოვლენების სრული გამორიცხვის შეუძლებლობამდე დაბალი სიხშირეებისას და შესაბამისად გაზომვის სიზუსტის შემცირებასთან.

ნახ.1.3 (ბ,გ) გამოსახულია სამ და ოთხელექტროდიანი პირველადი საზომი გარდამქმნელი, რომლებიც იმისათვის შეიქმნენ, რომ შემცირებულიყო ცდომილებების წყაროების გავლენა. ისინი დაკავშირებულნი არიან ელექტროქიმიურ პროცესებთან ელექტროდელექტროლიტის გამყოფ საზღვარზე. მათი გამოყენება ამცირებს პოლარიზაციული იმპედანსის,  $C_n$  და  $R_n$  მდგრენელების გავლენას გაზომვის შედეგებზე.

ორელექტროდიანი უჯრედისაგან განსხვავებით, ოთხელექტროდიან უჯრედში ელექტროდების ფუნქციები დაყოფილია. ოთხელექტროდიან უჯრედების ნაპირებზე განლაგებულია ორი დენური ელექტროდი, რომლებიც ემსახურებიან ცვლადი დენის მიყვანას უჯრედამდე, ცენტრალური ელექტროდები კი, წარმოადგენენ საზომ ელექტროდებს.

ოთხელექტროდიანი უჯრედით ზუსტი გაზომვისათვის აუცილებელია დავიცვათ შემდეგი პირობები:

- სტაბილური უნდა იყოს უჯრედში გამავალი დენი;
- დენმა არ უნდა გამოიწვიოს მნიშვნელოვანი სითბური ეფექტები;
- ელექტროდებზე მიერთებულმა საზომმა მოწყობილობამ არ უნდა გამოიყენოს დენი, ანუ გაზომვებისას ელექტროდები არ უნდა პოლარიზდებოდეს.



ნახ.13. გონტაქტური გონდუქტომეტრული უჯრედის სქემები: ა- ორელექტროდიანი; ბ- სამელექტროდიანი; გ- ოთხელექტროდიანი.

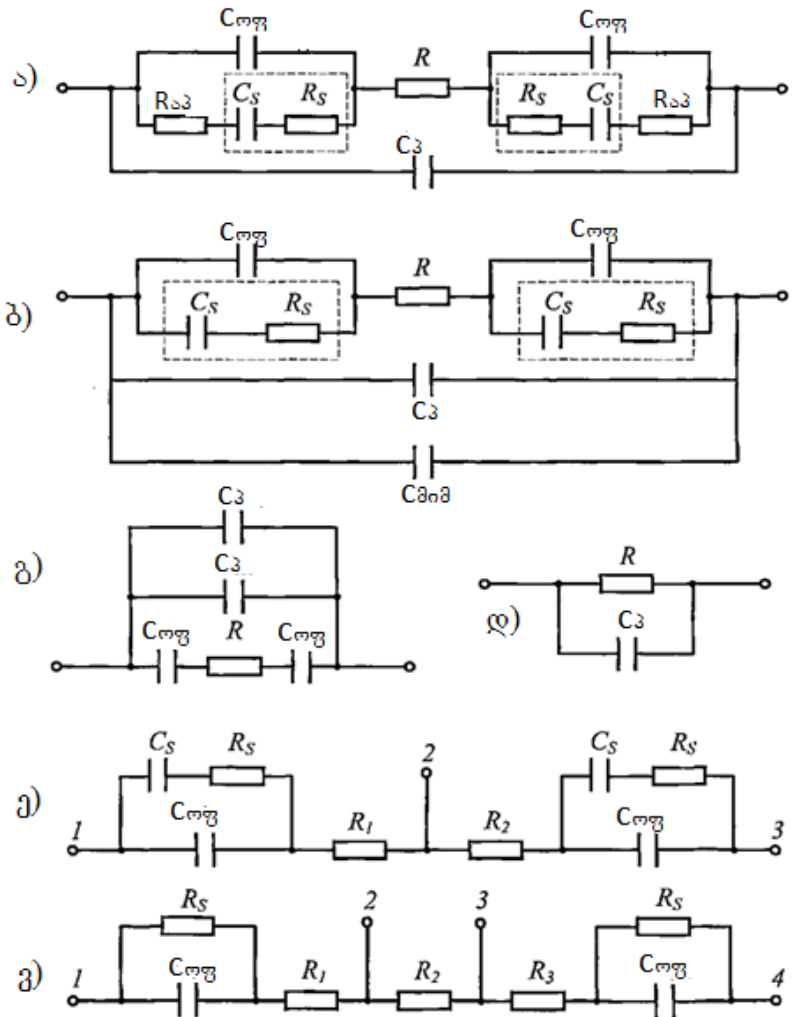
ელექტრული პროცესების განხილვისას, რომლებიც მიმდინარეობენ ელექტროლიტურ უჯრედებში, იყენებენ ჩანაცვლების ეკვივალენტურ ელექტრულ სქემას. ამ სქემის მრავალნაირი ვარიანტია შემოთავაზებული. გავრცელებულია ნახ.14.ა სქემაზე წარმოდგენილი ჩანაცვლების ეკვივალენტური ელექტრული სქემა ორელექტროდიანი უჯრედისათვის.

იგი შეიცავს საზომი ნივთიერების  $R$  -წინაღობას,  $C_{eq}$  - ელექტროდების ორმაგი ელექტრული ფენის ტევადობას,  $C_3$  პარაზიტულ ტევადობებს,  $R_s$ - წინაღობას, რომელიც არის ვარბურგის იმპედანსის (კომპლექსური წინაღობის) აქტიური მდგენელი,  $C_s$  - ტევადობას, რომელიც წარმოადგენს ვარბურგის იმპედანსის რეაქტიულ მდგენელს, ასევე  $C_s$ - მიმუვანი სადენების ტევადობას.

ვარბურგის იმპენდანსი (impedance-ინგლისურად, ხოლო, ლათინურად იმპედიო-ვეწინაადმდეგები), ეს არის ელექტროქიმიური იმპენდანსი ანუ ელექტროქიმიური სისტემის კომპლექსური წინაადმდეგობა, რომელსაც ეს სისტემა უწევს მასში გამავალ ცვლად დენს და რომელიც გამოისახება ფორმულით:

$$Z = R_s + \frac{1}{j\omega C_s} \quad (1.1)$$

სადაც  $\omega$  - მკვებავი ძაბვის კუთხური სიხშირეა, რად/წ;  $j$  - წარმოსახვითი კოეფიციენტია.



ნახ.1.4. კონტაქტური კონდუქტორული უჯრედების ჩანაცვლების ეპიგალენტური ელექტრული სქემები.  $R$ -ხსნარიანი გადამწოდის ობური წინაღობა;  $C_{ოფ}$ -ორმაგი ელექტრული ფენის ტევადობა;  $C_3$ -პარაზიტული ტევადობა;  $C_{მი}$ -მიმყვანი სადენების ტევადობა;  $R_s, C_s$ -წინაღობა და ტევადობა, ორმლებიც განსაზღვრავენ, ვარბურგის იმპედანსის აქტიურ და რეაქტიულ მდგრენელს;  $R_{აკ}$ -აქტივზაფიური პოლარიზაციის წინაღობა

ყველაზე ხშირად სისტემის ელექტროჟიმიურ იმპენდანსს გამოსახავენ მიმდევრობით შეერთებულ  $R_s$  წინაღობითა და  $C_s$  ტევადობით (ნახ.1.4.ა,ბ). აქტიური წინაღობა  $R_s$  გამოსახავს ელექტროლიტის ელექტრული წინაღობის გავლენას, ანუ ელექტროდ—ელექტროლიტის საზღვარზე მუხტების გადატანის შენელებას. ტევადური წინაღობა  $1/j\omega C_s$ , გამოსახავს ორმაგი ელექტრული ფენის ტევადობას.

გარბურგის იმპენდანსში შემავალი აქტიური წინაღობა და რეაქტიული ტევადობა გამოისახებიან ფორმულებით:

$$R_s = +\frac{\sigma}{\sqrt{\omega}} \quad (1.2)$$

$$C_s = \frac{1}{\sqrt{\omega}} \quad (1.3)$$

სადაც  $R_s$  — მუხტის გადატანის აქტიური წინაღობა,  $\sigma$  — გარბურგის იმპედანსის კოეფიციენტი. ნახ.1.4.ა-ზე მოცემული ჩანაცვლების ეკვივალენტური სქემის სრული წინაღობა კი ტოლი იქნება:

$$Z = R + \frac{1}{j\omega C + R_s} \quad (1.4)$$

სქემა შეიძლება მნიშვნელოვნად გამარტივდეს თუ  $C_{eq}$  ტევადობა საკმარისად დიდია, ხოლო საზომი წრედის კვების ძაბვის სიხშირე ისეა შერჩეული რომ, ორმაგი ელექტრული ფენის ტევადობის წინაღობასა ( $R_{eq}$ ) და ( $Z_s$ ) გარბურგის იმპედანსს შორის მყარდება შემდეგი დამოკიდებულება:  $R_{eq} \ll |Z_s|$ , მაშინ ჩანაცვლების ეკვივალენტური ელექტრული სქემა მიიღებს ნახ.1.4.გ-ზე მოცემულ სახეს.

პირველადი საზომი გარდამსახების კვების ძაბვის სიხშირეზე განხორციელებული ცვლილებებისას, რომელთა დროსაც სამართლიანია  $R_{eq} \ll R$  დამოკიდებულება, ჩანაცვლების ეკვივალენტურ სქემას ექნება ნახ.1.4-დ გამოსახული მარტივი სახე. სამეცნიეროდიანი კონტაქტური პირველადი საზომი გარდამქმნელის ჩანაცვლების ექვივალენტური ელექტრული სქემა, რომელშიც არ არის გათვალისწინებული პირველადი საზომი გარდამქმნელის ელექტროდებს შორის გეომეტრიული ტევადობის არსებობა, გამოსახულია ნახ.1.4-ე, 1, 2, 3 – ამ პირველადი საზომი გარდამქმნელის ელექტროდებია. საკვლევი ხსნარის მოცულობების წინაღობები  $R_1$  და  $R_2$  არ არის ერთმანეთის ტოლი.

ოთხელექტროდიანი კონტაქტური პირველადი საზომი გარდამქმნელის ჩანაცვლების ეკვივალენტური ელექტრული სქემა

წარმოდგენილია ნახ.1.4-ვ. საკვლევი ხსნარის გასაზომი მოცულობის წინაღობა, 1 და 4 დენურ ელექტროდებს შორის, შედგება სამი მიმდევრობით შეერთებული წინადობებისაგან R<sub>1</sub>, R<sub>2</sub>, და R<sub>3</sub>. საკვლევი ხსნარის უბანზე ძაბვის ვარდნა, რომელსაც გააჩნია R<sub>2</sub> წინაღობა, იხსნება2 და 3 პოტენციალური ელექტროდებით.

როგორც უკვე ვახსენეთ, კონტაქტურ კონდუქტორიაში პირველადი საზომი გარდამქმნელი წარმოადგენს ცდომილებების ძირითად წყაროს, ამიტომ კონდუქტორიული უჯრედების პროექტირებისას, აუცილებელია გავითვალისწინოთ მთელი რიგი პარამეტრებისა, რომლებიც გავლენას ახდენენ პოლარიზაციული წინაღობის სიდიდეზე. ამ უჯრედების შესაქმნელად გამოიყენება მთელი რიგი ნივთიერებებისა, რომლებიც გავლენას ახდენენ ΔR<sub>n</sub> სიდიდეზე (ΔR<sub>n</sub>—პოლარიზაციული წინაღობა). პოლარიზაციული წინაღობების მნიშვნელობები ელექტროდების სხვადასხვა მასალისათვის წარმოდგენილია ცხრილი 1.1-ში.

#### ცხრილი 1.1 პოლარიზაციული წინაღობები ელექტროდების სხვადასხვა მასალისათვის

ჯგუფის №	ლითონი ან შენადნობი	ΔRs, ომი
1	Zn, Cd,Hg,Pb, Bi, In, Ag, Au, Ir, Os	ძალიან დიდია და ელექტროდად არ გამოიყენება
2	Sn, Mo, Co, W, Cr	ასევე
3	IX18H9T მარკის უჟანგავი ფოლადი Fe, Ge, Cu, Ni, Al, თითბერი	2,10 0,15
4	გლუვი Pt, Pd, Rh, Os-სევადი, Ir-სევადი	0,9
	Ta, Ru, Nb, Th, V, La,Ce, Zr	0,28 ზედაპირი იფარება ჟანგულის ფენით 0,13
6	Pt-სევადი; d -სევადი	პრაქტიკულად 0

ქველა გამოკვლეული ლითონები და შენაღნობები  $\Delta R_n$  სიდიდის მიხედვით შეიძლება დავყოთ 6 ჯგუფად.

პირველი და მეორე ჯგუფის მეტალები ქმნიან ძალზე დიდ პოლარიზაციულ წინააღმდეგობას და ელექტროდების სახით კონდუქტორიაში არ გამოიყენებიან. მეტალები, რომლებიც მიეკუთვნებიან მესამე, მეოთხე და მეხუთე ჯგუფებს, ქმნიან შედარებით მცირე პოლარიზაციულ წინაღობას და შეიძლება გამოყენებულ იქნენ კონდუქტორიაში, როგორც ელექტროდის დასამზადებელი მასალა. მეექვსე ჯგუფის მეტალებს პოლარიზაციული წინაღობის სიდიდე თითქმის ნულის ტოლი აქვთ, ამიტომ ისინი გაცილებით ხშირად გამოიყენებიან ელექტროდების სახით.

ელექტროდის ზედაპირის მდგომარეობა მნიშვნელოვნად ახდენს გავლენას იმპედანსის სიდიდეზე. პოლარიზაციული იმპენდანსის დამოკიდებულება ელექტროდის ზედაპირის მდგომარეობაზე მოცემულია ცხრილი 12-ში.

**ცხრილი 12. პოლარიზაციული იმპენდანსის დამოკიდებულება ელექტროდის ზედაპირის მდგომარეობაზე.**

ელექტროდის მასალა	ზედაპირის მდგომარეობა	Zs სიდიდე	ფარდობითი
პლატინა	პლატინირებული მსუბუქად პლატინირებული გლუვი	1 11,3 990	
თითბერი	პლატინირებული ამოჭმული და გრაფინირებული ამოჭმული პოლირებული	6,4 25,8 54 54	

ცხრილი 12-დან გამომდინარეობს, რომ ელექტროდებისათვის, რომლებიც დამზადებულნი არიან სხვადასხვა ნივთიერებებისგან, ნამდვილი ზედაპირის განვითარება ამცირებს პოლარიზაციულ მოვლენებს, რადგან მცირდება დენის სიმკვრივე და პოლარიზაციული ეფექტი.

ცხრილი 13-ში მოცემულია დამოკიდებულება პოლარიზაციულ წინაღობასა და პლატინირების სარისს შორის.

როგორც ცხრილი 1.3-ის მონაცემებიდან ჩანს, ცდომილება, რო-  
მელსაც ქმნის პოლარიზაციული წინაღობა, ელექტროგამტარებლობის  
გაზომვებისას შეიძლება მნიშვნელოვნად შევამციროთ, თუ  
გამოვიყენებთ პლატინის ელექტროდებს. უმნიშვნელო პლატინირება,  
რომელიც ვიზუალურად განისაზღვრება როგორც პლატინის  
ზედაპირის მცირე დაბურვა, ამცირებს პოლარიზაციული  
ცდომილებების სიდიდეს 60-70-ჯერ. შემდგომი გაზრდა  
პლატინირებისა, უკვე იწვევს ბამბისმაგვარ დანალექს, რომელიც  
ცუდად კავდება ელექტროდის ზედაპირზე.

### **ცხრილი 1.3. დამოკიდებულება პოლარიზაციულ წინაღობასა და პლატინირების ხარისხს შორის**

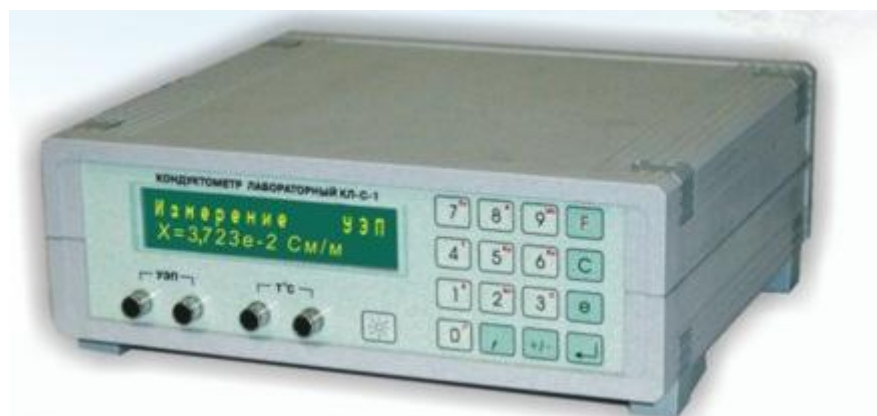
სიხშირე, ჰ��	პლატინირების ხარისხი, კ/ხ²						
	0	0,42	0,84	1,7	6,0	12,6	63
	ცდომილების სიდიდე $\Delta R_s$ , ომი						
1000	4,285	0,064	0,028	0,016	0,005	0,005	0,007
2010	3,012	0,046	0,020	0,011	0,004	0,004	0,005
3070	2,425	0,039	0,017	0,009	0,003	0,003	0,004

არსებობს ზედაპირის პლატინირების უარყოფითი მხარეები:  
გარდა იმისა, რომ ელექტროგამტარობის გაზომვისას, საკმაოდ  
სუფთა ხსნარებშიც კი, ღრეულები ივსება ჭუჭყით, რომელთა  
გარეცხვაც რთულია და ამასინჯებს გაზომვის შედეგებს. ასევე  
არ შეიძლება პლატინირება იქ, სადაც არსებობს საფრთხე იმისა  
რომ, პლატინის მინანქარი მოახდენს ხსნარში არასასურველი  
რეაქციების კატალიზირებას. ამიტომაც, პლატინირების ხსნარის  
შერჩევისას აუცილებელია ვიცოდეთ ის ხსნარები და  
ნივთიერებები, რომელთანაც იმუშავებს მოწყობილობა.

მიმყვანი გამტარების ტევადობის გავლენის შემცირების  
მიზნით, ზრდიან გამომყვან ელექტროდებს შორის მანძილს, ანდა  
იყენებენ გამომყვანების და საკვლევი ხსნარის საზომი  
მოცულობის ეკვიპორტენციალურ დაცვას [16].

### 1.3.1. კონტაქტური გადამწოდების თავისებურებები

კონტაქტური კონდუქტორია იკავებს გაზომვათა საკმაოდ ფართო დიაპაზონს  $10^{-6}$ - 150 სიმ/მ, თუმცა ერთ უჯრედს არ შეუძლია დაიკავოს გაზომვების მთელი დიაპაზონი მუდმივი ცდომილების შენარჩუნებით, ამიტომაც ამზადებენ ერთ უჯრედს, განსაზღვრული დიაპაზონის კუთრი ელექტროგამტარებლობისათვის, ან, ამზადებენ პირველად საზომ გარდამქმნელებს, რომლებიც შეიცავენ ორ უჯრედს, სუსტი და კარგად გამტარი ხსნარების კუთრი ელექტროგამტარებლობის გაზომვისათვის. ნახ.1.5-ზე გამოსახულია КЛ—С—1 ტიპის კონდუქტორი.

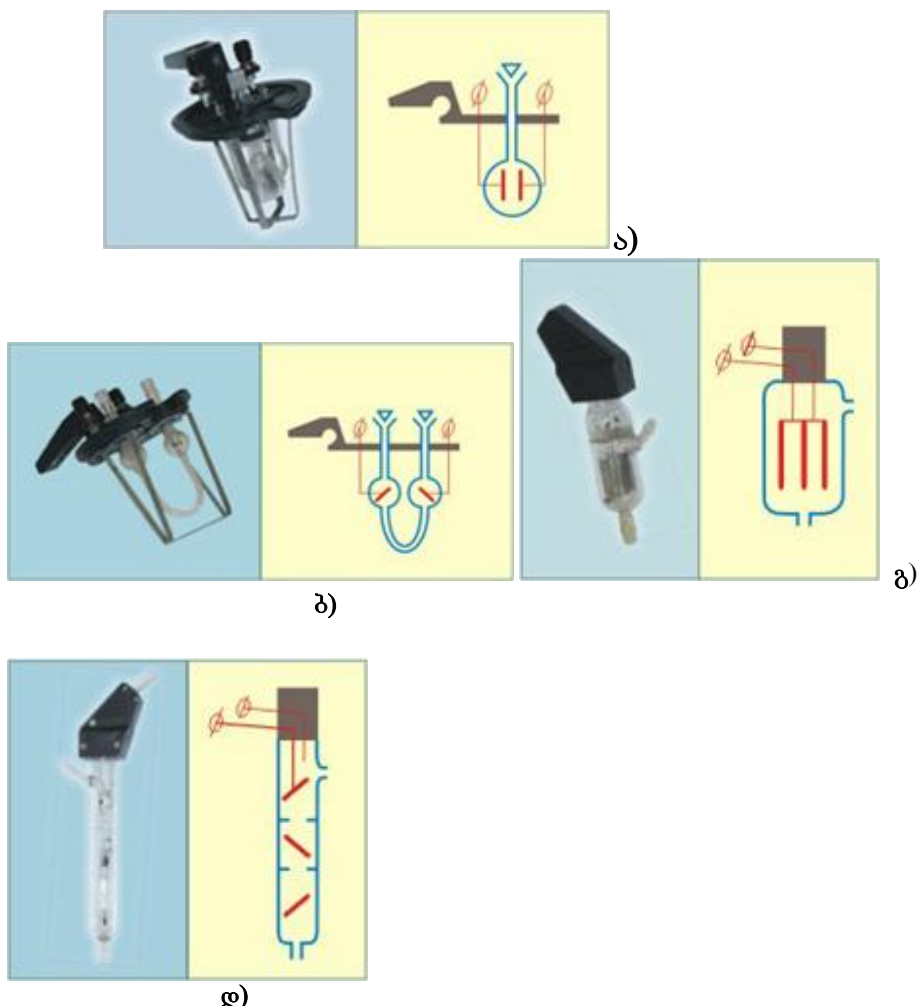


ნახ. 1.5. КЛ—С—1 ტიპის კონდუქტორი.

ნახ.1.6-ზე წარმოდგენილია КЛ—С—1 ტიპის კონდუქტორის გადამწოდების (უჯრედების) კომპლექტი შესაბამისი ეკვივალენტური სქემით. უჯრედის კონსტრუქცია და მასალა, რომლიდანაც ისინი არიან დამზადებული აბსოლუტურად მდგრადი არიან აგრესიული თხევადი გარემოს მიმართ, რაც იძლევა საშუალებას გამოკვლეული იქნეს პრაქტიკულად ნებისმიერი ხსნარი.

ნახ.1.6.ა,ბ-ზე – წარმოდგენილია ჩასასხმელი ტიპის კონდუქტორის უჯრედი. ნახ.1.6.ა-ზე წარმოდგენილი A ტიპის უჯრედის გაზომვის დიაპაზონია  $10^{-6}$ - $10^{-1}$  სიმ/სმ; ნახ.1.6.ბ-ზე წარმოდგენილი B ტიპის უჯრედის გაზომვის დიაპაზონია  $10^{-2}$ - $100$  სიმ/სმ; ნახ.1.6.გ,დ-ზე წარმოდგენილია გამდინარე ტიპის კონდუქტორის უჯრედი. ნახ.1.6.გ-ზე წარმოდგენილი C ტიპის უჯრედის გაზომვის დიაპაზონია  $10^{-6}$ - $10^{-1}$  სიმ/სმ, ხოლო ნახ.1.6დ-ზე

წარმოდგენილი D ტიპის უჯრედის გაზომვის დიაპაზონია  $10^{-2}$ - $100$  სიმ/სმ.



**ნახ.16 .KL—C—1 ტიპის კონდუქტომეტრის უჯრედების კომპლექტი:** ა- Aტიპის; ბ- B ტიპის; გ- C ტიპის; დ- Dტიპის.

მცირე კუთრი ელექტრული გამტარებლობის გაზომვისათვის გამოყენებულ უჯრედებს გააჩნიათ ელექტროდებს შორის მცირე მანძილი და ელექტროდების დიდი ზედაპირი, ამიტომ ყველაზე გაურცელებულ ელექტროდებს ფირფიტების, რგოლების და სპირალების სახით ამზადებენ. უჯრედებს, კარგად გამტარი ხსნარების ელქტროგამტარებლობის გასაზომად, ამზადებენ გაწელილს და კონტაქტის გაცილებით მცირე ზედაპირით. ასეთი უჯრედების ელექტროდებს გააჩნიათ ტაბლეტების ან რგოლების ფორმა.

კონტაქტურ ელექტრომეტრიაში სასურველია ყოველი გაზომვის შემდეგ, ელექტროდები საგულდაგულოდ გაირეცხოს, ამიტომ უჯრედის კონსტრუქცია უნდა იყოს კარგად “ამორეცხვადი”.

### 1.3.2 კონტაქტური გადამწოდების გამოყენების არეაბი

კონტაქტურმა კონდუქტორიამ სიზუსტის წყალობით მიიღო ფართო გამოყენება წყლის, ასევე ხსნარების შემადგენლობის კონტროლისათვის, მრეწველობასა და სამეცნიერო კალავებში. აბსოლუტურად სუფთა წყალს, 25°C ტემპერატურაზე და ატმოსფერული წნევისას, უნდა პქონდეს კუთრი ელექტრული გამტარობა დაახლოებით  $10^{-6}$  სიმ/მ. მთელ რიგ სამრეწველო დარგებსა და წარმოებებში არსებობს მოთხოვნა წყლის სისუფთავეზე. წყალი გამოიყენება თბოელექტროსადგურებში, გადის რა იონის გარდამქნელ პუნქტებს და გააჩნია კუთრი ელექტროგამტარობა  $2 \cdot 10^{-5}$  სიმ/მ საზღვრებში. ყველაზე სუფთა წყალი წარმოებებში გამოიყენება რეაქტორების გაციებისათვის ატომურ ელექტროსადგურებში, კუთრი ელექტროგამტარობით  $\chi = 10^{-5}$  სიმ/მ, 25°C ტემპერატურაზე. იაპონიაში ნახევარგამტარების წარმოებისას, გამოიყენება წყალი  $\chi = (1-2) \cdot 10^{-5}$  სიმ/მ კუთრი ელექტროგამტარობით 25°C, კონდენსატორების წარმოებისას კი —  $\chi = 10^{-4}$  სიმ/მ ამავე ტემპერატურაზე.

კინესკოპების დამამზადებელ ქარხნებში, ელექტრონულ-სხივური მილაკით, გამოიყენება წყალი  $\chi = 2,5 \cdot 10^{-5}$  სიმ/მ, 25°C ტემპერატურაზე. კონტაქტური კონდუქტორების უჯრედები აქტიურად გამოიყენება ეპოლოგიური მონიტორინგისათვის და საყოფაცხოვრებო და სამრეწველო გამდინარე წყლების მარილშემცველობის კონტროლისათვის, სადაც კუთრი ელექტროგამტარობა იცვლება საზღვრებში —  $10^{-3} - 10$  სიმ/მ.

## 1.4. ტევადური კონდუქტომეტრული გადამწოდები

ტევადური უჯრედი წარმოადგენს დიელექტრიკული ნივთიერების ჭურჭელს, რომელსაც გააჩნია ორი გარე ლითონის ელექტროდი. ელექტროდების ფორმა შეიძლება იყოს მართკუთხა, მრგვალი ან რგოლური. ჭურჭელი სავსეა საკვლევი ნივთიერებით. ტევადური კონდუქტომეტრული გადამწოდის ერთერთ სახე მოცემულია ნახ.1.7-ზე.

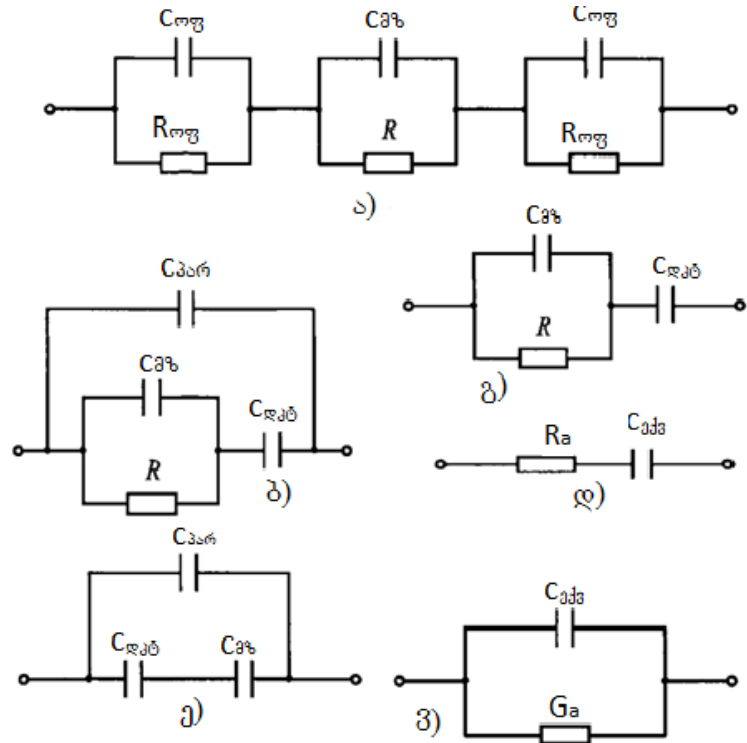


ნახ.1.7. კონდუქტომეტრული გადამწოდის ერთ-ერთი სახე

ტევადური კონდუქტომეტრული გადამწოდის ელექტროდები შეერთებულია ცვლადი ძაბვის წყაროსთან. გადამწოდი წარმოადგენს კონდენსატორს, რომლის ტევადობა განისაზღვრება კუთრი ელექტრული გამტარებლობით და საკვლევი ნივთიერების დიელექტრიკული შეღწევადობით, ასევე შემონაფენების ურთიერთგანლაგებით და გეომეტრიული ზომებით. ამრიგად, ტევადობის მიხედვით შეიძლება განვსაზღვროთ კონტროლირებადი სიდიდის მნიშვნელობა, თუ გამოვავლენთ ექსპერიმენტული ან გამოთვლითი გზით, ამ სიდიდესა და კონდენსატორის პარამეტრებს შორის ურთიერთკავშირს.

განვიხილოთ ტევადობითი უჯრედი უფრო დაწვრილებით. ის წარმოადგენს სამ კონდენსატორს. პირველი ორი **C<sub>1</sub>** და **C<sub>2</sub>** (დიელექტრიკული კედლის ტევადობა), წარმოქმნილია ლითონის ელექტროდებით და ასრულებენ კონდენსატორის შემონაფენების როლს. შიდა შემონაფენი შექმნილია ელექტროლიტით, ხოლო ჭურჭლის კედლები შემონაფენებს შორის ასრულებენ დიელექტრიკის როლს. მესამე კონდენსატორი წარმოქმნილია მხოლოდ შიგა შემონაფენებით,

რომელთა დიელექტრიკს წარმოადგენს საკვლევი ნივთიერება, იგი შუნტირებულია  $R$  წინადობით, რომელიც შეიძლება ჩავთვალოთ  $C_{\text{სა}}$  კონდენსატორის გაუონვის წინადობად.



**ნახ.1.8.** ტევადური კონდუქტორული უჯრედების ჩანაცვლების ეპიგადენტური ელექტრული სქემები:  $R$ -ხსნარიანი გადამწოდის ომური წინადობა;  $C_{\text{გა}}-\text{მზომი}$  ტევადობა;  $C_{\text{და}}-\text{უჯრედის}$  დიელექტრიკული კედლის ტევადობა;  $C_{\text{რა}}-\text{ორმაგი}$  ელექტრული ფენის ტევადობა;  $R_{\text{რა}}-\text{ორმაგი}$  ელექტრული ფენის წინადობა;  $C_{\text{არ-პარაზიტული}}$  ტევადობა;  $C_{\text{გა}}-\text{ეპიგადენტური}$  ტევადობა;  $G_a, R_a-\text{ნამდვილი}$  გამტარებლობა და წინადობა.

ტევადობითი გადამწოდების შესახებ მრავალი ნაშრომი დაწერილა, მაგრამ ანალიზის შედეგად ამორჩეულ იქნენ შედარებით გავრცელებული ჩანაცვლების ეპიგადენტური სქემები, რომლებიც წარმოდგენილი არიან ნახ.1.8-ზე. ამათგან უფრო გავრცელებულია ნახ.1.8-ზე მოცემული ჩანაცვლების სქემა, რომელშიც ორი ტევადობა  $C_{\text{და}}$ , ერთის სახითაა წარმოდგენილი, მაგრამ ზომით ორჯერ მცირეა.  $C_{\text{და}}$  კონდენსატორის გაუონვის წინადობა, როგორც წესი საკმაოდ მაღალია და არ არის დამოკიდებული საკვლევი ხსნარის თვისებებზე, ამიტომ მას ჩვეულებრივ უგულვებელყოფენ.

$C_{\text{დამ}} = \frac{\varepsilon_1}{d} s$  — განსაზღვრა შეიძლება ნივთიერების დიელექტრიკული შეღწევადობის მიხედვით, რომლითაც დამზადებულია უჯრედი, ასევე მისი კედლების სისქისა და გარე ელექტროდების ზომების მიხედვით:

სადაც,  $\varepsilon_1$  — ნივთიერების დიელექტრიკული მუდმივაა,  $d$  — უჯრედის კედლების სისქე,  $C_{\text{დამ}}$  — გადამწოდის დიელექტრიკული კედლის ტევადობა,  $s$  — ელექტროდების ფართობი.

$$C_{\text{დამ}} = \frac{\varepsilon_1}{d} s \quad (1.5)$$

სადაც,  $\varepsilon_0$  — ვაკუუმის დიელექტრიკული მუდმივაა,  $\Delta$  — შემონაფენებს შორის მანძილი,  $\varepsilon_{\text{გა}} = \varepsilon_{\text{გვლევი}} / \varepsilon_0$  — საკვლევი ნივთიერების დიელექტრიკული მუდმივაა.

მოცემული უჯრედისათვის სრული წინადობა, მუდმივი ძაბვის კვების დროს, მიიღებს შემდეგ სახეს:

$$Z = \frac{R - j[\omega R^2 C_{\text{გა}} (\frac{C_{\text{გა}} \varepsilon_{\text{გვლევი}}}{C_{\text{დამ}}} + 1) + \frac{1}{\omega C_{\text{დამ}} \varepsilon_0}]}{1 + \omega^2 R^2 C_{\text{გა}}^2} \quad (1.7)$$

ტევადობითი გადამწოდის ჩანაცვლების ეპვივალენტური ელექტრული სქემის გამარტივებული მოდელი შეიძლება წარმოვიდგინოთ ტევადობების მიმდევრობის შეერთების სახით (ნახ.1.8დ).  $C_{\text{გა}} = \text{ეპვივალენტურ ტევადობასა და } R_{\text{აქ}} = \text{აქტიურ წინადობას შორის, როცა გადამწოდი მუდმივი დენიო იკვებება და პარალელური შეერთების სახით (ნახ.1.8ე)} = \text{აქტიურ } G_a \text{ გამტარობასა და ეპვივალენტურ ტევადობას შორის, როცა გადამწოდი მუდმივი ძაბვით იკვებება [2,14,15] ტევადობით გადამწოდებს გააჩნიათ მთელი რიგი დირსებანი; მათ შორის აღსანიშნავია:$

- მაღალი მგრძნობიარობა უზრუნველყოფილია გადამწოდის პარამეტრების შერჩევით, რომლებიც საშუალებას იძლევიან მივიღოთ ტევადობის მნიშვნელოვანი ცვლილებები, კონტროლირებადი სიდიდის მოცემული ცვლილებისას;

- მცირე მასა და მცირე გაბარიტები მიიღწევა განხილვადი გადამწოდების კონსტრუქციის სიმარტივით;
  - მცირე ინერტულობა, სწრაფად ცვალებადი პროცესების მნიშვნელოვანი ღირსება მიიღწევა ტევადობითი გადამწოდების მაღალი სიხშირის დენის კვებით;
  - კონდენსატორის შემონაფენებს შორის ელექტრული ურთიერთქმედების მცირე ძალა, საშუალებას გვაძლევს გამოვიყენოთ ტევადობითი გადამწოდები მცირე სიმძლავრის მექანიზმების დეტალების გადანაცვლების კონტროლისათვის.
- ეს რაც შეეხება ღირსებებს ამგვარი ტიპის გადამწოდებისა.

თუმცა, გარდა ღირსებებისა მათ გააჩნიათ ნაკლოვანებებიც:

- ტევადობითი გადამწოდების მახასიათებლების არამუდმივობა, მათი მუშაობის პირობების მნიშვნელოვანი ცვლილებებისას (ტემპერატურა, გარემოს ტენიანობა, წნევა და სხვ.);
- შედარებით რთული საზომი სქემების გამოყენების აუცილებლობა;
- გადამწოდის ზოგიერთი დეტალის დამზადება მოითხოვს სპეციალური შენადნობებისა და ნივთიერების მაღალ სიზუსტეს, რაც ქმნის დამატებით სირთულეებს სამეწარმეო პროცესში.

#### **1.4.1.. ტევადობითი გადამწოდების თავისებურებანი**

С უჯრედის კონსტრუქციისას, მთავარ ყურადღებას უთმობენ  $C_{\text{გასაზ}}$ . ტევადობას, რადგანაც პირველადი საზომი გარდამქმნელის მგრძნობიარობა პროპორციულია ამ ტევადობის სიდიდისა.  $C_{\text{გასაზომი}}$  ტევადობის გაზრდა შეიძლება ელექტროდების ფართობის ხარჯზე, ასევე ჭურჭლის შემადგენელი ნივთიერების დიელექტრიკული შეღწევადობის გაზრდის და ჭურჭლის კედლების სისქის შემცირების ხარჯზე. ჭურჭლის ნივთიერებად ჩვეულებრივ მიღებულია მინა, რომლის დიელექტრიკული შეღწევადობა 5-7 -მდეა. გაზომვის მგრძნობიარობის გაზრდა ასევე შესაძლებელია პერამიკული ჭურჭლის გამოყენებით, რომლის დიელექტრიკული შეღწევადობა

აღწევს 100. თუმცა, კერამიკის გამოყენება დაკავშირებულია სასურველი ფორმის ჭურჭლის დამზადების სიძნელესთან.

ელექტროდებისათვის შეიძლება გამოყენებულ იქნეს ნებისმიერი ლითონი: სპილენძი, თითბერი, ალუმინი ან ვერცხლი. ნივთიერების სისქეს მნიშვნელობა არა აქვს. თუკი გაზომვის პროცესში არ მოითხოვება ელექტროდების გადაადგილება, მაშინ შეიძლება გამოვიყენოთ ფოლგისაგან დამზადებული ელექტროდები, რომელთა დამაგრება წებოს მეშვეობით ხდება. კერამიკულ ჭურჭელზე ელექტროდები (მაგ. ვერცხლის), ჩვეულებრივ ელექტროლიტურად მოირიყება თხელი ფენის სახით. გაზომვის სტაბილური შედეგების მისაღწევად, ელექტროდებმა მჭიდროდ უნდა მოიცვან ჭურჭელი, რათა არ დარჩეს პაერის ნაპრალი მომიჯნავე ზედაპირებს შორის.

გადამწოდების კვება, რომელთაც გააჩნიათ მცირე ტევადობა, ხორციელდება მაღალი სიხშირის ძაბვის წყაროებიდან. ეს გამოწვეულია იმით, რომ მხოლოდ მაღალი სიხშირის დენების გადამწოდების კვებისათვის გამოყენებისას, რეალიზდება მათი მაღალი მგრძნობიარობა და უზრუნველყოფილია მათთან დაკავშირებული საზომი სქემების სტაბილური მუშაობა.

ტევადობითი გადამწოდების დაბალი სიხშირის დენებით კვებისას, მათი შიდა წინადობა საკმაოდ მაღალი ხდება, ამიტომაც საკმარისი მგრძნობიარობის უზრუნველყოფისათვის და გაზომვების სტაბილურობისთვის, გადამწოდის ელემენტების იზოლაციის და მზომი სქემების შესავალი წრედების წინადობა უნდა იყოს საკმარისად დიდი. იზოლაციის ასეთი წინადობის უზრუნველყოფა სპეციალური ღონისძიებების გარეშე საკმაოდ რთულია, იმდენად რამდენადაც, ამ წინადობის სიდიდეზე გავლენას ახდენს იზოლაციის წინადობის ცვლილება, გარემო პირობების ტემპერატურისა და ტენიანობის ცვლილებისას, ქსელური წრედების ნათურების წინადობათა არამუდმივობა და სხვ.

ტევადობითი გადამწოდების მკვებავი დენის სიხშირის გაზრდა, ზოგიერთ შემთხვევებში იმიტომ არის მიღებული, რომ სწრაფად მიმდინარე პროცესების გაზომვისათვის აუცილებელია

განვახორციელოთ მატარებელი სიხშირის მოდულაცია, ე.ი. სიხშირისა, რომელიც კვებავს დენის გადამწოდს.

ტევადობითი გადამწოდების კვების ძაბვის სიდიდის შერჩევისას, აუცილებელია გავითვალისწინოთ საპარო შუალედის ან დიელექტრიკის გატარობა, რომელიც იმყოფება მის ელექტროდებს შორის. საპარო შუალედისთვის, როგორც ექსპერიმენტი გვიჩვენებს, არ ეგების გამოვიყენოთ ელექტრული დაძაბულობა  $10^3$  გ/მ<sup>2</sup>-ზე მეტი. შემონაფენებს შორის დიელექტრიკის არსებობისას, მაგ. ქარსისა, ეს დაძაბულობა შეიძლება გავზარდოთ რამდენჯერმე.

გადამწოდის ელექტროდებს შორის დიელექტრიკის შემონაფენი არა მარტო ამცირებს გატარების შესაძლებლობას, არამედ ზრდის კიდევაც გადამწოდის ტევადობის ფარდობით ცვლილებას ჭრილის ერთსა და იმავე ცვლილებისას მის ელექტროდებს შორის ან, ამ ელექტროდების მოქმედი ფართობის ცვლილებისას.

ტევადობითი გადამწოდების მახასიათებლები გარემო პირობების მცირედი ცვლილებისას, საკმაოდ სტაბილური არიან. თუმცა, თუკი ეს პირობები მნიშვნელოვნად იცვლებიან, მათი მახასიათებლების სტაბილურობა არსებითად ეცემა გარემო ტემპერატურის ცვლილებისას, 20-30 °C შუალედში, გადამწოდების ტევადობითი მახასიათებლები ბევრ შემთხვევებში შეიძლება ჩავთვალოთ უცვლელად. ტემპერატურის დიდ საზღვრებში ცვლილებისას არ შეიძლება არ ჩავთვალოთ მათი გავლენა, იმდენად რამდენადაც, გადამწოდის ელექტროდებს შორის ჭრილის ცვლილებამ, ასევე მისი დიელექტრიკების, ან ნივთიერების კონტროლირებადი ნაკეთობის დიელექტრიკული შეღწევადობის ცვლილებამ შეიძლება არსობრივად დაამახინჯოს გაზომვის შედეგები.

ცდომილებების გამორიცხვისათვის, რომლებიც დაკავშირებულნი არიან გარემო პირობების ტემპერატურის ცვლილებასთან, გადამწოდის დეტალებს ამზადებენ ინვარისაგან (შენადნობი, ხაზობრივი გაფართოების მცირე კოეფიციენტით), ან იყენებენ სხვადასხვა მეტალების დეტალებს ისეთი შერჩევა-შეხამებით, რომ შემონაფენებს შორის უბანზე, ნულის ტოლი იყოს გაფართოების საერთო ეკვივალენტური ტემპერატურული კოეფიციენტი. ეს კოეფიციენტი შეიძლება გამოთვლილ იქნას გადამწოდის დეტალების ზომების

მიხედვით და მათი შემადგენელი ნივთიერებების ხაზობრივი გაფართოების კოეფიციენტით.

გაზომვების მაღალი სიზუსტის უზრუნველყოსათვის, ტევადობითი გადამწოდების დახმარებით, აუცილებელია გამოვრიცხოთ შესაძლებლობა ელექტროდებს შორის ტენის, ზეთის და სხვა ნივთიერებების მოხვედრისა. ასევე აუცილებელია, რომ ნაკეთობის ზედაპირზე, რომელთა დიელექტრიკულ პარამეტრებს აკონტროლებენ ტევადობითი გადამწოდების საშუალებით, არ იყოს გაზომვის შედეგების დამამახინჯებელი გამტარები ან დიელექტრიკები.

ბევრ შემთხვევებში, ტევადობით გადამწოდებს ამზადებენ ჰერმეტულად მოწყობილს, რაც გამორიცხავს შემონაფენებს შორის რაიმე ნივთიერების მოხვედრას, რომელიც გავლენას ახდენს გაზომვის შედეგებზე.

#### **1.4.2. ტევადობითი გადამწოდების გამოყენების დარგები**

თავისი დირსებების წყალობით, ტევადობითმა გადამწოდებმა საზომი ტექნიკის მრავალ დარგში პპოვა გამოყენება. გამოვყოთ მათგან მთავარი; ხშირად განხილული გადამწოდები გამოიყენება სხვადასხვა არაელექტრული სიდიდეების კონტროლისათვის. შეიძლება გამოვყოთ მათი გამოყენების ორი ძირითადი მეთოდი:

**1.ფართობის ცვლილება,** ან შემონაფენების ჭრილის მუშა ფართობის ცვლილება, რომელიც ხორციელდება კონტროლირებადი არაელექტრული სიდიდის გარდაქმნით ტევადობად. ამ მეთოდს იყენებენ:

- მიღგამტარში წნევის გასაზომად;
- ვიბრაციის განსაზღვრისათვის;
- ლილვების დიამეტრის კონტროლისათვის მისი გახეხვისას;
- ლილვაკების ძალის გაზომვისას გაგლინულ მეტალზე;
- ზეთოვანი აპკის სისქის გაზომვისას საკისარებზე და სხვ.

**2.დიელექტრიკის დიელექტრიკული შეღწევადობის ცვლილება.** მას იყენებენ:

- დიელექტრიკული ლენტის სისქის გაზომვისას;

- აგზში სითხის დონის გაზომვისას;
- ფანტვალი ნივთიერებების ტენიანობის განსაზღვრისას;
- მაღალსიხშირული ტიტრირებსას;
- ქაღალდის ტენიანობის განსაზღვრისას.

## 1.5. ინდუქციური კონდუქტომეტრული გადამწოდები

ინდუქციური უჯრედი წარმოადგენს ინდუქციურობის კოჭას, დახვეულს ჰურკელზე, რომელიც დიელექტრიკული ნივთიერებისაა. თუკი კოჭას ახლოს, რომელიც იკვებება ცვლადი ძაბვით, იმყოფება გამტარი სხეული, მაშინ ცვლადი მაგნიტური ველის ზემოქმედებით, საკვლევ გარემოში აღიძვრებიან გრიგალური დენები, რომლებიც ცვლიან გრაგნილის ელექტრულ პარამეტრებს. ელექტრული პარამეტრების ცვლილება დამოკიდებულია ხსნარის ელექტროგამტარებლობაზე, დენის სიდიდეები და სიხშირეები კოჭაში — გეომეტრიულ ზომებზე და გამტარი სხეულისა და გრაგნილის მდებარეობის თანაფარდობაზე [2,3,5,17]. ნახ. 1.9-ზე წარმოდგენილია ინდუქციური გადამწოდის ერთ-ერთი სახე.

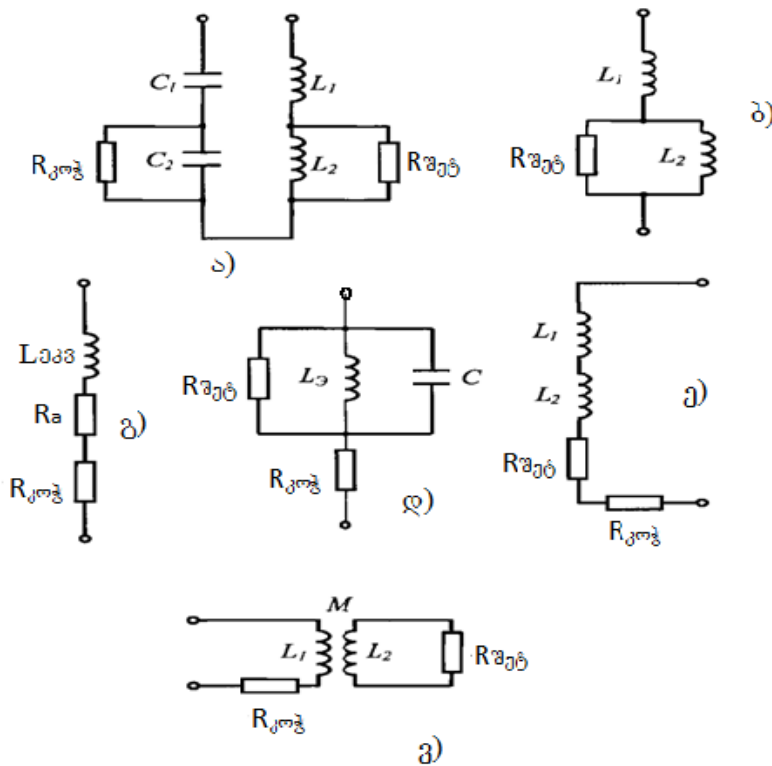


ნახ.1.9. ინდუქციური გადამწოდის ერთ-ერთი სახე.

გრიგალური დენების ველი ცვლის კოჭას აქტიურ და რეაქტიულ წინაღობას. აქტიური წინაღობის ცვლილება განპირობებულია დანაკარგების ზრდით, იმ ენერგიის დანაკარგის ხარჯზე, რომელიც გრიგალური დენების შენარჩუნებისთვისაა, ხოლო რეაქტიული წინაღობის ცვლილება დაკავშირებულია იმასთან, რომ გრიგალური დენების მაგნიტური ველი მიმართულია კოჭას ველის საწინააღმდეგოდ. ეს ცვლილებები ვაკუუმთან მიმართებაში სახელდებულია შეტანილ აქტიურ და რეაქტიულ წინაღობებად. ისინი დამოკიდებული არიან საკვლევი ხსნარის სიხშირეზე, ელექტროგამტარებლობაზე და მაგნიტურ შეღწევადობაზე [12].

კოჭას გრაგნილში, აქტიურ და რეაქტიულ მდგენელებში მიმდინარე ცვლილებების მეშვეობით, შეიძლება გაზომილ იქნას კონტროლირებად გამტარ სხეულებში მრავალრიცხოვანი სხვადასხვა არაელექტრული სიდიდეები.

ინდუქციური გადამწოდის ჩანაცვლების ეპვალენტური ელექტრული სქემები, რომლებიც წარმოდგენილია ნახ.1.10 -ზე საშუალებას გვაძლევენ გამოვთვალოთ გადამწოდის სრული კომპლექსური წინაღობა და მისი მდგენელები, ჩავატაროთ გადამწოდის თავისებურებათა ანალიზი, განვსაზღვროთ მისი სტატიკური მახასიათებლები, გამოსავალი პარამეტრები და გამოვთვალოთ გადამწოდის როგორც მეტროლოგიური თავისებურებანი, ასევე მთლიანად მოწყობილობაც [4]. გადამწოდის ეპვალენტური სქემის სწორად შედგენისას, გამოთვლილი სტატიკური მახასიათებელი, მისი განსაკუთრებული წერტილები, უნდა ემთხვეოდეს ექსპერიმენტალურად მიღებულ მრუდს [18].



ნახ.1.10 ინდუქციური კონდუქტორების უჯრედების ჩანაცვლების ეპვალენტური ელექტრული სქემები.: L<sub>1</sub>-კოჭას ინდუქციურობა ცარიელი უჯრედით; L<sub>2</sub>-საკვლევი სსნარის მიერ შეტანილი ინდუქციურობა; R<sub>გ</sub>-საკვლევი სსნარის მიერ შეტანილი წინაღობა; R<sub>კოჭ-კოჭას</sub> გამტარის ომური წინაღობა; -ურთიერთინდუქცია; R<sub>გ</sub>-ნამდვილი წინაღობა; L<sub>კვ</sub> - ეპვალენტური კოჭა; C - კოჭას გრაგნილში.

უჯრედის საერთო ტეგადობა ,რომელიც შედგება  $C_1$  და  $C_2$ -გან;  $C_1$ -კოჭას ტეგადობა;  $C_2$ -უჯრედის ჭურჭლის კედლების ტეგადობა;

ლიტერატურაში [2,4,12] ხშირად გვხვდება ეწ. “უკავშირო” სქემა (ნახ.1.10ბ). მიმდევრობით შეერთებული ჩანაცვლების სქემების სხვადასხვა გარიანტები (ნახ.1.10 გ,დ) და ტრანსფორმატორული სქემა (ნახ.1.10 ვ), მაგრამ გამოთვლებისას, მოცემული სქემა იწვევს მთელ რიგ სირთულეებს, კერძოდ, ინდუქტივობებს შორის კავშირის კოეფიციენტის გამოანგარიშებაში.

კომბინირებული ჩანაცვლების ეპვალენტური ელექტრული სქემა წარმოდგენილი ნახ.1.10ა-ზე და ჩანაცვლების ეპვალენტური ელექტრული სქემა წარმოდგენილი ნახ.1.10დ-ზე, ექსპერიმენტული შემოწმების სირთულის გამო, მოცემული სქემების აღეპვატურობის შეფასება ანდა მოძებნა ამ სქემების მიხედვით დაპროექტებული მოწყობილობებისა, არ მოხერხდა.

ამა თუ იმ ხარისხით, თითოეული ეპვალენტური სქემა გამოსახავს რეალურ პროცესებს, რომლებიც მიმდინარეობს ინდუქციურ გადამწოდში. მეტ-ნაკლებად გავრცელებული მათ შორის არის ნახ. 1.10.ვ-ზე. გამოსახული ტრანსფორმატორული სქემა. ცალკე გამოყოფის დირსია ინდუქციური კონდუქტორმეტრები ტრანსფორმატორული პირველადი საზომი გარდამქმნელებით, რომლებიც უფრო და უფრო ხშირად გამოიყენება ქიმიურ, ნავთობქიმიურ, გაზისა და სხვადასხვა მრეწველობაში.

ტრანსფორმატორული ჩანაცვლების ეპვალენტური ელექტრული სქემის ინდუქციური უჯრედის სრულ წინაღობას აქვს სახე:

$$Z = R_{\text{კოჭ}} + \omega^2 M^2 \frac{R_{\text{გვ}}}{R_{\text{გვ}}^2 + \omega^2 L_2^2} + j \left( \omega L_1 - \omega^2 M^2 \frac{\omega L_2}{R_{\text{გვ}}^2 + \omega^2 L_2^2} \right)^2 \quad (1.8)$$

ეს დაკავშირებულია იმასთან, რომ მსგავსი პირველადი საზომი გარდამსახები მოსახერხებელნი არიან ნივთიერების უწყვეტ ნაკადში გამოსაყენებლად, ისინი საიმედონი არიან, მათი კონსტრუქცია მარტივია, გამოიყენებიან ბლანტ და აგრესიულ გარემოთა ანალიზისათვის. მიუხედავად ინდუქციური მეთოდის პოპულარობისა, როგორც ინდუქტივობის სახესხვაობა, მაინც ეს მეთოდი სუსტად ვითარდება. ლიტერატურულ წყაროებში არ არსებობს მონაცემები

ტრანსფორმატორული კონდუქტორების საბაზო სქემებისა, მათი სახესხვაობებისა, ღირსებებისა და ნაკლოვანებებისა, მრეწველობაში მათი გამოყენებისა; არ არის შექმნილი მათემატიკური მოდელები სტატიკური მახასიათებლებისა, მგრძნობიარობებისა და ცდომილებებისა, არ არის ჩატარებული სტრუქტურული და პარამეტრული ოპტიმიზაცია. ზემოთ თქმულიდან გამომდინარე კარგად ჩანს, რომ უკონტაქტო ტრანსფორმატორული კონდუქტორების ანალიზატორის შემუშავებისათვის, აუცილებელია შევქმნათ მათემატიკური მოდელები ტრანსფორმატორული კონდუქტორების საბაზო სქემებისათვის, ამ მოდელების საფუძველზე მივიღოთ სტატიკური მახასიათებლების მგრძნობიარობებისა და ცდომილებების მათემატიკური მოდელები; ჩავატაროთ ამ სქემებისათვის შედარებითი ანალიზი და პარამეტრული ოპტიმიზაცია, რის მიხედვითაც ამოვარჩიოთ მოწყობილობების რეალიზაციისათვის შედარებით შესაფერისი სქემა.

გარდა იმ ჩამოთვლილი ღირსებებისა, რომლებიც გააჩნია არაკონტაქტურ მეთოდებს, ერთ-ერთი უპირატესობა ინდუქციური გადამწოდებისა მდგომარეობს მათ შესაძლებლობაში, შეცვალოს სიხშირე, გაზარდოს მგრძნობიარობა კონტროლირებადი სიდიდისკენ და შეამციროს გავლენა არაინფორმაციული სიდიდეებისა, რომლებსაც შეაქვთ ცდომილება გაზომვის შედეგებში.

ინდუცირებული გადამწოდების გამოყენებას აფერხებს ძირითადად ის, რომ ელექტროგამტარებლობის გაზომვის დიაპაზონი იცვლება საზღვრებში— $10^3$ — $10^2$ სიმ/ს და ზემოთ. ე.ი. ისინი გამოიყენებიან კარგად გამტარი ნივთიერებების კონტროლისათვის—მარილსსნარებში და ელექტროლიტებში. კიდევ ერთი არსებითი ნაკლი—ცდომილებები, რომლებიც დაკავშირებულნი არიან გარემოს ტემპერატურის ცვლილებასთან.

### **1.5.1. ინდუქციური გადამწოდების თავისებურებანი**

უჯრედის შექმნისათვის, ძირითადი ყურადღება ეთმობა ე.წ. ზედაპირულ ეფექტს, რომლის არსი მდგომარეობს იმაში, რომ ცვლადი მაგნიტური გელი და მის მიერ გამოწვეული გრიგალური დენები მიიღევიან, მოხვდებიან რა გამტარი გარემოს სიღრმეში. ეს მიღევა დაკავშირებულია იმასთან, რომ გრიგალური დენები, განპირობებულნი ცვლადი მაგნიტური გელით, თავის მხრივ ქმნიან მაგნიტურ გელს, მიმართულს მათ მიერ წარმოქმნილი გელის საწინააღმდეგოდ; აღძრული გელის ნაკადებისა და გრიგალური დენების გელის ნაკადების სხვაობა, აღწევს რა გამტარი გარემოს სიღრმეში, მცირდება, შესაბამისად გრიგალური დენების ინტენსივობის შემცირებასთან. ზედაპირული ეფექტი იზრდება ფარდობითი მაგნიტური შეღწევადობის მქონე დენის სიხშირის გაზრდით და გამტარი გარემოს კუთრი წინაღობის შემცირებით. ის ასევე ცვლის უჯრედში საკვლევი ნივთიერების აქტიური წინაღობის სიდიდეს და მის ინტენსივობას. ანუ, ძალზედ მაღალი სიხშირებისას, მთელი დენი გადის საკვლევი გარემოს ზედაპირზე.

გრიგალური დენების გავრცელების კვლევას საკვლევ გარემოში ან ნივთიერებაში, აქვს დიდი მნიშვნელობა მაღალსიხშირული ინდუქციური გადამწოდის შემუშავებისათვის; იმდენად რამდენადაც გრიგალური დენების სწორად განაწილებისას შეიძლება მინიმალური ცდომილებებით განვახორციელოთ აუცილებელი გაზომვები.

თუ ნივთიერება, რომლისგანაც მზადდება გადამწოდი, ან ნაკეთობის ნივთიერება, რომელიც კონტროლირდება გადამწოდის მიერ, ასევე მისი პარამეტრები და გაბარიტები, ჩვეულებრივ ცნობილია, მაშინ დამაკმაყოფილებელი მუშაობის უზრუნველყოფისათვის რჩება ის, რომ ამოვირჩიოთ მკვებავი დენის სათანადო სიხშირე.

სიხშირის შერჩევისას შეღწევის სიღრმის გარდა უნდა გავითვალისწინოთ ოპტიმალური მგრძნობიარობა, მოწყობილობის სკალის წრფივობა, ვეცადოთ შევამციროთ გადამწოდის გაბარიტები, ასევე სხვადასხვა დაბრკოლებების გავლენა და გარემოს ტემპერატურის ცვლილება.

ინდუქციური გადამწოდების გაბარიტების შემცირებისათვის გამოიყენებენ ფერიტის გულარებს, რომელთაც გააჩნიათ მაღალი მაგნიტური შეღწევადობა. დაბალ სიხშირეებზე გამოიყენებენ სპეციალური ფურცლოვანი ფოლადის გულარებს, რომელთაც ამ სიხშირეებზე გააჩნიათ მაღალი მაგნიტური შეღწევადობა და შედარებით მცირე დანაკარგები. მაღალ სიხშირეებზე ჩვეულებრივ იყენებენ ფერიტებს, რომელთა დანაკარგები მცირეა.

გულარებიანი გადამწოდების სტაბილურობა უგულაროებისაგან განსხვავებით, შეიძლება იყოს არსებითად მცირე, გარემო ტემპერატურის ცვლილებისას, ანდა სხვა მიზეზთა გამო; იმდენად რამდენადაც, მათ შეიძლება შეეცვალოთ ფოლადის ან ფერიტების მაგნიტური შეღწევადობა.

### 1.5.2. ინდუქციური გადამწოდების გამოყენების დარგები

მაღალსიხშირულმა ინდუქციურმა გადამწოდებმა, თავისი სიმარტივისა და საიმედოობის წყალობით, გამოიყენება ჰერცენიური მეცნიერებისა და ტექნიკის მრავალ დარგში. განსაკუთრებით კი იქ, სადაც მოითხოვება ტექნოლოგიური პროცესების უკონტაქტო კონტროლი. ინდუქციური გადამწოდები გაცილებით მიზანმიმართულად გამოიყენებიან ისეთი სსნარების გასაზომად, რომელთაც გააჩნიათ შედარებით მაღალი ელექტროგამტარებლობა, ამიტომ ისინი ფართოდ გამოიყენებიან სხვადასხვა საწარმოო პროცესების კონტროლისათვის, როგორებიცაა მაგალითად:

- ბლანტი და აგრესიული სსნარებისა და სუსპენზიების კუთრი ელექტრული გამტარებლობის გაზომვისას;
- ბინარული სსნარების კონცენტრაციის გაზომვისას;
- წარმოებული გამტარების დიამეტრის კონტროლისას;
- ფოლგის სისქის გაზომვისას;
- გალვანური ნაფენების სისქის კონტროლისას;
- ნაკეთობის სარისხის კონტროლისა გამტარობის მიხედვით;
- წარმოებული ლითონის დეტალებში ნაპრალების აღმოჩენისათვის.

## **1.6. კონდუქტორმეტრიაში გამოყენებული ძირითადი საზომი სქემების მიმოხილვა**

კონდუქტორმეტრები, როგორც უკვე აღვნიშნეთ, შედგებიან ორი ძირითადი მოწყობილობისაგან: უჯრედის პირველადი გადამწოდისაგან და მზომი მოწყობილობისაგან.

კონტაქტური გაზომვის საშუალებების ძიებისას, ფართო გამოყენება პპოვეს: ბოგირულმა მეთოდმა, კომპენსაციურმა მეთოდმა, პირდაპირი გაზომვის მეთოდმა, შედარების მეთოდმა. გარდა ამისა, გამოიყენება შემდეგი ტიპების რეზონანსული მზომი სქემები: Z-მეტრული, რომელიც რეაგირებს კომპლექსური წინაღობის მოდულის ცვლილებაზე; Q-მეტრული, რომელიც რეაგირებს უპირატესად, წინაღობის აქტიური მდგენელის ცვლილებაზე; F-მეტრული, რომელიც რეაგირებს წინაღობის რეაქტიული მდგენელის ცვლილებაზე.

### **1.6.1. ბოგური სქემებით გაზომვის მეთოდი**

ბოგური სქემებით გაზომვის მეთოდი რეალიზებულია რამდენიმე ვარიანტად:

- გაწონასწორებული ბოგები;
- გაუწონასწორებელი ბოგები;
- კვაზიგაწონასწორებული ბოგები;
- ნახევრადგაწონასწორებული ბოგები.

გაწონასწორებული ბოგების მუშაობის პრინციპი მდგომარეობს იმაში, რომ გაზომვის შედეგები მიიღება ბოგას წონასწორობის მიღების შემდეგ, რომელიც მიიღწევა ბოგას დიაგონალში ძაბვის არ არსებობის დროს[2,6,19]. რადგან კონდუქტორმეტრული უჯრედის წინაღობას გააჩნია როგორც აქტიური, ასევე ტევადური ხასიათი, ამიტომ შედარების მხრებში წონასწორობის მისაღწევად აუცილებელია იცვლებოდეს მინიმუმ ორი სოდიდე, რომელთაგან ერთი ცვლის იმპენდანსის აქტიურ მდგენელს, ხოლო მეორე – რეაქტიულს.

მსგავსი ბოგები გამოიყენება როგორც ორელექტროდიანი, ასევე ოთხელექტროდიანი. ამასთანავე კონტაქტურ კონდუქტომეტრიაში ორელექტროდიანი უჯრედების გამოყენებისას არსებითი ცდომილება შეაქვს პოლარიზაციული იმპენდანსის აქტიურ მდგენელს.

გაწონასწორებული ბოგების ღირსებად შეიძლება ჩაითვალოს მათი მაღალი სიზუსტე. ამიტომ მათ გამოიყენებენ პრეციზიული კონდუქტომეტრებისა და სანიმუშო მოწყობილობების დამუშავებისა და დამზადების დროს [20, 21].

მათი უარყოფითი მხარეა საკმაოდ რთული კონსტრუქცია [2] და წონასწორობის მდგომარეობის მისაღწევად სჭირდება გარკვეული დრო.

გაუწონასწორებელი ბოგები გამოიყენება იმ შემთხვევაში, როცა საჭიროა ხელსაწყოს კონსტრუქციის გამარტივება და ასევე როცა საჭირო არ არის აქტიური და რეაქტიული მდგენელების გაწონასწორება [2,8,22].

მსგავსი სქემების უარყოფითი მხარეა ის, რომ მოითხოვება კვების გენერატორის ძაბვის ამპლიტუდისა და სიხშირის სტაბილურობა. გაზომვის შედეგზე გავლენას ახდენს კონდუქტომეტრული უჯრედის იმპენდანსის რეაქტიული მდგენელის სიდიდე და ელექტროდების პოლარიზაციის წინაღობის აქტიური მდგენელი.

მათ დადებით მხარედ ითვლება ბოგურ სქემასთან შედარებით მარტივი კონსტრუქცია და არ არის საზომი ბოგას აქტიური და რეაქტიული მდგენელების გაწონასწორების საჭიროება, რის წყალობითაც მცირდება ჩვენების დადგენის დრო [16].

კვაზიგასწორებული ბოგას მუშაობის პრინციპი მდგომარეობს იმაში, რომ ბოგას საზომ დიაგონალში შეირჩევა ძაბვის ფაზური და მოდულური ნაწილების ისეთი თანაფარდობა, რომლის დროსაც მიიღწევა წონასწორობა. მაგრამ ამ დროს ძაბვა ბოგას დიაგონალში ნულის ტოლი არ არის [10,20,23].

ასეთ ბოგებს გააჩნიათ მთელი რიგი დადებითი თვისებები. კერძოდ: გაზომვის შედეგზე გავლენას ვერ ახდენს ძაბვის ამპლიტუდა, მოითხოვება სარეგულირო ელემენტების მცირე რაოდენობა, რაც ამარტივებს ხელსაწყოს კონსტრუქციას.

უარყოფითი მხარეებიდან შეიძლება აღინიშნოს შემდეგი:  
წონასწორობის მაჩვენებლის მოწყობილობის სირთულე მისი  
მახასიათებლებისა და სტაბილურობის მიმართ მაღალი მოთხოვნების  
გამო; გაზომვის შედეგი დამოკიდებულია კონდუქტომეტრული უჯრედის  
იმპედანსის რეაქტიულ მდგენელსა და წონასწორობის  
დიფერენციალური მაჩვენებლის გამოსავალ წინაღობაზე [2].

ნახევრადგაწონასწორებული ბოგები წონასწორობის მდგომარეობაში  
იმყოფებიან, თუ საზომი ბოგას მოსაზღვრე მხრებში ძაბვის  
ამპლიტუდები ტოლია, რომელთა შეერთების წერტილი წარმოადგენს  
ბოგას კვების დიაგონალის ერთერთ წერტილს.

ნახევრადგაწონასწორებულ ბოგებში წონასწორობის ინდიკატორია  
დიფერენციალური მაჩვენებელი, რომლის როლს წარმოადგენს ძაბვის  
ვარდნების საშუალო მნიშვნელობების შედარება, რომელიც ერთ  
მხარეში დამოკიდებულია საზომი გადამწოდის იმპენდანსის მოდულზე,  
ხოლო მეორეში –მარეგულირებელ ელემენტზე [2.8].

ნახევრადგაწონასსწორებულ ბოგებში არ არის სარეგულირო  
კონდენსატორის გამოყენების საჭიროება, რაც ითვლება მის დირსებად.

უარყოფითი მხარეებიდან შეიძლება აღინიშნოს: ხელსაწყოს  
კონსტრუქცია რთულდება წონასწორობის დიფერენციალური  
მაჩვენებლის გამოყენების გამო. გარდა ამისა მაჩვენებელს უნდა  
ჰქონდეს სტაბილურობის მაღალი მახასიათებლები [24].

### 1.6.2 შედარების მეთოდის გამოყენების სქემები

შედარების მეთოდის არსი მდგომარეობს იმაში, რომ ხდება  
შედარება გამტარობის, წინაღობის, დენის ან ძაბვის ვარდნის ცნობილი  
სიდიდისა, იმ მნიშვნელობასთან, რომელიც მიღებულია პირველადი  
საზომი გარდამსახით.

შედარება შეიძლება იყოს ერთდროული და განსხვავებული  
დროით. ერთდროული შედარებისას, ჩვეულებრივ იყენებენ  
ოპერაციულ გამაძლიერებლებს, რომელთა შესავალ წინაღობას  
შეაქვს დამატებითი ცდომილება გაზომვის შედეგებში; გარდა ამისა,

გაზომვის შედეგებზე გავლენას ახდენს კონდუქტორული უჯრედის რეაქტიული მდგენელი.

გაზომვის განსხვავებულ დროითი მეთოდის დროს, ხდება რიგ-რიგობითი გაზომვა არცმი, მზომი სიდიდითა და მუშა საზომით.

კონდუქტორული უჯრედსა და მუშა საზომს შორის გამტარებლობის განსხვავების გამო, მოწყობილობის შესავალზე მიეწოდება ამპლიტუდის მიხედვით მოდულირებული ცვლადი ძაბვა. მოდულირებული ძაბვის ამპლიტუდა პროპორციულია კონდუქტორული უჯრედის გამტარებლობისა და მუშა საზომის გამტარებლობის სხვაობისა. ის გარდაიქმნება შედარების მოწყობილობის მეშვეობით მმართველ სიგნალში, მანამ სანამ მოდულაციის ძაბვის ამპლიტუდა არ გაუტოლდება ნულს. სიდიდე, რომლის დროსაც მიიღწევა სისტემის წონასწორობა, არის კონდუქტორული უჯრედის გამტარებლობა.

მსგავსი სქემის დირსებად მიიჩნევა: გაზომვის შედეგის დამოუკიდებლობა გენერატორის ძაბვის ამპლიტუდაზე; შედარების მოწყობილობის არხების გადაცემის კოეფიციენტების გავლენის არ არსებობა გაზომვის შედეგებზე, მმართველ სიგნალთან ხისტი ფუნქციონალური კავშირის აუცილებლობის არ არსებობა.

ნაკლი მდგომარეობს—მუშა საზომის გამტარებლობის დამატებითი გაზომვის აუცილებლობაში, გაზომვის შედეგების დამოუკიდებულება პირველადი საზომი გარდამსახების რეაქტიულ მდგენელებთან [10,16,20]..

### 1.6.3. სქემები გაზომვის კომპენსაციური ხერხის გამოყენებით

კომპენსაციური მეთოდის არსი მდგომარეობს იმაში, რომ მზომი უჯრედების ელექტროდებზე ძაბვის ვარდნა შემხვედრი ძაბვით კომპენსირდება ნულამდე. სქემაში ძაბვის წყაროდ გამოიყენება გენერატორი. ძაბვის სრული კომპენსაციისათვის აუცილებელია შევცვალოთ ძაბვის ფაზა და ამპლიტუდა, რისთვისაც გამოიყენება ცვლადი ტევადობა და ძაბვის აქტიური

გამყოფი. ნაკლი კომპენსაციური მეთოდისა არის, კონსტრუქციის სირთულე და გაზომვის შედეგებზე პირველადი საზომი გარდამსახების ელექტროდებზე პოლარიზაციული მოვლენების გავლენა [1,8].

#### 1.6.4. სქემები უშუალო შეფასების მეთოდის გამოყენებით

უშუალო შეფასების პრინციპის მიხედვით, სქემური გადაწყვეტილებები რეალიზებულია რამდენიმე ვარიანტად:

- ზომავენ ძაბვის ვარდნას ცნობილ რეზისტორზე, რომელიც მიმდევრობითაა ჩართული ორელექტროდიან პირველად საზომ გარდამქმნელთან, ან ცვლიან ძაბვის ვარდნას პირველად საზომ გარდამქმნელთან, რომელიც მიმდევრობითაა ჩართული ცნობილ რეზისტორთან. მსგავსი სქემების ღირსება მდგომარეობს მათ სიმარტივესა და საიმედოობაში.
- ზომავენ დენს პირველადი საზომი გარდამქმნელის გავლით. რისთვისაც გამოიყენება დენის ძაბვად გარდამქმნელი, რომლის მეშვეობითაც დენის ამპლიტუდით მსჯელობენ საკვლევი ხსნარის გამტარობაზე. სქემაში შედარების რეზისტორის არ არსებობის გამო, მოწყობილობის სკალა სწორხაზოვანია, რაც წარმოადგენს ამ სქემით რეალიზებული კონდუქტორმეტრების ძირითად ღირსებას. გარდა ამისა, მას გააჩნია გენერატორის ძაბვის ამპლიტუდაზე მცირე დამოკიდებულება. მსგავსი სქემების ნაკლად შეიძლება ჩაითვალოს ის, რომ გაზომვის შედეგების სიზუსტეზე გავლენას ახდენს საყრდენი ძაბვის სტაბილურობა და გაზომვის არხების დამოკიდებულება გადაცემის კოეფიციენტზე.
- ზომავენ ძაბვის ვარდნას ცნობილ რეზისტორზე, ინარჩუნებენ რა საყრდენი ძაბვის ვარდნას ორელექტროდიან პირველად საზომ გარდამქმნელზე ან ოთხელექტროდიანის პოტენციალურ

- ელექტროდებზე. ცვლადი ძაბვის ან დენის მმართველი გენერატორების გამოყენება კონტაქტურ კონდუქტომეტრიაში საშუალებას გვაძლევს შევამციროთ ორმაგი ელექტრული ფენის ტევადობის გავლენა გაზომვის შედეგზე. ეს მიიღწევა იმის ხარჯზე, რომ ძაბვის ვარდნა რჩება მუდმივი და ტოლი საყრდენი ძაბვისა. აღსანიშნავია, რომ გაზომვის შედეგის დამოკიდებულება საყრდენი ძაბვის სიდიდეზე, წარმოადგენს მოცემული სქემის ნაკლს; გარდა ამისა, შეიძლება აღვნიშნოთ, რომ აუცილებელია შესადარებელი ძაბვების მარეგულირებელი ფაზურმაბრუნებელის გამოყენება.
- კვების ძაბვის სინქრონულად ზომავენ გამართული ძაბვის ვარდნას ორელექტროდიან პირველად საზომ გარდამქმნელზე. სინქრონული მეთოდი რეალიზებულია მიმდევრობით შეერთებული პირველადი საზომი გარდამქმნელისა და აქტიური წინადობის მიერ, რომელიც იკვებებიან ცვლადი ძაბვით, ასევე სინქრონულად კვებავს იმ მოწყობილობას, რომელიც უზრუნველყოფს გამართული ძაბვის ვარდნას პირველად საზომ გარდამქმნელზე; მსგავსი სქემის ღირსებად გვევლინება პირველადი საზომი გარდამქმნელის იმპედანსის რეაქტიული მდგენელის გავლენის გამორიცხვა. ნაკლად კი შეიძლება ჩაითვალოს გაზომვის შედეგის დამოკიდებულება კვების ძაბვის ამპლიტუდაზე და მიმდევრობით ჩართული რეზისტორის წინადობის სიდიდის გავლენა [16, 20].

### **1.6.5. გაზომვის Z,Q,F– მეტრული მეთოდები**

**Z–მეტრულ** მეთოდში, რომელიც რეაგირებს კომპლექსური წინაღობის მოდულის ცვლილებაზე, ასევე გამყოფზე, რომელიც შედგება რეზისტორისა და რეზონანსული კონტურისაგან, მაღალსიხშირული ძაბვა მიეწოდება გენერატორიდან ბუფერული და სიმძლავრის გამაძლიერებლის გავლით. კონტურში ჩართულია პირველადი საზომი გარდამქმნელი. სიგნალი მაღალსიხშირული ძაბვის სახით, კონტურზე ძლიერდება, შემდეგ დეტექტირდება და დენის მიხედვით გაძლიერების შემდგომ მიეწოდება გადამთვლელ-რეგისტრირებად მოწყობილობას.

**Q–მეტრულ** მეთოდში, რომელიც რეაგირებს წინაღობის აქტიური მდგენელის ცვლილებაზე, მაღალსიხშირული ძაბვა მიეწოდება გენერატორიდან გამაძლიერებლის გავლით რეზონანსულ კონტურს, რომელიც ჩართულია პირველად საზომ გარდამქმნელში. პირველადი საზომი გარდამქმნელის კომპლექსური წინაღობის რეაქტიული მდგენელი კი, კომპენსირდება კონტურის რეზონანსში მომართვით. სიგნალი, რომელიც პროპორციულია კონტურის გარგისიანობის ცვლილებისა, გაძლიერებისა და დეტექტირების შემდეგ მიეწოდება დენის გამაძლიერებელზე და შემდეგ გადამთვლელ-რეგისტრირებად მოწყობილობას.

**F–მეტრული** მეთოდი რეაგირებს კომპლექსური წინაღობის რეაქტიული მდგენელის ცვლილებაზე. გამოსავალი სიგნალი აღიძვრება ორი მაღალსიხშირული რეზოვის ბიძგის შედეგად, რომლებიც წარმოიქმნება ცვლადი სიხშირის გენერატორის მიერ და რომლის კონტურშიც ჩართულია მზომი გარდამქმნელი და ფიქსირებული სიხშირის გენერატორი. სიგნალების ეს ერთობლიობა მიეწოდება შემრევზე და მის გამოსავალზე აღიძვრება კომბინაციური მდგენელების სპექტრი, რომელთა შორისაც გვაქვს სასარგებლო სიგნალიც, გამოყოფილი მცირე სიხშირეების ფილტრით. გაძლიერების შემდეგ, ეს სიგნალი მიეწოდება იმპულსურ გარდამქმნელ-შემომსაზღვრელზე, ხოლო შემდეგ კი— სიხშირმზომზე.

## შედეგები და განსჯა

### თ ა ვ ი II უკონტაქტო ტრანსფორმატორული კონდუქტომეტრების გამოკვლევა და დამუშავება

უკონტაქტო კონდუქტომეტრია თავისი სიმარტივისა და საიმედოობის წყალობით, წარმოადგენს მინარევების, ხსნარებისა და შენადნობების ფიზიკო-ქიმიური თვისებების ანალიზის ერთ-ერთ გავრცელებულ და უნივერსალურ მეთოდს.

ტრანსფორმატორული კონდუქტომეტრები წარმოადგენენ უკონტაქტო კონდუქტომეტრის ერთ-ერთ სახეს. ისინი ფართოდ გამოიყენება ნავთობქიმიურ, ქიმიურ, ფარმაცევტულ, კვებისა და მრეწველობის დარგებში, როგორც ტექნოლოგიური პარამეტრების ასევე გამოშვებული პროდუქციის ხარისხის მაკონტროლებელი.

მოცემული ხელსაწყოების მოთხოვნილებებზე მეტყველებს ის ფაქტი, რომ ყველა მსხვილ ხელსაწყოთა მშენებლობის ორგანიზაციებს გააჩნიათ თავის ასორტიმენტში ტრანსფორმატორული კონდუქტომეტრების სამოდელო რიგი, რომელთა დახვეწა განვითარება კვლავაც გრძელდება. ეს განისაზღვრება იმით, რომ მსგავს ხელსაწყოებს არ გააჩნიათ კონტაქტი საკვლევ ხსნართან, ამიტომაც ისინი შეიძლება იყვნენ დამონტაჟებულნი სხვადასხვა ტექნოლოგიურ დანადგარებში და მიღებამტარებში და შეუძლიათ გაზომონ როგორც ნეიტრალური, ასევე აგრესიული გარემო.

როგორც უკვე აღვნიშნეთ, დღემდე არ ეთმობოდა საკმარისი ყურადღება ტრანსფორმატორული კონდუქტომეტრების მზომი სქემების შესაძარებელი ანალიზის ამოცანას, თუმცა ბევრი ნაშრომია დაწერილი კონდუქტომეტრებზე ინდუქციური გარდამქმნელებით [1,2,3,6,7,8,21,23,25,26,27], მაგრამ ტრანსფორმატორული კონდუქტომეტრები, როგორც კერძო შემთხვევა უკონტაქტო ინდუქციური კონდუქტომეტრებისა, არ განიხილება.

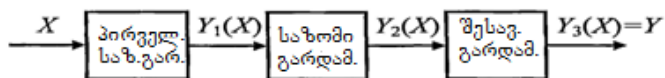
მოცემულ თავში შემუშავებულია ტრანსფორმატორული კონდუქტომეტრების არსებული სქემების სტატიკური მახასიათებლები, შექმნილია ტრანსფორმატორული კონდუქტომეტრების ძირითადი

მზომი სქემების მათემატიკური მოდელები, რომლებიც გამოიყენებენ გაზომვის პირდაპირ და კომპუნისაციურ მეთოდს, ჩატარებულია მათი შედარებითი ანალიზი.

## 2.1 ტრანსფორმატორული კონდუქტორმეტრების საზომი სქემების სტატისტიკური ანალიზი

კონდუქტორმეტრები, ისევე როგორც სხვა ანალიტიკური ხელსაწყოები, წარმოადგენენ გაზომვის საშუალებებს, ე.ო. ტექნიკურ საშუალებას, რომელიც გათვლილია გაზომვებისათვის და გააჩნია ნორმირებული მეტროლოგიური მახასიათებლები. ისინი წარმოქმნიან და ინახავენ ფიზიკური სიდიდის ერთეულს, რომლის ზომას იღებენ უცვლელად (დამყარებული ცდომილების საზღვრებში) ცნობილი დროის ინტერვალის განმავლობაში.

კონდუქტორმეტრის სტრუქტურული სქემა მოცემულია ნახ.2.1 - ზე.



**ნახ. 2.1** კონდუქტორმეტრის სტრუქტურული სქემა

X - შესავალი სიგნალი (კუთრი ელ. გამტარ-გასაზომი სიდიდე)  
Y - გამოსავალი სიგნალი

რადგანაც კონდუქტორმეტრი წარმოადგენს გაზომვის საშუალებას, ხოლო გაზომვა ესაა ცდისეული ხერხით ფიზიკური სიდიდის მნიშვნელობის პოვნის პროცესი სპეციალური ტექნიკური საშუალებების დახმარებით, ისევე როგორც გაზომვის სხვა ხერხები, მასაც გააჩნია ცდომილება.

გაზომვის ცდომილებას უწოდებენ გაზომვის შედეგების გადახრას მზომი სიდიდის ნამდვილი მნიშვნელობიდან, ხოლო  $\Delta X$  – აბსოლუტურ ცდომილებას, რომელიც გამოისახება მზომი სიდიდის ერთეულებში, უწოდებენ სხვაობას ხელსაწყოს ჩვენებასა –  $X^*$  და მზომი სიდიდის ნამდვილ მნიშვნელობას– $X$  შორის.

$$\Delta X = X^* - X \quad (2.1)$$

$\Delta X$  - სტატისტიკური ცდომილება ბევრ შემთხვევაში შეიძლება შემდეგნაირად წარმოვადგინოთ:

$$\Delta X = \Delta_U - \Delta_{\bar{U}} \quad (2.2)$$

$\Delta_U$  - სისტემატური მდგენელი,  $\Delta_{\bar{U}}$  - შემთხვევითი მდგენელი

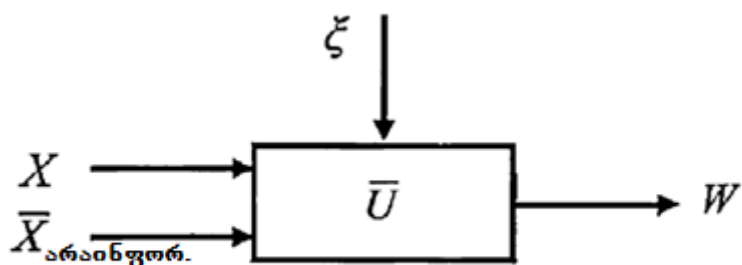
$\Delta X$ , როგორც ჯამი მუდმივი და შემთხვევითი სიდიდეებისა, არის შემთხვევითი სიდიდე, ამიტომ მეტროლოგიური მახასიათებლების შეფასებისას, აუცილებელია ვი-სარგებლოთ შემთხვევითი სიდიდეების აპარატით.

შემოვიყვანოთ ცდომილებების განაწილების კანონის ზოგიერთი აუცილებელი რიცხობრივი მახასიათებლები.

**პირველი მომენტი** – მათემატიკური ლოდინი  $M\{\Delta X\} = \Delta_U$ , განსაზღვრავს  $\Delta X$ საშ. მნიშვნელობას ან (2.2) განტოლების თანახმად ცდომილების სისტემატურ მდგენელს –  $\Delta_U$ .

**მეორე მომენტი** – დისპერსია –  $\sigma^2 = M\{[\Delta X - M\{\Delta X\}]^2\}$ , ახასიათებს შემთხვევითი ცდომილების გაფანტგის სიმძლავრეს  $\Delta_U$  მახლობლად. გარდა ამისა, გაფანტგის სიდიდის ნათლად დასახასიათებლად, იყენებენ ცდომილების საშუალო კვადრატულ გადახრას, რომელიც ტოლია დისპერსიიდან კვადრატული ფესვისა.

კონდუქტორმეტრული გაზომვის პროცესში, მზომი გარდამსახი, გარდაქმნის მზომი სიდიდის –  $X$  მნიშვნელობას კონდუქტორის რეგისტრირებულ  $W$  – გამოსავალ სიგნალში. ნახ.2.2- ზე წარმოდგენილია კვაზისტატიკური კონდუქტორმეტრული გაზომვის პრინციპიალური სქემა.



ნახ. 2.2 კვაზისტატიკური კონდუქტორმეტრული გაზომვის პრინციპიალური სქემა.

ცდომილებების შემცირებისათვის სასურველია გამოვრიცხოთ ან მაქსიმალურად შევამციროთ გარე ფაქტორების გავლენა –  $\bar{U}$  (წნევა, გარემო ტემპერატურა, ტენიანობა, კვების ძაბვის სიხშირე და ა.შ.), მზომი გარდამსახის ხმაური  $\xi$  და საკვლევი ხელსაწყოს არაინფორმაციული პარამეტრები  $-\bar{X}_{ain}$ . ზემოთქმულიდან გამომდინარე მზომი გარდამსახის მათემატიკურ მოდელს კვაზისტატიკურ რეჟიმში გააჩნია შემდეგი სახე:

$$W = f(X, \bar{X}_{ain}, \bar{U}, \xi) \quad (2.3)$$

f ფუნქციის სახე განისაზღვრება ამორჩეული მეთოდით და გაზომვის სქემით. საერთო ჯამში  $\bar{X}_{ain}$ ,  $\bar{U}$ ,  $\xi$  წარმოადგენენ შემთხვევით სიდიდებს, რაც მეტყველებს W დამაჯერებელ ხასიათზე, X-ის ფიქსირებულ მაგრამ არა ცნობილ მნიშვნელობებზეც კი. პარამეტრების  $-\bar{X}_{ain}$ ,  $\bar{U}$ ,  $\xi$  ნომინალურ მნიშვნელობებზე, როცა

$$\bar{X}^\wedge_{ain} = \langle \bar{X}_{ain} \rangle$$

(აინ – საკვლევი ნიმუშის არაინფორმაციული პარამეტრები,  $\Delta$  – სიმბოლო არის სიდიდის ნომინალური მნიშვნელობა,  $< >$  – შესაბამისი პარამეტრის მათემატიკური გასაშუალების სიმბოლო)

$$\bar{U}^\wedge = \langle \bar{U} \rangle ; \xi^\wedge = \langle \xi \rangle = 0 ;$$

(2.3) დამოკიდებულება განსაზღვრავს კონდუქტორების ნომინალურ სტატიკურ მახასიათებელს.

$$\bar{W} = f(X, \bar{X}_{ain}, \bar{U}) \quad (2.4)$$

თუ (2.4) განტოლებას გავშლით მწვრთვად გადახრის ხარისხის მიხედვით

$\Delta \bar{X}_{ain} = \bar{X}_{ain} - \bar{X}_{ain}$ ,  $\Delta \bar{U} = \bar{U} - \bar{U}$  და  $\xi$ , X-ის ფიქსირებული მნიშვნელობისას და თუ შემოვისაზღვრებით ამ უტოლობათა სიმცირის გამო,

$$\delta \bar{X}_{ain} = \frac{\bar{X}_{ain} - \langle \bar{X}_{ain} \rangle}{\bar{X}_{ain}^\wedge} \ll 1, \quad \delta \bar{U} = \frac{\bar{U} - \langle \bar{U} \rangle}{\bar{U}^\wedge} \ll 1 \quad \text{და} \quad \frac{\xi}{\bar{U}^\wedge} \ll 1, \quad \text{წრფივი}$$

მიახლოებით, მივიღებთ:

$$\Delta W = W - \bar{W}^\wedge = \frac{\partial W}{\partial \bar{X}_{nom}} \left| \hat{\Delta} \bar{X}_{bin} + \frac{\partial W}{\partial \bar{U}} \right| \hat{\Delta} \bar{U} + \frac{\partial W}{\partial \xi} \left| \hat{\Delta} \bar{\xi} \right|, \quad (2.5)$$

სადაც,  $\Delta W - W$  სიგნალის შემთხვევითი გადახრაა მისი  $\frac{\wedge}{W}$  ნომინალური მნიშვნელობიდან, რაც გამოწვეულია შემთხვევითი

გადახრებით –  $\Delta \bar{X}_{\text{ნომ}}$ ,  $\Delta \bar{U}$ ,  $\xi$ .  $\Delta W$  არის კონდუქტორების აბსოლუტური ცდომილება მიუვანილი მის გამოსავალთან;

$$S(\bar{X}_{\text{ნომ}}) = \left. \frac{\partial W}{\partial \bar{X}_{\text{nom}}} \right|_{\frac{\wedge}{W}}, \quad S(\bar{U}) = \left. \frac{\partial W}{\partial \bar{U}} \right|_{\frac{\wedge}{W}}, \quad S(\xi) = \left. \frac{\partial W}{\partial \xi} \right|_{\frac{\wedge}{W}} \text{ კონდუქტორების}$$

მგრძნობიარობა არაინფორმაციული პარამეტრების მიმართ –  $\bar{X}_{\text{ნომ}}$ ,  $\bar{U}$ ,  $\xi$ .

X-ის ფიქსირებული მნიშვნელობისათვის  $\Delta W - \text{ცდომილება}$  წარმოშობს შეცდომას მზომი სიდიდის შეფასებაში, რომელიც ტოლია –  $\Delta W = \left. \frac{\partial W}{\partial X} \right|_{\frac{\wedge}{W}} \Delta X$ , საიდანაც:  $\Delta X = X^* - X = \frac{\Delta W}{S(X)}$ , (2.6)

სადაც,  $S(X) = \left. \frac{\partial W}{\partial X} \right|_{\frac{\wedge}{W}}$  კონდუქტორების ნომინალური მგრძნობიარობაა  $X$  ინფორმაციული პარამეტრის მიმართ. მაშინ (2.5) და (2.6) გამოსახულებებიდან მივიღებთ:

$$\Delta X = \frac{\Delta W}{S(X)} = \frac{1}{S(X)} [S(\bar{X}_n) \Delta \bar{X}_n + S(\bar{U}) \Delta \bar{U} + S(\xi) \xi]. \quad (2.7)$$

გარდა გაზომვათა ცდომილებებისა, არსებობს დამატებითი კრიტერიუმები, რომლებიც მიისწრაფვიან, ანალიზისა და კონდუქტორების საშუალებების პრექტირებისას, აამაღლონ გაზომვის ხდები.

მზომი გარდამსახის მაქსიმალური მგრძნობიარობისა და სტატიკური მახასიათებლის წრფივობის კრიტერიუმები ხშირად გამოიყენება გაზომვის საშუალებათა პროექტირებისა და ანალიზის ამოცანებში; თუმცადა თითქმის ყოველთვის, სწრაფვა მგრძნობიარობის ამაღლებისათვის, იწვევს მეტროლოგიური მაჩვენებლების გაუარესებას, რაც აღნიშნული მაჩვენებლის ყველაზე დიდი ნაკლია.

სიზუსტის კლასი – გაზომვის საშუალებების გაფართოებული მახასიათებელი, განისაზღვრება დაშვებადი ძირითადი და დამატებითი ცდომილებების საზღვრებით, ასევე გაზომვის საშუალებების სხვა თვისებებით, რომლებიც გავლენას ახდენენ სიზუსტეზე. ამ საზღვრების

მნიშვნელობები დგინდება გაზომვის საშუალებების ცალ-ცალკე სახეების სტანდარტებზე.

ოპტიმალურობის არცოუ ნაკლებ კრიტერიუმად წარმოგვიდგება  $\Delta\Theta$  – ეკონომიური ეფექტურობა, რაც მრეწველობაში ხელსაწყოს გამოყენების კრიტერიუმია. ეკონომიური ეფექტი მიიღწევა მეტროლოგიური, ხარისხობრივი მაჩვენებლების გაუმჯობესების ხარჯზე, გაზომვის ხერხების ოპტიმალური პროექტირებისას და განისაზღვრებიან შემდეგნაირად:

$$\Delta\Theta = \sum_t^n \Delta\Theta_t = \sum_t^n k_t(I_t^* - I_t) + \sum_t^n k_t(I_t - I_t^*) \quad (2.8)$$

სადაც  $-k_t - I_t^*$  მაჩვენებლის ფულადი ღირებულებაა,  $I_t^*, I_t -$  ანალოგისა და საკვლევი ხელსაწყოს მაჩვენებლები შესაბამისად.

$k_t$ კოეფიციენტი განისაზღვრება პროდუქციის ღირებულებით, რომლის წარმოება კონტროლირდება ხელსაწყოთი.  $\Delta\Theta$  კრიტერიუმის ოპტიმიზაციისას უკეთესად მიიჩნევა ის ხელსაწყო, რომელიც იძლევა მაქსიმალურად დამატებით ეფექტს მისი მრეწველობაში რეალიზაციისას, ხარისხის მაჩვენებლების გაუმჯობესების ხარჯზე, ტექნიკურ მოთხოვნილებებთან შედარებით.

კონდუქტორმეტრების პროექტირებისას ყოველი აღწერილი კრიტერიუმიდან საყურადღებოა ის, რომელთა დანიშნულება მდგომარეობს კონკრეტული ტექნიკური ამოცანების ამოხსნაში, ამიტომ მათგანმატებული მოდელების შემდგომი ანალიზისას, გამოვიყენებო შემთხვევითი ცდომილების მაჩვენებლებს, ასევე მაჩვენებლებს საშუალო კვადრატული ცდომილებისას, რომელთაც თავიანთ თავს კარგი რეკომენდაცია გაუწიეს ანალიტიკური ხელსაწყოების ანალიზისას, იყენებდნენ რა სხვადასხვა ფიზიკურ მეთოდებს: ადსორბციას, ფლიუორიმეტრულს, კონდუქტორმეტრულს.

## 2.2. ტრანსფორმატორული კონდუქტომეტრების ბაზისური სქემების სტატიკური მახასიათებლების აგება

მოცემულ პარაგრაფში განვსაზღვროთ ტრანსფორმატორულ კონდუქტომეტრიაში შედარებით ხშირად გამოყენებადი სქემები, შევადგინოთ მათთვის მათემატიკური მოდელები და სტატიკური მახასიათებლების მათემატიკური მოდელები შემდგომი ანალიზისა და პარამეტრული ოპტიმიზაციის ჩატარებისათვის. ნაშრომში [8] ორმაგტრანსფორმატორული კონდუქტომეტრისათვის მათემატიკური მოდელი წარმოდგენილია შემდეგი სახით:

$$I_p = \frac{\chi W_1 U}{W_2 K_p} \quad (2.9)$$

სადაც,  $I_p$ -არის დენი თხევადურ ხვიაში,  $U$  – გენერატორის კვების ძაბვა,  $W_1$  –  $T_1$  ტრანსფორმატორის პირველადი გრაგნილის ხვიათა რიცხვი,  $W_2$  –  $T_1$  ტრანსფორმატორის მეორადი გრაგნილის ხვიათა რიცხვი,  $K_p$  – უჯრედის მუდმივა,  $\chi$ -სითხის კუთრი ელექტროგამტარებლობა.

ამგვარ მათემატიკურ მოდელებში არ არის გათვალისწინებული ინდუქციურობის, ურთიერთინდუქციურობის, თხევადი ხვიის ტევადობის და სხვა პარამეტრები, რომელთა გარეშეც შეუძლებელია შესრულდეს სრული პარამეტრული ოპტიმიზაცია. გარდა ამისა, მრავალგრაგნილიანი ტრანსფორმატორული სქემებისათვის (ნახ. 2.3), არ შეიძლება გამოვიყენოთ მათემატიკური სქემები, რომლებიც ორგრაგნილიანი ტრანსფორმატორებისათვის არის დაწერილი, რადგანაც ამ მოდელზე გათვლილ ხელსაწყოებს გააჩნიათ მნიშვნელოვანი ცდომილებანი. ამიტომაც, შემუშავებული კონდუქტომეტრების ხარისხობრივი მახასიათებლების ამაღლებისათვის, აუცილებელია გავითვალისწინოთ ცდომილებების ყველა შესაძლო წყარო, რისთვისაც შემუშავებულ იქნა მათემატიკური მოდელები ყველა, შედარებით გავრცელებული ტრანსფორმატორული კონდუქტომეტრების სქემებისა-თვის [28,29].

ძირითად სტრუქტურულ სქემებზე, რომლებიც წარმოდგენილია ნახ.2.3-ზე არის შემდეგი აღნიშვნები:  $L_1, L_2, L_3, L_4, L_5, L_6$  – ტრანსფორმატორის გრაგნილების ინდუქციურობები;  $M_{1,2}; M_{1,5}; M_{2,5}; M_{3,4}; M_{3,6}; M_{4,6}$  – ტრანსფორმატორის გრაგნილებს შორის ურთიერთინდუქციურობები;  $Z$  – საკვლევი ხსნარის იმპედანსი, რომელსაც გააჩნია აქტიური –  $R_x$  და რეაქტიული –  $X$  მდგენელები;  $C_p$  – თხევადი ხვის ტევადობა;  $R_d$  – მეორე ტრანსფორმატორის გამოსავალი გრაგნილის დატვირთვის წინაღობა;  $R_g$  – მზომი რეზისტორი ცნობილი წინაღობით.

ერთტრანსფორმატორიანი კონდუქტორების (ნახ.2.3.ა,ბ) განსხვავებულ თავისებურებად გვევლინება ის, რომ გაზომვებს აწარმოებენ ტრანსფორმატორის მკვებავ გრაგნილზე. გაზომვები შეიძლება ჩავატაროთ ტრანსფორმატორის პირველად გრაგნილზე დენის გაზომვით (ნახ.2.3.ა) ან ტრანსფორმატორის პირველად გრაგნილზე ძაბვის ვარდნის გაზომვით (ნახ. 2.3.ბ). როგორც წესი, ერთტრანსფორმატორიან კონდუქტორებში იყენებენ უშუალო შეფასების მეთოდს, რომლის დროსაც მზომი სიდიდე, მოცემულ შემთხვევაში ელექტროგამტარებლობა, გარდაიქმნება მოწყობილობის გამოსავალ სიგნალად, ძაბვა –  $U$ , ან დენი –  $I$ , გამოიყენება შემდეგ სქემებში (ნახ. 2.3.ა,ბ,გ,დ). უშუალო შეფასების მეთოდის ნაკლად ჩაითვლება მზომი წრედის დამოკიდებულება კვების სტაბილურობაზე [16]. ძირითად დირსებად კი, შეიძლება მივიჩნიოთ მოწყობილობის აპარატურული გაფორმების სიმარტივე და შესაბამისად მოწყობილობის საიმედოობა.

სტატიკური მახასიათებლის მათემატიკურ მოდელს, ერთტრანსფორმატორიანი კონდუქტორებისათვის, დაფუძნებულს გაზომვის პირდაპირ მეთოდზე, მივიღებთ შემდეგი განტოლებათა სისტემის ამოხსნისას:

$$\begin{cases} I_1 R_1 + I_1 j\omega L_1 + I_2 j\omega M_{1,2} = U \\ I_2 Z_p + I_2 j\omega L_2 + I_1 j\omega M_{1,2} = 0 \end{cases} \quad (2.10)$$

ნახ.2.3ა-ზე გამოსახული სქემისათვის, კუთრი ელექტროგამტარებლობა  $L_1$  ინდუქციურობაზე ძაბვის ვარდნის მიხედვით ტოლია:

$$U_{L1} = U \left[ \frac{R+R'}{(R+R')^2 + \omega^2(L_1-L')^2} + j\omega \frac{L_1-L'}{(R+R')^2 + \omega^2(L_1-L')^2} \right] \quad (2.11)$$

$$\text{სადაც, } R' = \frac{\omega^2 M_{1,2}^2 R}{R^2 + (\omega L_2 - X)^2} \quad (2.12)$$

$$L' = \frac{\omega^2 M_{1,2}^2 (\omega L_2)}{R^2 + \omega^2 L_2^2} \quad (2.13)$$

პირველადი გარდამქმნელის  $Z_P$  იმპედანსის მდგენელი, რომელიც გამოსახულია პირველადი საზომი გარდამსახის მუდმივათი  $-A$ , საკვლევი სითხის კუთრი ელექტროგამტარებლობით  $-\chi$  და მისი ფარდობითი დიელექტრიკული შეღწევადობით  $-\varepsilon$ , ტოლია:

$$R_X = A \frac{\chi}{\chi^2 + (\omega \varepsilon_0 \varepsilon)^2} \quad (2.14)$$

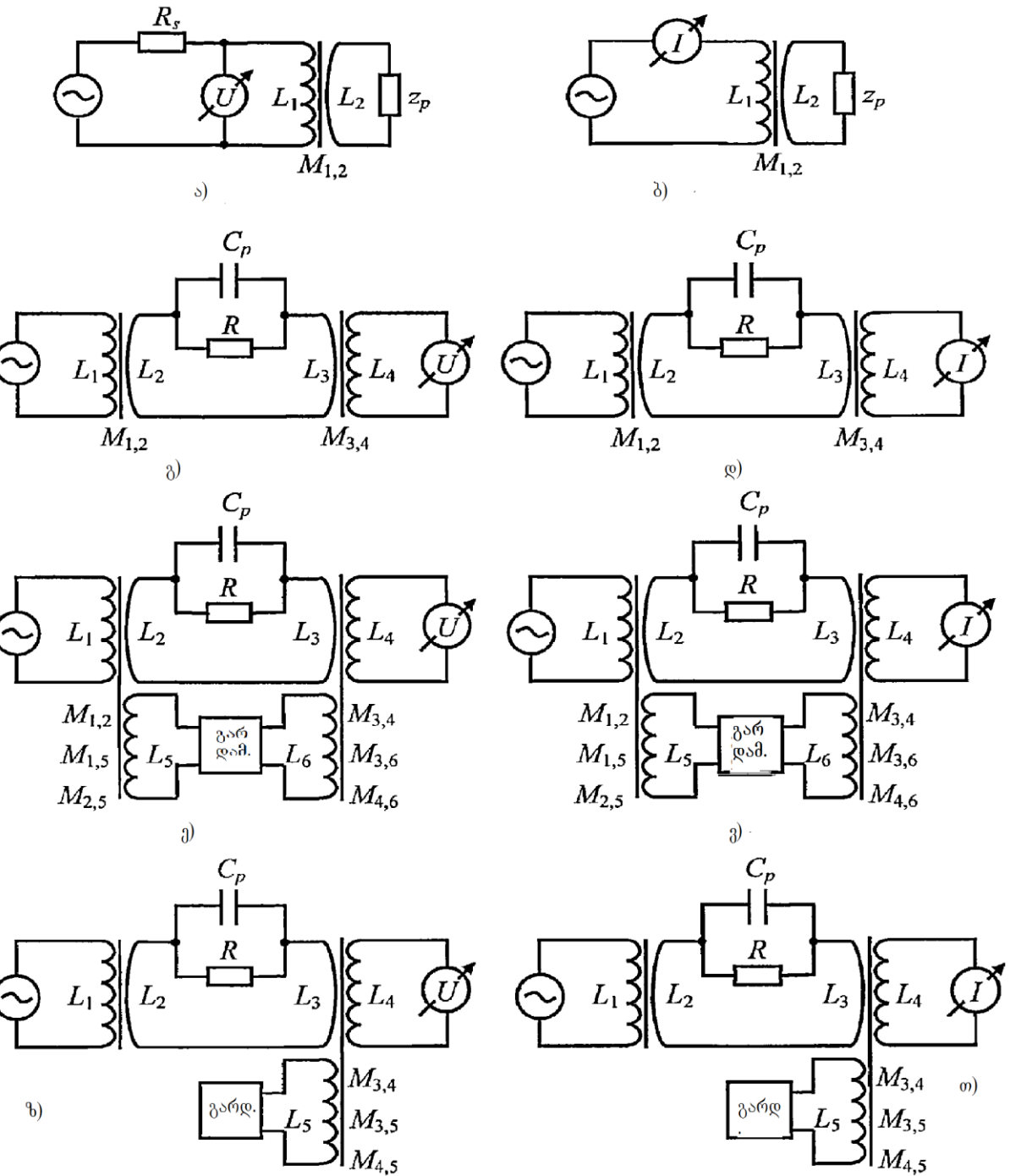
$$X = A \frac{\omega \varepsilon \varepsilon_0}{\chi^2 + (\omega \varepsilon_0 \varepsilon)^2} \quad (2.15)$$

კუთრი ელექტროგამტარებლობის შეფასებისას დენის მიხედვით  $L_1$  ინდუქციურობაზე და პირობითი  $R_1 = 0$  დროს, დენი ტოლი იქნება:

(2.16)  $I_1 = U \left[ \frac{R'}{(R')^2 + \omega^2(L_1-L')^2} - j\omega \frac{L_1-L'}{(R')^2 + \omega^2(L_1-L')^2} \right]$

ორტრანსფორმატორიანი კონდუქტორმეტრები ერთმანეთთან დაკავშირებულნი არიან საკვლევი სენარიო, რაც მათ განმასხვავებელ განსაკუთრებულობად გვევლინება (ნახ. 2.3გ, დ, ე, გ, ზ, თ). პირველი ტრანსფორმატორი წარმოადგენს მკვებავს, აინდუცირებს მაგნიტურ ველს თხევად ხვიაზე, ხოლო მეორე ტრანსფორმატორი კი მზომია, რომლის მკვებავ გრაგნილს წარმოადგენს თხევადი ხვიის მილი საკვლევი სენარიო.

ორტრანსფორმატორიან კონდუქტორმეტრებში გამოიყენება უშუალო შეფასების მეთოდი, კომპენსაციური და შედარების მეთოდი.



ნახ.2.3 ტრანსფორმატორული კონდუქტორების სქემები.

უშუალო შეფასების მეთოდზე დაფუძნებული  
ორტრანსფორმატორიანი კონდუქტორების სტრუქტურული სქემები  
მოყვანილია ნახ.2.3გ,დ. ასეთი ტრანსფორმატორების მათემატიკური  
მოდელი მიიღება განტოლებათა შემდეგი სისტემიდან:

$$\begin{cases} I_1 j \omega L_1 + I_\chi j \omega M_{1,2} = U_1 \\ I_\chi R_\chi + I_\chi j \omega L_\chi + I_1 j \omega M_{1,2} + I_2' j \omega M_{3,4} = 0 \\ I_2' R_2' + I_2' j \omega L_4 + I_\chi j \omega M_{3,4} = 0 \end{cases} \quad (2.17)$$

სადაც,  $I_\chi$ ,  $R_\chi$  – დენი და წინადობაა თხევად ხვიაში

$I_2'$ ,  $R_2'$  – დენი და წინადობა მეორე ტრანსფორმატორის მეორად გრაგნილზე

$L_\chi$  – სითხიანი ხვიის ინდუქტიურობა,  $L_\chi = L_1 + L_2$

$$\text{თუ } R_2' \text{ ჩავთვლით რომ, } L_{\chi\Sigma} = L_\chi - \frac{M_{1,2}^2}{L_1} \text{ მაშინ,}$$

$$\begin{aligned} I_2' &= \omega^2 \frac{U_1 M_{1,2} M_{3,4} (L_4 R_\chi + L_{\chi\Sigma} R_2')}{L_1 [(R_2' R_\chi + \omega^2 M_{3,4}^2 - L_{\chi\Sigma} L_4^2 \omega^2)^2 + \omega^2 (L_4 R_\chi + L_{\chi\Sigma} R_2')^2]} + \\ &+ j\omega \frac{U_1 M_{1,2} M_{3,4} (R_2' R_\chi + \omega^2 M_{3,4}^2 - L_{\chi\Sigma} L_4 \omega^2)}{L_1 [(R_2' R_\chi + \omega^2 M_{3,4}^2 - L_{\chi\Sigma} L_4^2 \omega^2)^2 + \omega^2 (L_4 R_\chi + L_{\chi\Sigma} R_2')^2]} \end{aligned} \quad (2.18)$$

სადაც,  $U_1$  – ძაბვაა პირველი ტრანსფორმატორის პირველ გრაგნილზი. თუ ინფორმაციულ პარამეტრად მიღებულია დენი გამოსავალ გრაგნილზი, ამასთან  $R_2' = 0$ , მაშინ

$$I_2' = \frac{U_1 M_{1,2} M_{3,4} (L_4 R_\chi)}{L_1 [(M_{3,4}^2 - L_4 L_{\chi\Sigma})^2 + (L_4 R_\chi)^2]} + j\omega \frac{U_1 M_{1,2} M_{3,4} (M_{3,4}^2 - L_{\chi\Sigma} L_4)}{L_1 [(M_{3,4}^2 - L_4 L_{\chi\Sigma})^2 + (L_4 R_\chi)^2]}$$

(2.19)

თუ ინფორმაციულ სიგნალი მივიღებთ გამოსავალ ძაბვას, მაშინ  $R_2' \gg Z_P$  შემთხვევაში იგი ტოლი იქნება:

$$U_2 = \omega^2 \frac{U_1 M_{1,2} M_{3,4} L_{\chi\Sigma}}{L_1 [(R_\chi^2 + \omega^2 (L_{\chi\Sigma})^2)]} + j\omega \frac{U_1 M_{1,2} M_{2,3} R_\chi}{L_1 [(R_\chi^2 + \omega^2 (L_{\chi\Sigma})^2)]} \quad (2.20)$$

თუ დაწვრილებით განვიხილავთ მიღებულ განტოლებებს და დაგუშვებთ, რომ  $R_\chi = \frac{A}{\chi} \gg X_L, X_M$ , მაშინ (2.20) და (2.21) განტოლებები პირველად საზომ გარდამქმნელზე გამარტივდებიან:

$$I_2' \approx \frac{U_1 M_{1,2} M_{3,4}}{L_1 L_4 A} \chi + j\omega \frac{U_1 M_{1,2} M_{3,4} (M_{3,4}^2 - L_{\chi\Sigma} L_4)}{L_1 (L_4 A)^2} \chi^2 \quad (2.21)$$

$$U_2 \approx \omega^2 \frac{U_1 M_{1,2} M_{3,4} L_{\chi\Sigma}}{L_1 (A)^2} \chi^2 + j\omega \frac{U_1 M_{1,2} M_{2,3}}{L_1 A} \chi \quad (2.22)$$

(2.22) და (2.23) გამოსახულებები შემდგომში გამოყენებულ იქნებიან სტატიკური ანალიზისათვის. გამოსახულებებიდან გამომდინარეობს, რომ თუ ინფორმაციულ პარამეტრად მივიღებთ გამოსავალი დენის აქტიურ მდგენელს, მაშინ არ გვექნება გაზომვის შედეგის დამოკიდებულება კვების ძაბვის სიხშირეზე, ხოლო თუ ინფორმაციულ პარამეტრად მივიჩნევთ ძაბვას, მისი აქტიური მდგენელი დამოკიდებული იქნება კვების ძაბვის სიხშირის კვადრატზე.

მრავალგრაგნილიანი ტრანსფორმატორები წარმოდგენილია ნახ.2.3.ე.ვ, ზ.თ. ისინი გამოიყენებენ გაზომვის კომპენსაციურ მეთოდს, გამოირჩევიან სიზუსტით და არიან სტაბილურები, ამიტომ მსგავს სქემებზე დაფუძნებული კონდუქტორმეტრები გამოიყენებიან აგრესიული გარემოს კონტროლისათვის წარმოებასა და სხვადასხვა ტექნოლოგიურ პროცესებში.

კომპენსაციური მეთოდის არსი მდგომარეობს იმაში, რომ ძაბვის ვარდნა ან დენი, ტრანსფორმატორული კონდუქტორმეტრის თხევად ხვიაში, ნულამდე კომპენსირდება შემხვედრი ძაბვით ან დენით.

არსებული მეთოდის ნაკლი ისაა, რომ აუცილებელია ორი ცვლადი ერთეულის არსებობა, რასაც მივყავართ დროის გაზომვის ზრდასთან, იმდენად რამდენადაც სრული კომპენსაციისათვის მოითხოვება ცვლადი ერთეულის არაერთი ცვლილება [16].

ნახ.2.3.ე.ვ-ზე წარმოდგენილ სქემებში გაზომვის შედეგებზე გავლენას ახდენენ გარდამქმნელის პარამეტრები, სახელდობრ:  $R_1$ -გარდამქმნელის შესავალი წინაღობა,  $k$ -გარდამქმნელის დენის კოეფიციენტი ამ შესავალი წინაღობის გავლით გამოსავალ ძაბვაზე,  $R_2$ - გამოსავალი წინაღობა.

თუ გავითვალისწინებთ, რომ ინდუქციური კონდუქტორმეტრები გამოიყენებიან მაღალი კუთრი ელექტროგამტარებლობის სსნარების გასაზომად, მაშინ საკვლევი სსნარის გამტარებლობის ტევადობითი მდგენელი შეიძლება უგულებელვყოთ. სტატიკური მახასიათებელი ნახ. 2.3.ე.ვ წარმოდგენილი სქემებისთვის შეიძლება მივიღოთ შემდეგი განტოლებათა სისტემის ამოხსნით:

$$\left\{ \begin{array}{l} I_1 j\omega L_1 + I_2 j\omega M_{1,2} + I_5 j\omega M_{1,5} = U \\ R + I_2 j\omega (L_2 + L_3) + I_1 j\omega M_{1,2} + I_5 j\omega M_{2,5} - I_6 j\omega M_{3,6} + I_4 j\omega M_{3,4} = 0 \\ \quad I_5 R_1 + I_5 j\omega L_5 + I_1 j\omega M_{1,5} + I_2 j\omega M_{2,5} = 0 \\ \quad I_6 R_2 + I_6 j\omega L_6 - I_4 j\omega M_{4,6} - I_2 j\omega M_{2,6} = I_5 k \\ I_4 R_3 + I_4 j\omega L_4 + I_2 j\omega M_{3,4} - I_6 j\omega M_{4,6} = 0 \end{array} \right. \quad (2.23)$$

სადაც,  $I_1, I_2, I_3, I_4, I_5, I_6$  – დენტილი შესაბამის ინდუქციურობები  $L_1, L_2, L_3, L_4, L_5, L_6$ ;  $k$  – კომპენსირებადი მოწყობილობის გადაცემის კოეფიციენტი; თუ  $I_1$  გამოვთვლით პირველი განტოლებიდან და ჩავსვამთ დანარჩენში მივიღებთ:

$$\begin{aligned} I_2(R + j\omega(L_2 + L_3) - j\omega \frac{M_{1,2}^2}{L_1}) &= \\ &= \frac{UM_{1,2}}{L_1} - j\omega[-I_5 \frac{M_{1,5}M_{1,2}}{L_1} + I_5M_{2,5} - I_6M_{3,6} + I_4M_{3,4}] \\ I_5[R_1 + \omega L_6 j\omega L_5 - j\omega \frac{M_{1,5}^2}{L_1}] &= - \frac{UM_{1,5}}{L_1} - j\omega[-I_2 \frac{M_{1,5}M_{1,2}}{L_1} + I_2M_{2,5}] \\ I_6(R_2 + j\omega L_6) &= I_5k - j\omega(-I_4M_{4,6} - I_2M_{2,6}) \\ I_4(R_3 + j\omega L_4) + I_2 j\omega M_{3,4} - I_6 j\omega M_{4,6} &= 0 \end{aligned} \quad (2.24)$$

ამ სისტემის ამოხსნა გაადვილდება, თუ მივიღებთ რომ  $R \gg \omega(L_2 + L_3)$  და  $\omega \frac{M_{1,2}^2}{L_1}$ ,  $R_1 \gg \omega L_5$ , ასევე  $\omega \frac{M_{1,5}^2}{L_1}$ ,  $R_2 \gg \omega L_6$ . მაშინ მივიღებთ, რომ ამ დენტილი გამოწეული ძაბვის ვარდნა განისაზღვრება ძირითადად, მხოლოდ მათი აქტიური ნაწილით, ხოლო რეაქტიული მდგრენელი შეიძლება ნულის ტოლად მივიჩნიოთ. მაშინ სისტემას ექნება სახე:

$$\left\{ \begin{array}{l} I_2 R = - \frac{UM_{1,2}}{L_1} \\ I_5 R_1 = - \frac{UM_{1,5}}{L_1} \\ \quad I_6 R_2 = I_5 k \\ I_4(R_3 + j\omega L_4) + I_2 j\omega M_{3,4} - I_6 j\omega M_{4,6} = 0 \\ \text{საიდანაც,} \\ I_4(R_3 + j\omega L_4) - \frac{UM_{1,2}}{L_1 R} j\omega M_{3,4} + \frac{UM_{1,5}k}{L_1 R_1 R_2} j\omega M_{4,6} = 0 \end{array} \right. \quad (2.26)$$

დენის გაზომვისას, ( $R_2' = 0$ ) კონდუქტორის მათემატიკური მოდელი იქნება:

$$I_{\text{გაგ}} = \frac{UM_{1,2}M_{3,4}}{L_1L_4R} - \frac{UM_{1,5}M_{4,6}k}{R_1R_2L_1L_4} \quad (2.27)$$

ამ გამოსახულებიდან ჩანს, რომ გაზომვის შედეგი არ არის დამოკიდებული კვების ძაბვის სიხშირეზე, ხოლო გამოსავალი დენის ფაზათა ძვრა კვების ძაბვასთან შედარებით არ არსებობს.

ამოსავალი ძაბვის გაზომვისას ( $R_2' >> \omega L_4$ ) კონდუქტორის მათემატიკურ მოდელს ექნება სახე:

$$U_{\text{გაგ}} = j\omega \left[ \frac{UM_{1,2}M_{3,4}}{L_1R} - \frac{UM_{1,5}M_{4,6}k}{R_1R_2L_1} \right] \quad (2.28)$$

(2.28) გამოსახულებიდან გამომდინარებს, რომ გამოსავალი ძაბვა დამოკიდებულია კვების ძაბვის სიხშირეზე, ხოლო მისი ფაზა დაძრულია  $90^\circ$ **C** კვების ძაბვასთან შედარებით.

კომპენსაციური მეთოდის დროს გაზომვის პროცესის დასრულების კრიტერიუმად გვევლინება პირობების შესრულება:

$I_{\text{გაგ}}=0, U_{\text{გაგ}}=0$ . იმის გათვალისწინებით, რომ  $R=\frac{A}{\chi}$ , მივიღებთ სტატიკური მახასიათებლის შემდეგ განტოლებებს მზომი წრედის წონასწორობის რეგისტრაციის ორივე პროცესისათვის:

$$\frac{M_{1,2}M_{3,4}\chi R_1R_2L_1}{L_1M_{1,5}M_{4,6}A} = k \quad (\text{პირობა } I_{\text{გაგ}}=0) \quad (2.29)$$

$$\frac{M_{1,2}M_{3,4}\chi R_1R_2L_1}{L_1M_{1,5}M_{4,6}A} = k \quad (\text{პირობა } \text{გაგ}=0) \quad (2.30)$$

როგორც (2.29) და (2.30) გამოსახულებებიდან ჩანს, ორივე განტოლება ერთნაირია ორივე შემთხვევისათვის, ამასთან მზომი გარდამქმნელების რეალიზაცია მათთვის განსხვავებულია. თუ კონდუქტორისათვის გავითვალისწინებთ დამოკიდებულებას მგრძნობიარობასა და კვების ძაბვის სიხშირეს შორის წონასწორობის წერტილში,  $U_{\text{გაგ}}=0$  პირობის დროს, და თუ შემოვიყვანთ დამატებით მოწყობილობებს დისბალანსის მიმართულების განსაზღვრისათვის,

რეალიზაცია ასეთ კონდუქტომეტრებში, ასეთი პირველადი საზომი გარდამქმნელების პირობით –  $I_{\text{გა}}=0$  – შედარებით უფრო მისაღებია.

ნახ.2.3.ზ,თ-ზე მოცემულ სქემებზე განტოლებათა სისტემას, რომელიც აღწერს კონდუქტომეტრის მუშაობას, ექნება შემდეგი სახე:

$$\begin{cases} I_1 j\omega L_1 + I_2 j\omega M_{1,2} = U \\ I_2 R + I_2 j\omega(L_2 + L_3) + I_1 j\omega M_{1,2} + I_4 j\omega M_{3,4} - I_5 j\omega M_{3,5} = 0 \\ I_5 R_1 + I_5 j\omega L_5 - I_2 j\omega M_{3,5} - I_4 j\omega M_{4,5} = kU \\ I_4 R_2 + I_4 j\omega L_4 + I_2 j\omega M_{2,4} + I_5 j\omega M_{4,5} = 0 \end{cases}$$

სისტემის პირველი განტოლებიდან განვსაზღვროთ  $I_1 = \frac{U}{j\omega L_1} - I_2 \frac{M_{1,2}}{L_1}$ ; ჩავსვათ (2.32) სისტემებში და მივიღებთ:

$$\begin{cases} I_2(R + j\omega(L_2 + L_3) - j\omega \frac{M_{1,2}^2}{L_1}) + I_4 j\omega M_{3,4} - I_5 j\omega M_{3,5} = -\frac{UM_{1,2}}{L_1} \\ I_5(R_1 + j\omega L_5) - I_2 j\omega M_{3,5} - I_4 j\omega M_{4,5} = kU \\ I_4 R_2 + I_4 j\omega L_4 + I_2 j\omega M_{2,4} + I_5 j\omega M_{4,5} = 0 \end{cases} \quad (2.32)$$

თუ კონდუქტომეტრის კონსტრუქციისათვის შევასრულებთ პირობას:

$$R \gg \omega(L_2 + L_3) - \omega \frac{M_{1,2}^2}{L_1} \text{ და } R \gg \omega L_5, \text{ მივიღებთ:}$$

$$\begin{cases} I_2 R = -\frac{UM_{1,2}}{L_1} \\ I_5 R_1 = kU \\ (R_2 + j\omega L_4) + I_2 j\omega M_{2,4} - I_5 j\omega M_{4,5} = 0 \end{cases} \quad (2.33)$$

ამ სისტემის ამოხსნისას მივიღებთ განტოლებას, რომელიც აკავშირებს კონდუქტომეტრის გამოსავალ სიგნალს პირველადი საზომი გარდამქმნელის პარამეტრებთან და ასევე საკვლევ ხსნართან:

$$I_4(R_2 + j\omega L_4) - \frac{UM_{1,2}}{L_1 R} j\omega M_{2,4} + \frac{kU}{R_1} j\omega M_{4,5} = 0 \quad (2.34)$$

(2.34) გამოსახულება შეიძლება გამოვიყენოთ შემდგომი ხარისხობრივი ანალიზისას. თუ პირველადი გარდამქმნელის გამოსავალი სიგნალის ნაცვლად გამოიყენება დენი, ანუ  $R_2=0$ , მივიღებთ:

$$I_4 = \frac{UM_{1,2}M_{2,4}}{L_1R_L} - \frac{UM_{4,5}k}{R_1L_4} \quad (2.35)$$

თუ გამოსავალ სიგნალად გვევლინება ძაბვა, ანუ სრულდება პირობა  $R_2 >> \omega L_4$ , მივიღებთ:

$$U_{\delta\theta} = j\omega \frac{UM_{1,2}M_{2,4}}{L_1R} - \frac{UM_{4,5}k}{R_1} \quad (2.36)$$

ისევე როგორც წინა შემთხვევაში, გამოსავალი დენის გაზომვისას, გაზომვის შედეგი არ არის დამოკიდებული პირველადი საზომი გარდამქმნელის კვების ძაბვის სიხშირეზე. გამოსავალი ძაბვის რეგისტრაციისას ეს დამოკიდებულება არსებობს. თუ გამოვიყენებთ გაზომვის კომპენსაციურ მეთოდს, რომლის წონასწორობის კრიტერიუმად გვევლინება  $I_4=0$  და  $U_{\delta\theta}=0$  პირობის შესრულება, ორივე შემთხვევაში სტატიკური მახასიათებლები ერთნაირია და აქვთ სახე:

$$\frac{M_{1,2}M_{2,4}\chi R_1}{L_1M_{4,5}A} = k \quad (2.37)$$

ანალიზის ჩატარებისას არ იყო გათვალისწინებული უქმი სვლის დენის მდგენელები (გულარში აქტიური დანაკარგები) და ხსნარის წინააღმდეგობის რეაქტიული მდგენელი. შეიძლება დავუშვათ, რომ კონდუქტორმეტრებში შედარების არხებისათვის საყრდენი ძაბვა, რომელიც ნახ.2.3.ე,გ-ის სქემების მარეალიზებელია, მიიღება კვების ტრანსფორმატორიდან, ხოლო ნახ.2.3.ტ-ზე წარმოდგენილ კონდუქტორმეტრების მარეალიზებელ სქემებზე, ეს ძაბვა მოდის უშუალოდ გენერატორის გამოსავალიდან. სტატიკური მახასიათებლის საკვლევი გარემოს ტემპერატურის ცვლილება წარმოდგენილია ნახ.2.3.ე,გ-ზე და (2.38) გამოსახულებით, ხოლო ნახ.2.3.ტ,ტ-ზე – (2.39) გამოსახულებით:

$$k = \frac{M_{1,2}[1+\alpha_{1,2}(t-t_0)]\chi M_{3,4}[1+\alpha_{3,4}(t-t_0)]R_1R_2}{M_{1,5}A[1+\alpha_{1,5}(t-t_0)]M_{4,6}[1+\alpha_{4,6}(t-t_0)]} \quad (2.38)$$

$$k = \frac{M_{1,2}[1+\alpha_{1,2}(t-t_0)]M_{2,4}[1+\alpha_{3,4}(t-t_0)]R_1\chi}{L_1[1+\alpha_1(t-t_0)]M_{4,5}[1+\alpha_{4,5}(t-t_0)]A} \quad (2.39)$$

თუ ჩავთვლით, რომ ინდუქციურობისა და ურთიერთინდუქციურობის ცვლილება ძირითადად დამოკიდებულია გულარების მაგნიტური გამტარობის ცვლილებაზე, მაშინ ურთიერთინდუქციურობის ცვლილება ხვიებს შორის, რომლებიც ერთ გულარზეა განლაგებული, ერთნაირია, ე.ი. სრულდება შემდეგი პირობები:  $\alpha_{1,2} = \alpha_{1,5}$ ;  $\alpha_{3,4} = \alpha_{4,6}$ ;  $\alpha_{2,4} = \alpha_{4,5}$ . ამასთან, სტატიკური მახასიათებელი ნახ.2.3.ე.ვ სქემისათვის (2.40) განტოლებითაა წარმოდგენილი, ხოლო ნახ.2.3.ზ.თ სქემისათვის – (2.41) განტოლებით:

$$k = \frac{M_{1,2}\chi M_{3,4}R_1R_2}{M_{1,5}AM_{4,6}} \quad (2.40)$$

$$k = \frac{M_{1,2}[1+\alpha_{1,2}(t-t_0)]\chi M_{2,4}R_1}{L_1A[1+\alpha_1(t-t_0)]M_{4,5}} \quad (2.41)$$

როგორც ჩანს, მიღებული გამოსახულებებიდან, კონდუქტორების გამოსავალი სიგნალი, რომელიც არეალიზებს ნახ.2.3.ე.ვ გამოსახულ სქემას, არ არის დამოკიდებული პირველადი საზომი გარდამქმნელის ტემპერატურაზე, ხოლო ნახ.2.3.ზ.თ სქემაზე გამოსახული კონდუქტორმეტრები არ არის დამოკიდებული ტემპერატურაზე, თუ სრულდება პირობა:  $\alpha_{1,2} = \alpha_1$ .

### 2.3. ტრანსფორმატორული კონდუქტორმეტრების პაზური სქემების სტატიკური მახასიათებლების მათემატიკური მოდელების გამოთვლა

სტატიკური მახასიათებლების მათემატიკურ მოდელს (2.12) დაბვის მიხედვით, ნახ.2.3 ა-ზე გამოსახულ ერთტრანსფორმატორიანი კონდუქტორმეტრის შემთხვევაში, გააჩნია აქტიური (2.42) და რეაქტიული (2.43) მდგენელები:

$$W = \frac{R+R'}{(R+R')^2 + \omega^2(L_1-L')^2} \quad (2.42)$$

$$W = \frac{L_1 - L'}{(R + R')^2 + \omega^2(L_1 - L')^2} \quad (2.43)$$

განვიხილოთ განტოლებები ცალ-ცალკე იმისათვის, რომ განვსაზღვროთ რომელი მდგენელი ახდენს მეტ გავლენას გაზომვის შედეგებზე.

ჩავსვათ (2.12) (2.13) განტოლებები განტოლების აქტიურ მდგენელში:

$$W =$$

$$\begin{aligned} & \frac{R^5 + 2R^3\omega^2L_2^2 + R\omega^4L_2^4 + \omega^2M_{1,2}^2R^3 + \omega^4M_{1,2}^2RL_2^2}{R^6 + 2R^4\omega^2L_2^2 + R^2\omega^4L_2^4 + 2\omega^2M_{1,2}^2R^4 + 2\omega^4M_{1,2}^2RL_2^2 + R^2\omega^4M_{1,2}^4 + R^4\omega^2L_1^2 + 2R^2L_1^2\omega^4L_2^2 + \omega^6L_1^2L_2^4 -} \\ & - 2\omega^5M_{1,2}^2L_2L_1R^2 - 2\omega^7M_{1,2}^2L_2^3L_1 + \omega^8M_{1,2}^4L_2^2 \end{aligned} \quad (2.44)$$

(2.44) გამოსახულება როულია. გამარტივებისათვის დაცუშვათ:

1) რადგან მსგავსი კონდუქტორები გამოიყენებიან კარგად გამტარი ხსნარების კუთრი ელექტროგამტარებლობის გაზომვისათვის, მაშინ ტევადობითი მდგენელი პრაქტიკულად უგულვებელყოფილია, ამიტომ

$$R = \frac{A}{\chi} \quad (2.45)$$

2) მეორე და უფრო მაღალი ხარისხების ურთიერთინდუქციურობები ჩავთვალოთ ნების ტოლად, მაშინ:

$$W = \frac{R^5 + 2R^3\omega^2L_2^2 + R\omega^4L_2^4}{R^6 + 2R^4\omega^2L_2^2 + R^2\omega^4L_2^4 + 2\omega^2M_{1,2}^2R^4 + R^4\omega^2L_1^2 + 2R^2L_1^2\omega^4L_2^2 + \omega^6L_1^2L_2^4} \quad (2.46)$$

საბოლოოდ, გამარტივების შემდეგ (2.44) განტოლება მიიღებს სახეს:

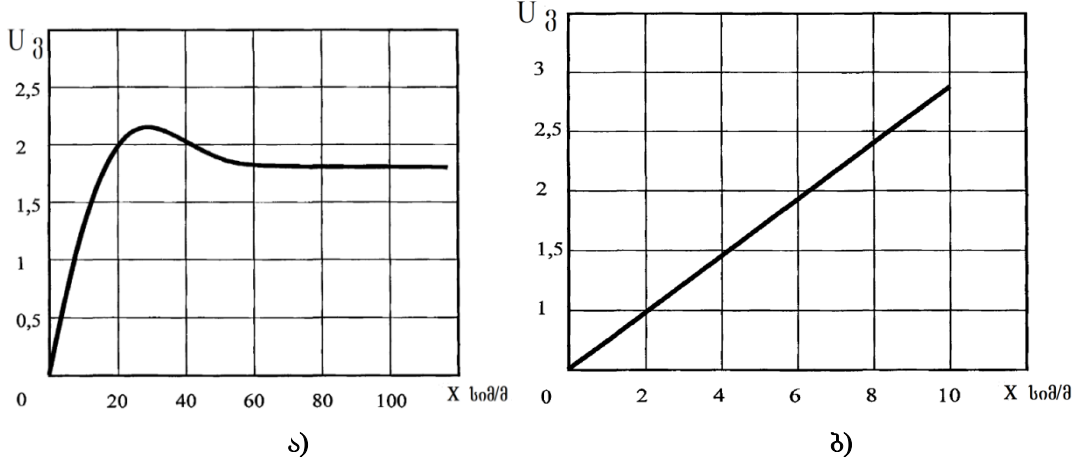
$$W = \frac{R}{R^2 + \omega^2L_1^2} \quad (2.47)$$

(2.47) ჩავსვათ (2.45) და გამარტივების შემდეგ მივიღებთ:

$$W = \frac{A\chi}{A^2 + \chi^2\omega^2L_1^2} \quad (2.48)$$

(2.48) გამოსახულება წარმოადგენს ერთტრანსფორმატორიანი კონდუქტორებისათვის სტატიკური მახასიათებლების მათემატიკურ

მოდელს აქტიური მდგენელისათვის ძაბვის მიხედვით. რომლის მიხედვითაც აგებულია ნახ.2.4-ზე წარმოდგენილი გრაფიკები.



ნახ.2.4. ძაბვის აქტიური მდგენელის კუთრ ელექტროგამტარობაზე დამოკიდებულების გრაფიკები ერთი ტრანსფორმატორის შემთხვევაში: ა- 0,1-100 სიმ/მ დიაპაზონში; ბ- 0,1 - 10 სიმ/მ დიაპაზონში.

ამ გრაფიკებიდან ჩანს, რომ ძაბვის მიხედვით აქტიური მდგრელის ინფორმაციული პარამეტრის სახით გამოყენებისას, სასურველია კონდუქტორმეტრები გამოვიყენოთ გაზომვის ამ დიაპაზონში: 1 – 10 სიმ/მ, რადგანაც სწორედ ამ დიაპაზონში ჩანს წრფივი დამოკიდებულება ძაბვასა და კუთრ ელექტროგამტარობას შორის გაზომვის მთელ დიაპაზონში.

განვიხილოთ (2.43) განტოლების რეაქტიული მდგენელი. ჩავსვათ (2.12) და (2.13) განტოლები (2.43)-ში რეაქტიულ ნაწილში. ჩასმის შემდეგ განტოლებას ექნება სახე:

$$W = \frac{L_1 R^4 + 2 L_1 R^2 \omega^2 L_2^2 + L_1 \omega^4 L_2^4 - \omega^3 M_{1,2}^2 L_2 R^2 - \omega^5 M_{1,2}^2 R L_2^3}{R^6 + 2 R^4 \omega^2 L_2^2 + R^2 \omega^4 L_2^4 + 2 \omega^2 M_{1,2}^2 R^4 + 2 \omega^4 M_{1,2}^2 R L_2^2 + R^2 \omega^4 M_{1,2}^4 + R^4 \omega^2 L_1^2 + 2 R^2 L_1^2 \omega^4 L_2^2 + \omega^6 L_1^2 L_2^4 - 2 \omega^5 M_{1,2}^2 L_2 L_1 R^2 - 2 \omega^7 M_{1,2}^2 L_2^3 L_1 + \omega^8 M_{1,2}^4 L_2^2} \quad (2.49)$$

წინა დაშვებების ანალოგიურად მივიღებთ:

$$W = \frac{L_1 R^4 + 2L_1 R^2 \omega^2 L_2^2 + L_1 \omega^4 L_2^4}{R^6 + 2R^4 \omega^2 L_2^2 + R^2 \omega^4 L_2^4 + R^4 \omega^2 L_1^2 + 2R^2 L_1^2 \omega^4 L_2^2 + \omega^6 L_1^2 L_2^4} \quad (2.50)$$

გამარტივების შემდგომ კი მივიღეთ:

$$W = \frac{L_1}{\omega^2 L_1^2 + R^2} \quad (2.51)$$

(2.51) გამოსახულება ჩავსვათ (2.45), მივიღებთ:

$$W = \frac{\chi^2 L_1}{A^2 + \chi^2 \omega^2 L_1^2} \quad (2.52)$$

(2.52) წარმოადგენს ერთტრანსფორმატორიანი კონდუქტორის სტატიკური მახასიათებლის მათემატიკურ მოდელს რეაქტიული მდგენელისათვის ძაბვის მიხედვით.

რეაქტიული მდგენელის ძაბვის მიხედვით მათემატიკური მოდელის დამოკიდებულების გრაფიკი კუთრ ელექტროგამტარობაზე გამოსახულია ნახ.2.5-ზე. ნახ.2.4.ა და ნახ.2.5.ა გრაფიკებიდან ჩანს, რომ საკვლევი ხსნარის კუთრი ელექტროგამტარობის შეფასებისას, პირველადი საზომი გარდამქმნელის ინდუქციურობაზე ძაბვის გარდნის მიხედვით, ინფორმაციული პარამეტრის სახით სასურველია გამოვიყენოთ რეაქტიული მდგენელი.

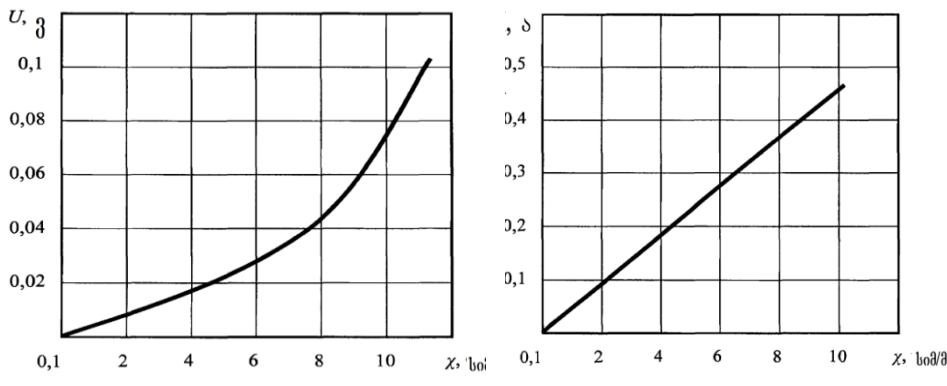
ნახ.2.3.ა სქემისათვის ჩატარებული გამოთვლების ანალოგიურად, გამოვთვალოთ მათემატიკური მოდელები დანარჩენი სქემებისთვისაც. (2.16) განტოლებიდან, ერთტრანსფორმატორიანი კონდუქტორის სქემისათვის, რომელიც დაფუძნებულია გაზომვის პირდაპირ მეოთხე (ნახ.2.3.ბ), კუთრი ელექტროგამტარებლობის შეფასებისას  $L_1$  ინდუქციურობის მიხედვით და  $R_1=0$  პირობით, დენი ტოლია:

$$I_1 = U \left[ \frac{R'}{(R')^2 + \omega^2 (L_1 - L')^2} - j\omega \frac{L_1 - L'}{(R')^2 + \omega^2 (L_1 - L')^2} \right] \quad (2.53)$$

დენის აქტიური მდგენელის მიხედვით მათემატიკური მოდელი ტოლია:

$$W = -\chi M_{1,2}^2 \frac{A}{L_1(2\omega^3 M_{1,2}^2 L_2 \chi^2 - L_1 \omega^2 L_2^2 \chi^2 - L_1 A^2)} \quad (2.54)$$

კუთრ ელექტროგამტარებლობაზე დენის დამოკიდებულების გრაფიკი აქტიური მდგენელის მიხედვით, გამოსახულია ნახ.2.5.ბ-ზე.



ა)

ბ)

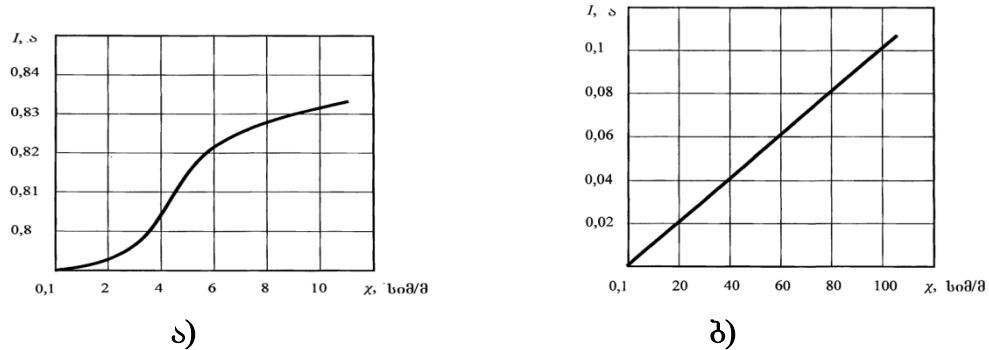
ნახ.2.5. კუთრ ელექტროგამტარობასთან დამოკიდებულების გრაფიკი 0,1-10 სიმ/მ დიაპაზონში: а- ძაბვის რეაქტიული მდგენელის; ბ- დენის აქტიური მდგენელის.

დენის რეაქტიული მდგენელის მიხედვით მათემატიკური მოდელი ტოლია:

$$W = \frac{\omega^3 M_{1,2}^2 L_2 \chi^2 - L_1 \omega^2 L_2^2 \chi^2 - L_1 A^2}{L_1 \omega^2 (2\omega^3 M_{1,2}^2 L_2 \chi^2 - L_1 \omega^2 L_2^2 \chi^2 - L_1 A^2)} \quad (2.55)$$

ერთტრანსფორმატორიანი კონდუქტორებისათვის მიღებული მათემატიკური მოდელის საფუძველზე აგებული დენის რეაქტიული მდგენელის კუთრ ელექტროგამტარებლობასთან დამოკიდებულების გრაფიკი, წარმოდგენილია ნახ.2.6.ა-ზე.

მაშასადამე, პირველადი საზომი გარდამქმნელის გავლით საკვლევი ხსნარის კუთრი ელექტროგამტარებლობის დენით შეფასებისას სასურველია ინფორმაციული პარამეტრის სახით გამოვიყენოთ ამ დენის აქტიური მდგენელი.



ნახ.2.6.ა - დენის რეაქტიული მდგენელის კუთრ ელექტროგამტარობასთან დამოკიდებულების გრაფიკი 0,1-10 სიმ/მ დიაპაზონში

ერთტრანსფორმატორიან კონდუქტორმეტრებში; ბ- დენის რეაქტიული მდგენელის კუთრ ელექტროგამტარობასთან დამოკიდებულების გრაფიკი 0,1-100 სიმ/მ დიაპაზონში ორტრანსფორმატორიან კონდუქტორმეტრებში

როგორც წესი, მსგავს მოწყობილობებს აქვთ დაბალი მგრძნობიარობა და გაზომვის ვიწრო დიაპაზონი 0,1 – 10 სიმ/მ, ამიტომ მათ ძირითადად გამოიყენებენ სიგნალიზატორების სახით ხსნარებში, მარილებში და მაღალი კუთრი ელექტროგამტარებლობის ელექტროლიტებში.

მიკროპროცესორული ტექნიკის მსგავს მოწყობილობებში გამოყენება საშუალებას გვაძლევს გავაფართოვოთ გაზომვის დიაპაზონი 100 სიმ/მ – მდე, თუმცადა უფრო მიზანმიმართულია გამოვიყენოთ ორტრანსფორმატორიანი სქემები, სადაც გასაზომი და მკვებავი ხვიები დაყოფილია, რის გამოც მისი სტატიკური მახასიათებელი წრფივია დიაპაზონში 0,1–100 სიმ/მ. (2.30) გამოსახულებიდან მივიღებთ სტატიკური მახასიათებლების მათემატიკურ მოდელს დენის მიხედვით, აქტიური მდგენელისათვის:

$$W = \frac{\chi^{U_1 M_{1,2} M_{3,4}}}{L_1 L_4 A} \quad (2.56)$$

ნახ.2.6.ბ-ზე წარმოდგენილია დენსა და კუთრ ელექტროგამტარებლობას შორის, დამოკიდებულების გრაფიკი ორტრანსფორმატორიანი კონდუქტორმეტრებისათვის მათემატიკური მოდელის აქტიური მდგენელისათვის.

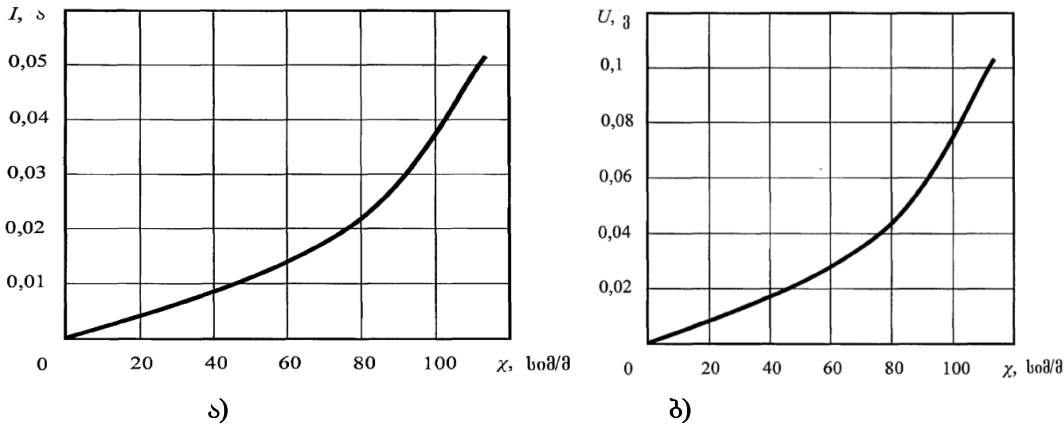
რეაქტიული მდგენელია:

$$W = \frac{\chi^2 U_1 M_{1,2} M_{3,4} L_{\chi, \Sigma}}{L_1 L_4 A^2} \quad (2.57)$$

ამ მათემატიკური მოდელის მიხედვით, ორტრანსფორმატორიანი კონდუქტორმეტრებისათვის დენის რეაქტიული მდგენელის კუთრ ელექტროგამტარებლობაზე დამოკიდებულების გრაფიკი წარმოდგენილია ნახ.2.7.ა-ზე.

თუ ინფორმაციული პარამეტრის სახით გამოვიყენებთ ძაბვის აქტიურ მდგენელს, მაშინ (2.23) მათემატიკურ მოდელიდან მივიღებთ:

$$W = \frac{\omega^2 \chi^2 U_1 M_{1,2} M_{3,4} L_{\chi, \Sigma}}{L_1 A^2} \quad (2.58)$$



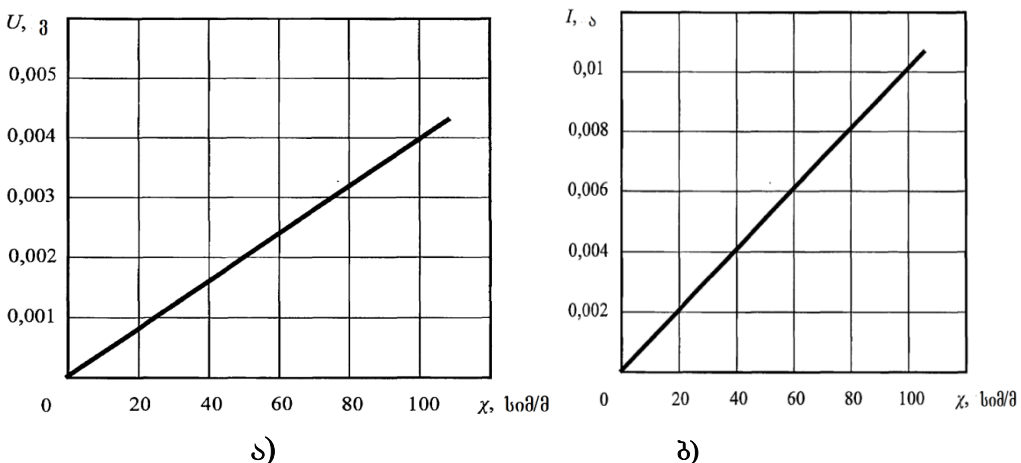
ნახ.2.7. ორტრანსფორმატორიანი კონდუქტორებისათვის: ა- დენის რეაქტიული მდგენელისა და ბ- ძაბვის აქტიური მდგენელის გუთრ ელექტროგამტარობასთან დამოკიდებულების გრაფიკი 0,1-100 სიმ/ზ დიაპაზონში.

ამ მათემატიკური მოდელის მიხედვით, ორტრანსფორმატორიანი კონდუქტორებისათვის ძაბვის აქტიური მდგენელის კუთრ ელექტროგამტარებლობაზე დამოკიდებულების გრაფიკი წარმოდგენილია ნახ.2.7.ბ-ზე.

ძაბვის რეაქტიული მდგენელისათვის გვექნება:

$$W = \frac{\chi U_1 M_{1,2} M_{2,3}}{L_1 A} \quad (2.59)$$

ამ მათემატიკური მოდელის მიხედვით, ორტრანსფორმატორიანი კონდუქტორებისათვის ძაბვის რეაქტიული მდგენელის კუთრ ელექტროგამტარებლობაზე დამოკიდებულების გრაფიკი წარმოდგენილია ნახ.2.8.ა-ზე.



ნახ.2.8. ა- ორტრანსფორმატორიანი რეაქტიული მდგენელისა კონდუქტორებისათვის ძაბვის და ბ-მრავალგრაგნილიანი

კონდუქტომეტრებისათვის დენის აქტიური და რეაქტიული მდგენელების გუთო ელექტროგამტარობასთან დამოკიდებულების გრაფიკი 0,1-100 სიმ/მ დიაპაზონში.

(2.56) და (2.57) ფორმულებიდან ჩანს, რომ ინფორმაციული პარამეტრის სახით გამოსავალი დენის გამოყენებისას, მისი აქტიური მდგენელი პროპორციული იქნება საკვლევი ხსნარის კუთრი ელექტროგამტარებლობისა, ხოლო რეაქტიული მდგენელი მისი კუთრი ელექტროგამტარებლობის კვადრატისა.

თუკი ინფორმაციული პარამეტრის სახით გამოიყენება პირველადი საზომი გარდამქმნელის გამოსავალი ძაბვა, მაშინ ამ ძაბვის აქტიური მდგენელი პროპორციულია საკვლევი ხსნარის კუთრი ელექტროგამტარებლობის კვადრატისა (2.58), ხოლო მისი რეაქტიული მდგენელი ამ სითხის კუთრი ელექტროგამტარებლობისა (2.59).

გრაფიკებიდან ჩანს, რომ უშუალო შეფასების გამოყენებისას, ორტრანსფორმატორიანი კონდუქტომეტრები ფლობენ გაზომვების გაცილებით ფართო დიაპაზონს ერთტრანსფორმატორებიანებთან შედარებით და საშუალებას იძლევიან გავზომოთ კუთრი ელექტროგამტარებლობა დიაპაზონში – 1-100 სიმ/მ. შესანიშნავი შედეგები იქნა მიღებული სქემებისთვის – ნახ.2.3 ე,გ,ზ,თ. კომპენსაციური მეთოდის გამოყენება საშუალებას გვაძლევს მივიღოთ წრფივი სტატიკური მახასიათებლები გაზომვის ყველა დიაპაზონზე, მათემატიკური მოდელების როგორც აქტიური ისე რეაქტიული მდგენელებისათვის.

ნახ.2.3.ე-ზე გამოსახული მრავალგრაგნილიანი ტრანსფორმატორული კონდუქტომეტრის დენის აქტიური მდგენელისათვის მათემატიკური მოდელი მიიღება (2.27) – გამოსახულებიდან:

$$W = \frac{\chi U_1 M_{1,2} M_{3,4}}{L_1 L_4 A} \quad (2.60)$$

დენის რეაქტიული მდგენელისათვის კი (2.27) გამისახულებაში k-ს ნაცვლად ჩაგვათ (2.30) გამოსახულება და მივიღებთ:

$$W = \frac{\chi U_1 M_{1,2} M_{3,4}}{L_1 L_4 A} \quad (2.61)$$

მრავალგრაგნილიანი კონდუქტომეტრებისათვის დენის ელექტროგამტარობაზე დამოკიდებულების გრაფიკები აქტიური და

რეაქტიული მდგენელების მიმართ ერთნაირია და წარმოდგენილია ნახ.2.8.ბ-ზე.

ძაბვის აქტიური მდგენელის ინფორმაციული პარამეტრის სახით გამოყენების შემთხვევაში მათემატიკურ მოდელს მივიღებთ (2.28) გამოსახულებიდან:

$$W = \frac{\chi U_1 M_{1,2} M_{3,4}}{L_1 A} \quad (2.62)$$

ხოლო რეაქტიული მდგენელის მისაღებად კი (2.28) გამოსხულებაში  $k$ -ს ნაცვლად ჩავსვათ (2.30) გამოსახულება; მივიღებთ:

$$W = \frac{\chi U_1 M_{1,2} M_{3,4}}{L_1 A} \quad (2.63)$$

მრავალგრაგნილიანი კონდუქტორმეტრებისათვის ძაბვის ელექტროგამტარობაზე დამოკიდებულების გრაფიკები აქტიური და რეაქტიული მდგენელების მიმართ ერთნაირია და წარმოდგენილია ნახ.2.9.ა-ზე.

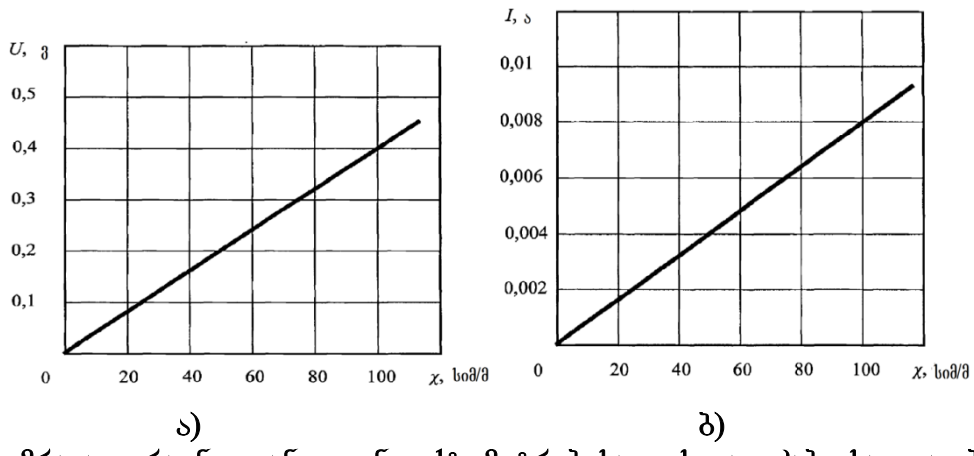
(2.35) გამოსახულებიდან მივიღებთ სტატიკური მახასიათებლების მათემატიკურ მოდელებს დენის მიხედვით აქტიური მდგენელებისათვის:

$$W = \frac{\chi U_1 M_{1,2} M_{2,4}}{L_1 L_4 A} \quad (2.64)$$

რეაქტიულისათვის კი,  $k$ -ს ნაცვლად (2.35) გამოსახულებაში ჩავსვათ (2.37) გამოსახულება და მივიღებთ:

$$W = \frac{\chi U_1 M_{1,2} M_{2,4}}{L_1 L_4 A} \quad (2.65)$$

მრავალგრაგნილიანი კონდუქტორმეტრებისათვის დენის ელექტროგამტარობაზე დამოკიდებულების გრაფიკები აქტიური და რეაქტიული მდგენელების მიმართ ერთნაირია და წარმოდგენილია ნახ.2.9.ბ-ზე



ნახ.2.9. მრავალგრაგნილიანი კონდუქტორებისათვის: а- ძაბვისა და ბ- დენის აქტიური და რეაქტიული მდგენელების კუთრ ელექტროგამტარობაზე დამოკიდებულების გრაფიკები 0,1-100 სიმ/მ დიაპაზონში.

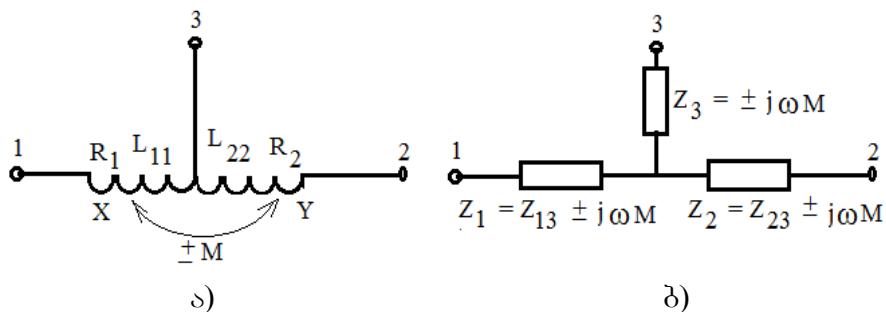
## 2.4. ტრანსფორმატორული საზომი ბოგას ეპვიგალენტური სქემა მჭიდრო ინდუქციური კავშირით.

ორ ინდუქციურ  $L_{11}$  და  $L_{22}$  კოჭას შორის კავშირი, როგორც ცნობილია, ხასიათდება კოჭების ურთიერთინდუქციურობით  $M$ -ითა და კავშირის კოეფიციენტით  $K_C = M / \sqrt{L_{11}L_{22}}$ , რომლის მნიშვნელობა შეიძლება იყოს საზღვრებში  $0 \leq K_C \leq 1$ . კავშირს ეწოდება მჭიდრო იმ შემთხვევაში, თუ  $K_C$  კოეფიციენტის მნიშვნელობა ძალიან მცირედ განსხვავდება ერთისაგან, ანუ როცა შეიძლება მივიღო, რომ  $M = \sqrt{L_{11}L_{22}}$ . კოჭებს შორის მჭიდრო ინდუქციური კავშირი მიიღწევა როგორც საერთო მაგნიტურ გამტარზე მათი დახვევით, ისე დახვევის სპეციალური სახეების გამოყენებითა და კოჭების დახვეული გრაგნილების სპეციალური კომპენსაციური ჩართვით.

მჭიდრო ინდუქციური კავშირის მქონე ელემენტებიანი სქემები ყველაზე ხშირად გამოიყენება ისეთი ბოგური სქემების ანალიზის დროს, რომლებიც შეიცავენ ორ ინდუქციურად დაკავშირებულ ელემენტს და გააჩნიათ საერთო კვანძი (მხრების ელემენტების ავტოტრანსფორმატორული ჩართვა) და იშვიათად სამი მჭიდრო

ინდუქციური კავშირის მქონე ელემენტის დროს (მხრების ელემენტების გრანსფორმატორული ჩართვა).

ლიტერატურაში [30] მოყვანილია, რომ ორი ინდუქციურად დაკავშირებული ელემენტისათვის, რომელთაც გააჩნიათ საერთო კვანძი (ნახ.2.10.ა), ეპვიგალენტური სქემა წარმოდგენილია წინადობათა სამსხივიანი ვარსკვლავით (ნახ.2.10.ბ), სადაც,  $\underline{Z}_{13} = R_1 + j\omega L_{11} - 1 - 3$  გრაგნილის კომპლექსური წინადობაა, რომლის საკუთარი ინდუქციურობაა  $L_{11}$ , ხვიათა რიცხვი  $N_1$  და აქტიური წინადობა  $R_1$ ;  $\underline{Z}_{23} = R_2 + j\omega L_{22} - 2 - 3$  გრაგნილის კომპლექსური წინადობაა, რომლის საკუთარი ინდუქციურობაა  $L_{22}$ , ხვიათა რიცხვი  $N_2$  და აქტიური წინადობა  $R_2$ ;  $M = K_C \sqrt{L_{11}L_{22}}$  -კოჭებს შორის ურთიერთინდუქციურობის კოეფიციენტია, რომელთა შორის კავშირის კოეფიციენტია  $K_C$ .



ნახ.2.10. ა- საერთო კვანძის მქონე ინდუქციურად დაკავშირებული ელემენტები; ბ- მათი ეპვიგალენტური სქემა.

როცა  $R_1=R_2=0$  და  $K_C=1$ , მაშინ სამსხივიანი ვარსკვლავის წინადობები იღებენ შემდეგ მნიშვნელობებს:

$$\underline{Z}_1 = j\omega(L_{11} \pm M); \quad \underline{Z}_2 = j\omega(L_{22} \pm M); \quad \underline{Z}_3 = \pm j\omega M; \quad (2.66)$$

სადაც,  $M = \sqrt{L_{11}L_{22}}$ ;  $\underline{Z}_1, \underline{Z}_2, \underline{Z}_3$  წინადობებს შორის (2.66)-ის შემთხვევაში სრულდება პირობა:

$$\underline{Z}_3 = -\underline{Z}_1\underline{Z}_2 / (\underline{Z}_1 + \underline{Z}_2) \quad (2.67)$$

ანუ მოცემულია ორგრაგნილა ტრანსფორმატორული ბოგირის წონასწორობის პირობა:

$$\underline{Z}_1\underline{Z}_2 + \underline{Z}_2\underline{Z}_3 + \underline{Z}_3\underline{Z}_1 = 0 \quad (2.68)$$

რეალურ პირობებში კოჭებს გააჩნიათ აქტიური წინადობები, რომლებიც განსხვავებულია ნულისაგან  $R_1 \neq 0$  და  $R_2 \neq 0$ . ამ შემთხვევაში

სამსხივიანი გარსკვლავის წინაღობები [41]-ის შესაბამისად მიიღებენ შემდეგ მნიშვნელობებს:

$$Z_1 = R_1 + j\omega(L_{11} \pm M); Z_2 = R_2 + j\omega(L_{22} \pm M); Z_1 = \pm j\omega M; \quad (2.69)$$

ამ დროს (2.68) პირობა ფიზიკურ აზრს მოკლებულია, რადგან  $\text{Re}[Z_1 Z_2] > 0$ ,  $\text{Re}[Z_2 Z_3] > 0$ ;  $\text{Re}[Z_3 Z_1] > 0$ . ამ დადებითი რიცხვების ჯამი არ შეიძლება იყოს ნულის ტოლი. (2.68) გამოსახულებაში გათვალისწინებული არ არის მესამე მკვებავი გრაგნილის გავლენა (რომლის გარეშეც ბოგა არ მუშაობს) ბოგას მხრების წინაღობაზე.

რეალური ფიზიკური პროცესების შესაბამისი უმარტივესი ტრანსფორმატორული საზომი ბოგირის სქემა მოცემულია ნახ.2.11.ა.

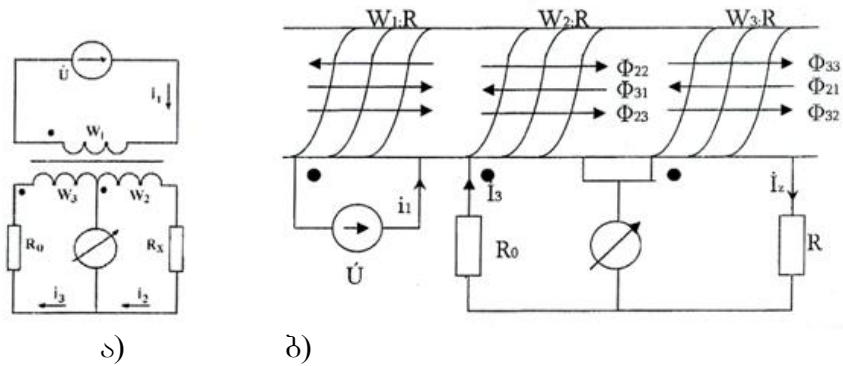
სქემა აგებულია დენების გამოკლების პრინციპზე. მეორე კონტურში გამავალი დენის სიდიდე განისაზღვრება  $R_x$  გასაზომი წინაღობით, ხოლო მესამე კონტურში გამავალი დენი  $g_o - R_0$  ეტალონური წინაღობით.

პირველადი გრაგნილი ხვიათა რიცხვით  $W_1$  არის ბოგას მხრების მკვებავი გრაგნილი, ხოლო გრაგნილები ხვიათა რიცხვებით  $W_2$  და  $W_3$  არიან ბოგას მხრების გრაგნილები. გრაგნილების შესაბამისი ომური წინაღობებია:  $R_1, R_2$  და  $R_3$ . მუქი წერტილებით მონიშნულია გრაგნილების ერთსახელა მომჭერები. ერთსახელა მომჭერები ისეთი მომჭერებია, რომლებშიც დენების ერთნაირი მიმართულების დროს თვითინდუქციისა და ურთიერთინდუქციის ნაკადები მიმართულებით ერთმანეთს ემთხვევა.

ტრანსფორმატორის მოქმედების პრინციპიდან გამომდინარე, თუ პირველად გრაგნილში დენი მიმართულია ერთსახელა მომჭერისკენ, მაშინ მეორეულ გრაგნილში (ან გრაგნილებში) დენი (ან დენები) გამოდის (ან გამოდიან) ერთსახელა მომჭერიდან, რაც დამტკიცებულია ექსპერიმენტით [35].

როგორც ცნობილია, კოჭაში გამავალი დენი და მის მიერ შექმნილი მაგნიტური ნაკადი ერთმანეთთან დაკავშირებულია მარჯვენა ბურღის წესით, რომელიც სწორი გამტარისათვის შემდეგში მდგომარეობს: თუ ბურღის წვეროს გადაადგილების მიმართულება ემთხვევა დენის მიმართულებას, მაშინ ბურღის ტარის მოძრაობის მიმართულება ემთხვევა ნაკადის მიმართულებას; ხოლო წრიული

გამტარისათვის იგი შემდეგნაირად ჩამოყალიბდება: თუ წრიულ გამტარში გამავალი დენის მიმართულება ემთხვევა ბურღის ტარის მოძრაობის მიმართულებას, მაშინ ბურღის წვეროს გადაადგილების მიმართულება ემთხვევა ნაკადის მიმართულებას. ამ წესის გათვალისწინებით ნახ.2.11.ა-ზე მოცემული სამგრაგნილიანი საზომი ტრანსფორმატორის სქემის მუშაობას ფიზიკურად შეესაბამება ნახ.2.11.ბ-ზე წარმოდგენილი ნაკადების მიმართულება. ნაკადების მიმართულება განსაზღვრავს ძაბვების მიმართულებას.



ნახ.2.11 ა) სამგრაგნილიანი საზომი ტრანსფორმატორის სქემა;  
ბ) ნაკადების მიმართულება.

ნახ.2.11.ბ-ზე  $\phi_{11}=L_{11}i_1$ ;  $\phi_{22}=L_{22}i_2$ ;  $\phi_{33}=L_{33}i_3$  – წარმოადგენენ თვითინდუქციის ნაკადებს, რომლებიც განისაზღვრებიან ამ კონტურებში გამავალი დენებით.

გამოსახულებებში მოცემული  $L_{11}, L_{22}, L_{33}$  კოეფიციენტები განისაზღვრებიან გრაგნილების ხვიათა რიცხვებითა და მაგნიტური გამტარის მასალითა და ზომებით შემდეგნაირად:  $L_{11} = W_1^2 \lambda$ ;  $L_{22} = W_2^2 \lambda$ ;  $L_{33} = W_3^2 \lambda$ ; სადაც  $\lambda$  მაგნიტური გამტარის გამტარობაა და განისაზღვრება ფორმულით:  $\lambda = \mu\mu_0 S/l$ , სადაც  $\mu$ - მაგნიტური გამტარის მასალის ფარდობითი მაგნიტური შეღწევადობაა და მისი მნიშვნელობა აიღება სპეციალური ცხრილებიდან;  $\mu_0$  – მაგნიტური მუდმივაა და ტოლია  $4\pi 10^{-7}$  ა.მ./მ, ს-მაგნიტური გამტარის განივალეთია –  $\theta^2$ ;  $l$  – მაგნიტური გამტარის საშუალო სიგრძე – მ.

$$\phi_{12} = M_{12}i_2; \quad \phi_{21} = M_{21}i_1; \quad \phi_{13} = M_{13}i_3; \quad \phi_{31} = M_{31}i_1; \quad \phi_{23} = M_{23}i_3; \quad \phi_{32} = M_{32}i_2 \quad -\text{წარმოადგენენ ურთიერთინდუქციის ნაკადებს,}$$

რომლებიც განისაზღვრებიან მეზობელ კონტურებში გამავალი დენებით. მაგ:  $\phi_{12} = M_{12}i_2$  – არის პირველ კონტური, მეორე კონტურში გამავალი დენის მიერ შექმნილი ნაკადი და ა.შ.

M– მნიშვნელობებიც განისაზღვრებიან ხვიათა რიცხვებითა და მაგნიტური გამტარობით:  $M_{12} = M_{21} = W_1W_2\lambda$ ;  $M_{13} = M_{31} = W_1W_3\lambda$ ;  $M_{23} = M_{32} = W_2W_3\lambda$ ;

კოჭებში ძაბვები და ნაკადები ერთმანეთთან დაკავშირებულნი არიან ელექტრომაგნიტური ინდუქციის კანონით შემდეგნაირად:

$$U_L = \frac{d\phi}{dt} = L \frac{di}{dt}; U_M = \frac{d\phi}{dt} = \pm M \frac{di}{dt};$$

გარდა ნაკადების მიმართულებისა, [36] თანახმად უნდა ავირჩიოთ ათვლის სისტემის მიმართულებაც. ათვლის სისტემის მიმართულებად ავიღოთ  $\phi_{11}$  ნაკადის მიმართულება. ყოველივე ზემოთმოყვანილის გათვალისწინებით, აღნიშნული მიმართულებისათვის ნახ.2.11 მოცემული სქემის მიხედვით, კირხვოფის მეორე კანონის თანახმად სამგრავნილიანი ბოგირის მათემატიკური მოდელი გამოისახება შემდეგი დიფერენციალური განტოლებათა სისტემით:

$$(2.70) \quad \left\{ \begin{array}{l} U_1 = R_1i_1 + L_{11} \frac{di_1}{dt} - M_{12} \frac{di_2}{dt} - M_{13} \frac{di_3}{dt} \\ 0 = -(R_2 + R_x)i_2 - L_{22} \frac{di_2}{dt} - M_{21} \frac{di_1}{dt} - M_{23} \frac{di_3}{dt} \\ 0 = -(R_3 + R_0)i_3 - L_{33} \frac{di_3}{dt} - M_{31} \frac{di_1}{dt} - M_{32} \frac{di_2}{dt} \end{array} \right.$$

კომპლექსური მეორეით მიღებულ განტოლებათა სისტემა შემდეგნაირად ჩაიწერება:

$$\left\{ \begin{array}{l} \dot{U} = \underline{Z}_1 \dot{I}_1 - j\omega M_{12} \dot{I}_2 - j\omega M_{13} \dot{I}_3 \\ 0 = j\omega M_{21} \dot{I}_1 - \underline{Z}_2 \dot{I}_2 - j\omega M_{23} \dot{I}_3 \\ 0 = j\omega M_{31} \dot{I}_1 - j\omega M_{23} \dot{I}_3 - \underline{Z}_3 \dot{I}_2 \end{array} \right. \quad (2.71)$$

სადაც,  $\underline{Z}_1 = R_1 + j\omega L_{11}$ ;  $\underline{Z}_2 = (R_2 + R_x) + j\omega L_{22}$ ;  $\underline{Z}_3 = (R_3 + R_0) + j\omega L_{33}$ ;

ბოგირის წონასწორობის მდგომარეობაში გალვანომეტრში გამავალი დენები ტოლია:

$$\dot{I}_2 = \dot{I}_3 \quad (2.72)$$

ეს დენები განისაზღვრებიან შემდეგნაირად:

$$\dot{I}_2 = \dot{U} \frac{\Delta_{12}}{\Delta}; \quad \dot{I}_3 = \dot{U} \frac{\Delta_{13}}{\Delta} \quad (2.73)$$

სადაც,

$$\Delta = \begin{vmatrix} Z_1 & -j\omega M_{12} & -j\omega M_{13} \\ j\omega M_{21} & -Z_2 & j\omega M_{23} \\ j\omega M_{31} & -j\omega M_{23} & -Z_3 \end{vmatrix}; \quad (2.74)$$

$$\Delta_{12} = \begin{vmatrix} j\omega M_{21} & -j\omega M_{23} \\ j\omega M_{13} & -Z_1 \end{vmatrix} \times (-1)^3; \quad \Delta_{13} = \begin{vmatrix} j\omega M_{21} & -Z_2 \\ j\omega M_{13} & -j\omega M_{32} \end{vmatrix} \quad (2.75)$$

(2.72) და (2.73) გამოსახულებების შედარება გვაძლევს შემდეგ ტოლობას:

$\Delta_{12} = \Delta_{13}$   
აქედან გამომდინარე, სათანადო მათემატიკური მოქმედებების ჩატარების შემდეგ მიიღება გასაზომი წინაღობის საანგარიშო ფორმულა:

$$R_x = [(R_3 + R_0)W_2/W_2] - R_2$$

წრფივი ელექტრული წრედების თეორიის საფუძველზე მიღებული იქნა სამგრაგნილიან ტრანსფორმატორულ ბოგირში მიმდინარე ფიზიკური პროცესების შესაბამისი ერთადერთი სწორი მათემატიკური მოდელი.

### თავი III. ტრანსფორმატორული კონდუქტორების სქემების შედარებითი ანალიზი

წინა თავებში განხილული იყო კონკურენტუნარიანი სქემები, ტრანსფორმატორული კონდუქტორებისათვის შემუშავებული სტატიკური მახასიათებლები და სტატიკური მახასიათებლების მათემატიკური მოდელები, რომლებიც დაფუძნებულია უშუალო შეფასებისა და გაზომვის კომპენსაციური მეთოდის გამოყენებაზე. შემუშავებულია ძირითადი ღირსებები, ნაკლულოვანებანი და მრეწველობაში ხელსაწყოების გამოყენების შესაძლო სფეროები, რომლებიც ამ სქემების რეალიზებას ახდენენ.

ამ თავში სტატიკური მახასიათებლების მიღებული მათემატიკური მოდელების საფუძველზე გამოვლენილია კონდუქტორების სტრუქტურების რაოდენობრივი და ხარისხობრივი მაჩვენებლები, ისეთები როგორებიცაა: მგრძნობიარობა, საშუალოკვადრატული ცდომილება. გარდა ამისა, ჩატარებულია კონდუქტორების სტრუქტურული და პარამეტრული ოპტიმიზაცია, ხოლო შედარებით პერსპექტიული სქემისათვის შესრულებულია განხილული სქემების შედარებითი ანალიზი.

#### 3.1. ტრანსფორმატორული კონდუქტორების მზომი სქემების სტატიკური მახასიათებლების მათემატიკური მოდელების მგრძნობიარობის განსაზღვრა

თუ (2.44) განტოლებიდან ავიღებთ პირველი რიგის წარმოებულს კუთრი ელექტროგამტარებლობის მიხედვით, მივიღებთ მგრძნობიარობას აქტიური მდგენელის მიმართ ნახ.2.3ა სქემაზე გამოსახული ერთტრანსფორმატორიანი კონდუქტორისათვის, სადაც ინფორმაციულ პარამეტრად გვევლინება ძაბვა:

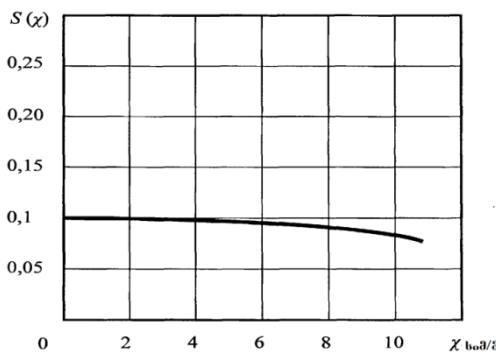
$$\frac{d}{d\chi} \left( A \frac{\chi}{A^2 + \omega^2 L_1^2 \chi^2} \right) \rightarrow \frac{A}{A^2 + \omega^2 L_1^2 \chi^2} - 2A \frac{\chi^2}{A^2 + \omega^2 L_1^2 \chi^2} \omega^2 L_1^2 \quad (3.1)$$

გამარტივების შემდეგ გვექნება:

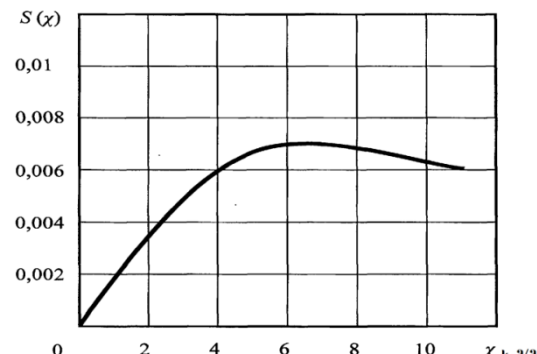
$$S(\chi) = \frac{A^3 - A\omega^2 L_1^2 \chi^2}{A^4 + 2A^2\omega^2 L_1^2 \chi^2 + \omega^4 L_1^4 \chi^4} \quad (3.2)$$

(3.2) განტოლება წარმოადგენს ერთტრანსფორმატორიანი კონდუქტორის მგრძნობიარობის მათემატიკურ მოდელს ძაბვის აქტიური მდგენელის მიმართ. იმ შემთხვევისათვის, როცა ინფორმაციული პარამეტრია ძაბვა, მაშინ ძაბვის აქტიური მდგენელის მგრძნობიარობის ელექტროგამტარობის გაზომვის დიაპაზონზე დამოკიდებულების გრაფიკი წარმოდგენილია ნახ.3.1.ა-ზე.

(3.2) გამოსახულება რთულია და არ იძლევა კონკრეტულ პასუხს კითხვაზე თუ რომელი პარამეტრია ძირითადი, ამიტომ მაღალი მგრძნობიარობა არაერთმნიშვნელოვანია და დამოკიდებულია კონკრეტულ გარდამქმნელზე, რომელიც დამკვეთისთვისაა საჭირო.



ა)



ბ)

ნახ.3.1. ერთტრანსფორმატორიანი კონდუქტორისათვის: ა- ძაბვის აქტიური და ბ- ძაბვის რეაქტიული მდგენელების მგრძნობიარობის გაზომვის დიაპაზონზე დამოკიდებულების გრაფიკი 0,1- 10 სიმ/მ დიაპაზონში.

მსგავსი მეთოდით გამოვთვალოთ მგრძნობიარობა დარჩენილი სქემებისათვისაც.

მგრძნობიარობა ძაბვის რეაქტიული მდგენელისათვის ტოლია:

$$S(\chi) = \frac{2L_1 A^2 \chi}{(A^2 + \omega^2 L_1^2 \chi^2)^2} \quad (3.3)$$

ხოლო, ერთტრანსფორმატორიანი კონდუქტორის მგრძნობიარობის ელექტროგამტარობაზე დამოკიდებულების გრაფიკი ძაბვის რეაქტიულ მდგენელისათვის გამოსახულია ნახ.3.1.ბ.-ზე.

როგორც ნახ.3.1.ა-დან ჩანს, რომ თუ ინფორმაციული პარამეტრია ძაბვა, მაშინ მგრძნობიარობის მიხედვით ხელსაწყოს

ოპტიმიზაციისათვის სასურველია გამოვიყენოთ სტატიკური მახასიათებლის ძაბვის აქტიური მდგენელის მათემატიკური მოდელი.

ერთტრანსფორმატორიანი კონდუქტორისათვის აქტიური მდგენელის მიხედვით, რომლის ინფორმაციული პარამეტრია დენი, მგრძნობიარობას აქვს შემდეგი სახე:

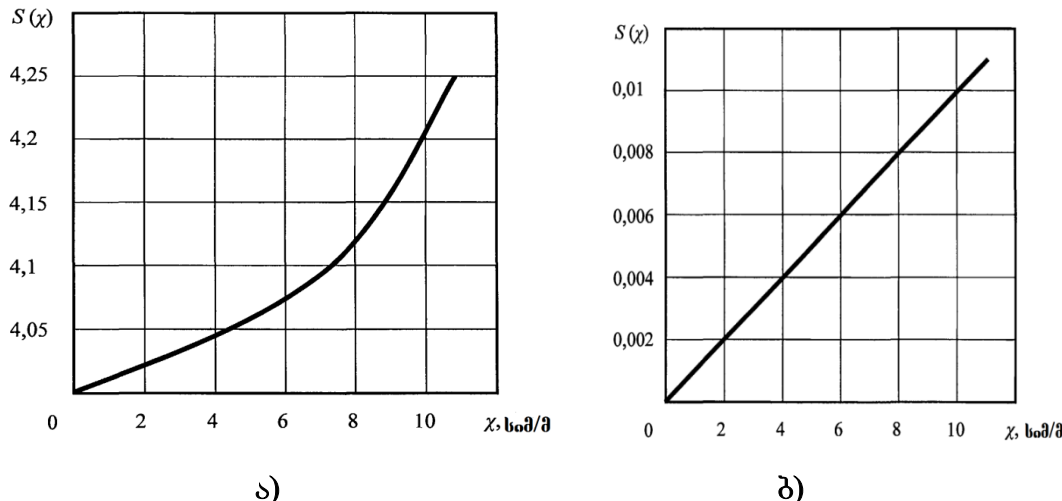
$$S(\chi) = \frac{M_{1,2}^2 A (2\omega^3 M_{1,2}^2 L_2 \chi^2 - L_1 \omega^2 L_2^2 \chi^2 + L_1 A^2)}{(2\omega^3 M_{1,2}^2 L_2 \chi^2 - L_1 \omega^2 L_2^2 \chi^2 + L_1 A^2)^2 L_1} \quad (3.4)$$

ერთტრანსფორმატორიანი კონდუქტორის მგრძნობიარობის ელექტროგამტარობაზე დამოკიდებულების გრაფიკი დენის აქტიური მდგენელისათვის გამოსახულია ნახ.3.2.ა-ზე.

ერთტრანსფორმატორიანი კონდუქტორის მგრძნობიარობის მათემატიკური მოდელი დენის რეაქტიული მდგენელისათვის გამოისახება შემდეგნაირად:

$$S(\chi) = \frac{2\omega\chi M_{1,2}^2 L_2 A^2}{(2\omega^3 M_{1,2}^2 L_2 \chi^2 - L_1 \omega^2 L_2^2 \chi^2 - L_1 A^2)^2} \quad (3.5)$$

მგრძნობიარობის დამოკიდებულების გრაფიკი გუთრ ელექტროგამტარებლობაზე წარმოდგენილია ნახ.3.2.ბ-ზე



ნახ.3.2. ერთტრანსფორმატორიანი კონდუქტორისათვის: ა- დენის აქტიური და ბ- დენის რეაქტიული მდგენელების მგრძნობიარობის გაზომვის დიაპაზონზე დამოკიდებულების გრაფიკი 0,1- 10 სიმ/მ დიაპაზონში.

როგორც ნახ.3.2.ა-დან ჩანს, რომ თუ ინფორმაციული პარამეტრია დენი, მაშინ მგრძნობიარობის მიხედვით ხელსაწყოს თპტიმიზაციისათვის

სასურველია გამოვიყენოთ სტატიკური მახასიათებლის დენის აქტიური მდგენელის მათემატიკური მოდელი.

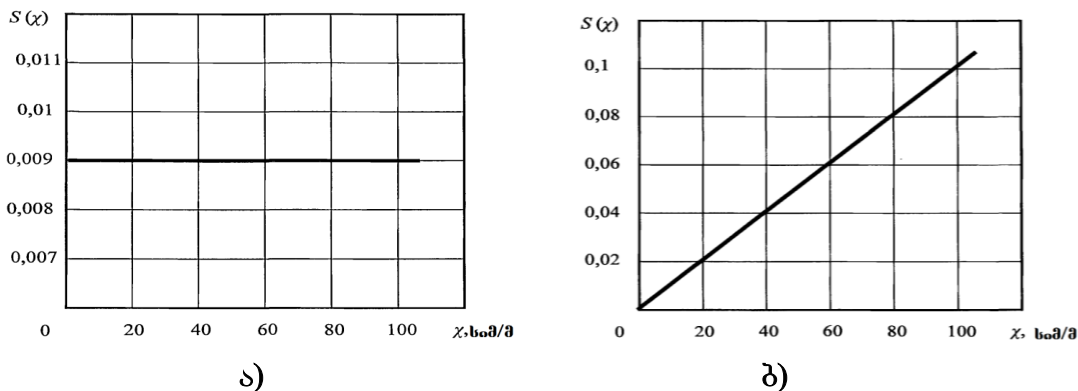
ორტრანსფორმატორიანი კონდუქტორის შემთხვევაში, თუ ინფორმაციული პარამეტრია დენი, მაშინ დენის აქტიური მდგენელისათვის მგრძნობიარობა გამოისახება ფორმულით:

$$S(\chi) = \frac{U_1 M_{1,2} M_{3,4}}{A L_1 L_4} \quad (3.6)$$

სადაც  $U_1$  – ძაბვაა პირველი ტრანსფორმატორის პირველად გრაგნილში. დენის რეაქტიული მდგენელისათვის მგრძნობიარობა გამოისახება ფორმულით:

$$S(\chi) = \frac{2 U_1 M_{1,2} M_{3,4} L \chi \Sigma}{A^2 L_1 L_4} \chi \quad (3.7)$$

თუ ინფორმაციული პარამეტრია დენი, მაშინ ორტრანსფორმატორიანი კონდუქტორის მგრძნობიარობის ელექტროგამტარობაზე დამოკიდებულების გრაფიკი დენის აქტიური და რეაქტიულ მდგენელისათვის გამოსახულია ნახ.3.3.-ზე.



ნახ.3.3.. ორტრანსფორმატორიანი კონდუქტორისათვის: а- დენის აქტიური და ბ- დენის რეაქტიული მდგენელების მგრძნობიარობის გაზომვის დიაპაზონზე დამოკიდებულების გრაფიკი 0,1- 10 სიმ/მ დიაპაზონში.

ორტრანსფორმატორიანი კონდუქტორის შემთხვევაში, თუ ინფორმაციული პარამეტრია ძაბვა, მაშინ ძაბვის აქტიური მდგენელისათვის მგრძნობიარობა გამოისახება ფორმულით:

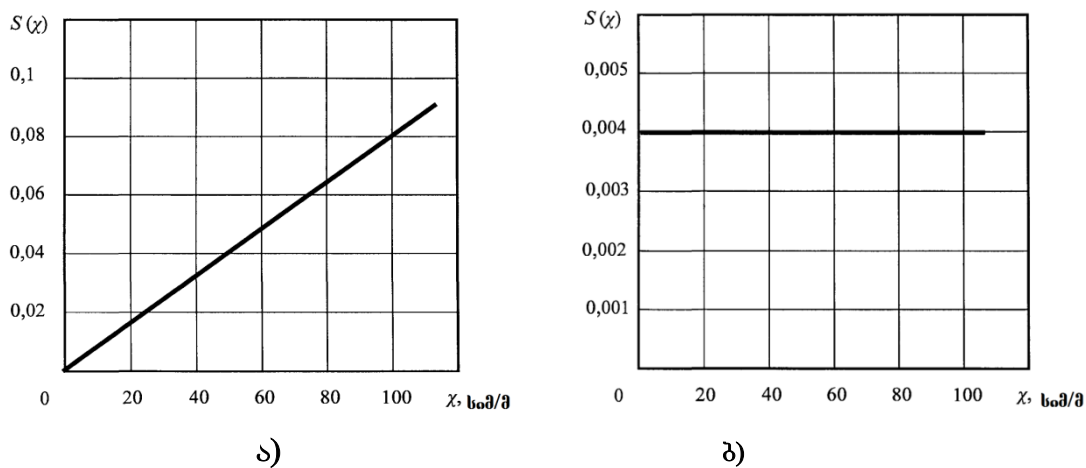
$$S(\chi) = \frac{2 U_1 \omega^2 M_{1,2} M_{3,4} L \chi \Sigma}{A^2 L_1} \chi \quad (3.8)$$

მგრძნობიარობის დამოკიდებულების გრაფიკი, აქტიური მდგენელის ძაბვის მიხედვით, კუთრ ელექტროგამტარებლობაზე, გამოსახულია ნახ.3.7

ხოლო რეაქტიული მდგენელისათვის გამოისახება ფორმულით:

$$S(\chi) = \frac{U_1 M_{1,2} M_{2,3}}{A L_1} \quad (3.9)$$

როცა ინფორმაციული პარამეტრია ძაბვა, მაშინ ორტრანსფორმატორიანი კონდუქტორმეტრის მგრძნობიარობის ელექტროგამტარობაზე დამოკიდებულების გრაფიკი ძაბვის აქტიური და რეაქტიულ მდგენელისათვის გამოსახულია ნახ.3.4.-ზე



ნახ.3.4.. ორტრანსფორმატორიანი კონდუქტორმეტრისათვის: а- ძაბვის აქტიური და ბ- ძაბვის რეაქტიული მდგენელების მგრძნობიარობის გაზომვის დიაპაზონზე დამოკიდებულების გრაფიკი 0,1- 100 სიმ/θ დიაპაზონზე.

როგორც ნახ.3.3 და ნახ.3.4-ზე წარმოდგენილი გრაფიკებიდან ჩანს, ორტრანსფორმატორიანი კონდუქტორმეტრისათვის უმჯობესია გაზომვები ჩავატაროთ დენის აქტიური მდგენელის და ძაბვის რეაქტიული მდგენელის მიხედვით, რადგანაც მგრძნობიარობა ამ მდგენელებისათვის მუდმივია და წრფივია კონდუქტორმეტრის გაზომვების მთელ დიაპაზონზე.

ორტრანსფორმატორიანი ოთხგრაგნილიანი კონდუქტორმეტრის შემთხვევაში, თუ ინფორმაციული პარამეტრია დენი, მაშინ დენის აქტიური და რეაქტიული მდგენელებისათვის მგრძნობიარობა ერთნაირია და გამოისახება ფორმულით:

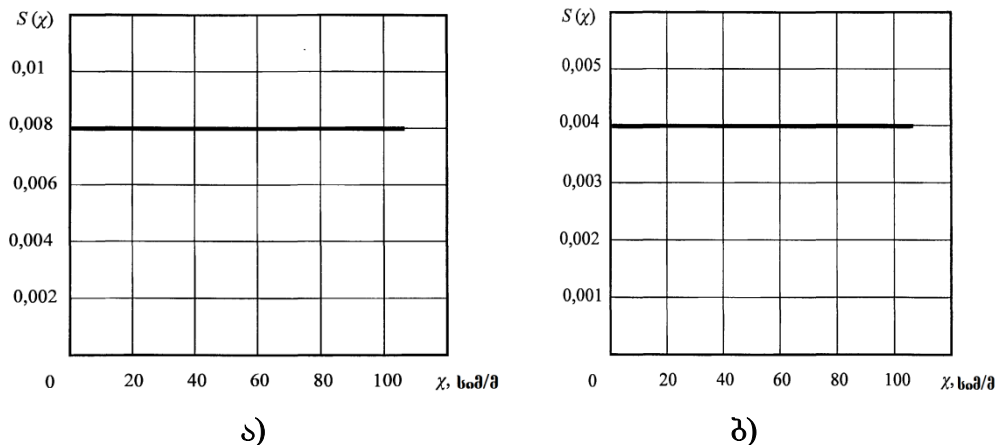
$$S(\chi) = \frac{U_1 M_{1,2} M_{3,4}}{A L_1 L_4} \quad (3.10)$$

შესაბამისი გრაფიკი წარმოდგენილია ნახ.3.5.ა-ზე.

ინფორმაციული პარამეტრია ძაბვა, მაშინ ძაბვის აქტიური და რეაქტიული მდგენელებისათვის მგრძნობიარობა ასევე ერთნაირია და გამოისახება ფორმულით:

$$S(\chi) = \frac{U_1 M_{1,2} M_{3,4}}{AL_1} \quad (3.11)$$

შესაბამისი გრაფიკი წარმოდგენილია ნახ.3.5.ბ-ზე.



ნახ.3.5. ორგრანსფორმატორიანი ოთხეგრაგნილიანი კონდუქტორმეტრისათვის: ა- დენისა და ბ-ძაბვის აქტიური და რეაქტიული მდგრენელების მგრძნობიარობის გაზომვის დიაპაზონზე დამოკიდებულების გრაფიკი 0,1-100 სიმ/მ დიაპაზონში.

როგორც ნახ.3.5.ზე წარმოდგენილი გრაფიკებიდან ჩანს,  
ორტრანსფორმატორიანი ოთხგრაგნილიანი კონდუქტორების  
შემთხვევაში როცა ინფორმაციული პარამეტრია დენი, მაშინ  
მგრძნობიარობა უფრო მაღალია, ვიდრე იმ შემთხვევაში, როცა  
ინფორმაციული პარამეტრია ძაბვა. აქედან შეიძლება გაპეტდეს  
დასკვნა, რომ მაღალი მგრძნობიარობის მისაღწევად სასურველია  
გამოვიყენოთ ნახ.2.3-ზე წარმოდგენილი სქემები.

ორგრანსფორმატორიანი სამგრავნილიანი კონდუქტორების  
შემთხვევაში, თუ ინფორმაციული პარამეტრია დენი, მაშინ დენის  
აქტიური და რეაქტიული მდგენელებისათვის მგრმნობიარობა ასევე  
ერთნაირია და გამოისახება ფორმულით

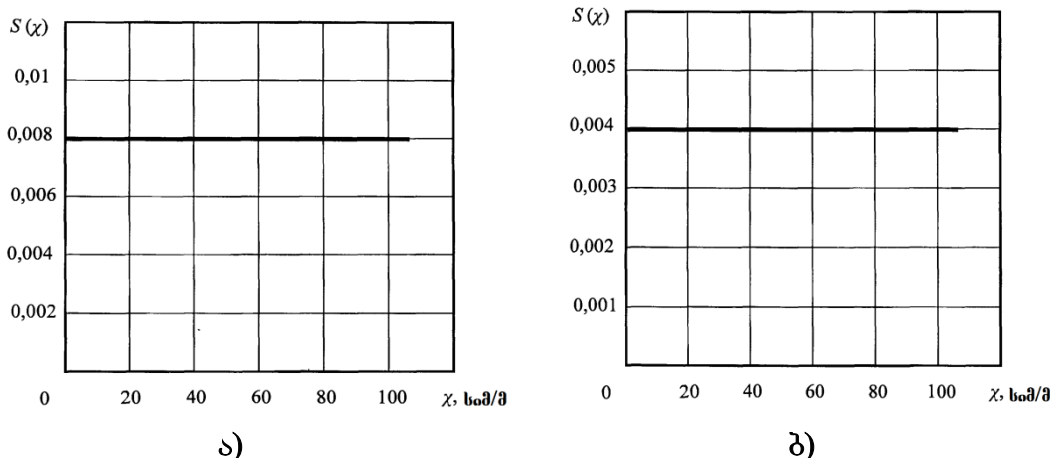
$$S(\chi) = \frac{U_1 M_{1,2} M_{2,4}}{A L_1 L_4} \quad (3.12)$$

შესაბამისი გრაფიკი წარმოდგენილია ნახ.3.6.ა-ზე.

ინფორმაციული პარამეტრია ძაბვა, მაშინ ძაბვის აქტიური და რეაქტიული მდგენელებისათვის მგრძნობიარობა ასევე ერთნაირია და გამოისახება ფორმულით:

$$S(\chi) = \frac{U_1 M_{1,2} M_{2,4}}{A L_1} \quad (3.13)$$

შესაბამისი გრაფიკი წარმოდგენილია ნახ.3.6.ბ-ზე.



ნახ.3.6. ორტრანსფორმატორიანი სამგრაგნილიანი კონდუქტორისათვის: ა-დენისა და ბ-ძაბვის აქტიური და რეაქტიული მდგენელების მგრძნობიარობის გაზომვის დიაპაზონზე დამოკიდებულების გრაფიკი 0,1- 100 სიმ/მ დიაპაზონში

როგორც ნახ.3.6.ზე წარმოდგენილი გრაფიკებიდან ჩანს, ორტრანსფორმატორიანი სამგრაგნილიანი კონდუქტორების შემთხვევაში როცა ინფორმაციული პარამეტრია დენი, მაშინ მგრძნობიარობა უფრო მაღალია, ვიდრე იმ შემთხვევაში, როცა ინფორმაციული პარამეტრია ძაბვა. აქედან შეიძლება გაკეთდეს დასკვნა, რომ მაღალი მგრძნობიარობის მისაღწევად სასურველია გამოვიყენოთ ნახ.2.3.თ-ზე წარმოდგენილი სქემები.

### 3.2. ტრანსფორმატორული კონდუქტორმეტრების საბაზო სქემების ცდომილებების მოდელები

ერთტრანსფორმატორიანი კონდუქტორმეტრები ვერ უწევენ  
კონკურენციას ორტრანსფორმატორიან სქემებს, სტატიკური მახასიათებ-  
ლებისა და ცვლადი მგრძნობიარობების გამო.  
ერთტრანსფორმატორიანი კონდუქტორმეტრების ცდომილებების  
გამოთვლა მოყვანილი იყო პირველ თავში, მეორე თავში აღწერილია  
ორტრანსფორმატორიანი კონდუქტორმეტრების ცდომილებების მოდელები  
ძაბვის მიხედვით აქტიური მდგენელებისათვის.

განვსაზღვროთ შემთხვევითი გადახრა  $W$  სიგნალის –  $\Delta W, \bar{W}^\wedge$   
ნომინალურიდან, მაშინ 2.5 ფორმულიდან მივიღებთ:

$$\begin{aligned} \Delta W = & \frac{2\omega U_1 M_{1,2} M_{3,4} L_{\chi\Sigma} \chi^2}{L_1 A^2} \Delta \omega + \frac{\omega^2 M_{1,2} M_{3,4} L_{\chi\Sigma} \chi^2}{L_1 A^2} \Delta U_1 + \frac{\omega^2 U_1 M_{3,4} L_{\chi\Sigma} \chi^2}{L_1 A^2} \Delta M_{1,2} \\ & + \frac{\omega^2 U_1 M_{1,2} L_{\chi\Sigma} \chi^2}{L_1 A^2} \Delta M_{3,4} + \frac{\omega^2 U_1 M_{1,2} M_{3,4} \chi^2}{L_1 A^2} \Delta L_{\chi\Sigma} - \frac{\omega^2 U_1 M_{1,2} M_{3,4} L_{\chi\Sigma} \chi^2}{L_1^2 A^2} \Delta L_1 - \\ & - \frac{2\omega^2 U_1 M_{1,2} M_{3,4} L_{\chi\Sigma} \chi^2}{L_1 A^3} \Delta A \end{aligned} \quad (3.14)$$

(2.6) ფორმულის გამოყენებით, განვსაზღვროთ სტატიკური  
მახასიათებლის მათემატიკური მოდელის აბსოლუტური ცდომილება:

$$\begin{aligned} \Delta X = \frac{\Delta W}{S(X)} = & \frac{\chi}{\omega} \Delta \omega + \frac{\chi}{2U_1} \Delta U_1 + \frac{\chi}{2M_{1,2}} \Delta M_{1,2} + \frac{\chi}{2M_{3,4}} \Delta M_{3,4} + \frac{\chi}{2L_{\chi\Sigma}} \Delta L_{\chi\Sigma} \\ & - \frac{\chi}{2L_1} \Delta L_1 - \frac{\chi}{2A} \Delta A \end{aligned} \quad (3.15)$$

$\Delta X$  აბსოლუტური ცდომილებიდან  $X$  ნორმირებულზე გადასვლისას,  
გაზომვის ამ ( $X_{min} \leq X \leq X_{max}$ ) დიაპაზონზე, დაყვანილი  $\delta X$   
ცდომილებისთვის მივიღებთ:

$$\delta X = 0,5\chi(2\delta\omega + \delta U_1 + \delta M_{1,2} + \delta M_{3,4} - \delta L_{\chi\Sigma} - \delta L_1 - 2\delta A) \quad (3.16)$$

ორტრანსფორმატორიანი კონდუქტორმეტრის საშუალოკვადრა-  
ტული ცდომილება, ძაბვის მიხედვით აქტიური მდგენელისა, ტოლია:

$$\sigma = \sqrt{0,25\chi^2(4\sigma_\omega^2 + \sigma_{U_1}^2 + \sigma_{M_{1,2}}^2 + \sigma_{M_{3,4}}^2 - \sigma_{L_{\chi\Sigma}}^2 - \sigma_{L_1}^2 - 4\sigma_A^2)} \quad (3.17)$$

მსგავსი მეთოდით გამოვთვალოთ ცდომილებების მოდელები, ტრანსფორმატორული კონდუქტორების დარჩენილი სქემებისათვის.

ორტრანსფორმატორიანი კონდუქტორების რეაქტიული მდგენელისათვის, ძაბვის მიხედვით ინფორმაციული პარამეტრით, შემთხვევითი გადახრა  $\Delta W$  ტოლია:

$$\begin{aligned} \Delta W = & \frac{\chi M_{1,2} M_{2,3}}{L_1 A} \Delta U_1 + \frac{\chi U_1 M_{2,3}}{L_1 A} \Delta M_{1,2} + \frac{\chi U_1 M_{1,2}}{L_1 A} \Delta M_{2,3} - \\ & - \frac{\chi U_1 M_{1,2} M_{2,3}}{L_1^2 A} \Delta L_1 - \frac{\chi U_1 M_{1,2} M_{2,3}}{L_1 A^2} \Delta A. \end{aligned} \quad (3.18)$$

სტატიკური მახასიათებლის მათემატიკური მოდელის აბსოლუტური ცდომილება ტოლია:

$$\Delta X = \frac{\chi}{U_1} \Delta U_1 + \frac{\chi}{M_{1,2}} \Delta M_{1,2} + \frac{\chi}{M_{2,3}} \Delta M_{2,3} - \frac{\chi}{L_1} \Delta L_1 - \frac{\chi}{A} \Delta A \quad (3.19)$$

გაზომვის დაყვანილი ცდომილება ტოლია:

$$\delta X = \chi(\delta U_1 + \delta M_{1,2} + \delta M_{2,3} - \delta L_1 - \delta A) \quad (3.20)$$

ორტრანსფორმატორიანი კონდუქტორების საშუალო კვადრატული ცდომილება რეაქტიული მდგენელისათვის ძაბვის მიხედვით ტოლია:

$$\sigma = \sqrt{\chi^2 (\sigma_{U_1}^2 + \sigma_{M_{1,2}}^2 + \sigma_{M_{2,3}}^2 - \sigma_{L_1}^2 - \sigma_A^2)} \quad (3.21)$$

ორტრანსფორმატორიანი კონდუქტორების აქტიული მდგენელისათვის, დენის მიხედვით ინფორმაციული პარამეტრით, შემთხვევითი გადახრა  $\Delta W$  ტოლია:

$$\begin{aligned} \Delta W = & \frac{\chi M_{1,2} M_{3,4}}{L_1 L_4 A} \Delta U_1 + \frac{\chi U_1 M_{3,4}}{L_1 L_4 A} \Delta M_{1,2} + \frac{\chi U_1 M_{1,2}}{L_1 L_4 A} \Delta M_{3,4} - \\ & - \frac{\chi U_1 M_{1,2} M_{3,4}}{L_1^2 L_4 A} \Delta L_1 - \frac{\chi U_1 M_{1,2} M_{3,4}}{L_1 L_4^2 A} \Delta L_4 - \frac{\chi U_1 M_{1,2} M_{3,4}}{L_1 L_4 A^2} \Delta A \end{aligned} \quad (3.22)$$

სტატიკური მახასიათებლის მათემატიკური მოდელის აბსოლუტური ცდომილება ტოლია:

$$\Delta X = \frac{\chi}{U_1} \Delta U_1 + \frac{\chi}{M_{1,2}} \Delta M_{1,2} + \frac{\chi}{M_{3,4}} \Delta M_{3,4} - \frac{\chi}{L_1} \Delta L_1 - \frac{\chi}{L_4} \Delta L_4 - \frac{\chi}{A} \Delta A \quad (3.23)$$

გაზომვის დაყვანილი ცდომილება ტოლია:

$$\delta X = \chi(\delta U_1 + \delta M_{1,2} + \delta M_{3,4} - \delta L_1 - \delta L_4 - \delta A) \quad (3.24)$$

ორტრანსფორმაციონიანი კონდუქტორის საშუალო  
კვადრატული ცდომილება აქტიული მდგენელისათვის დენის მიხედვით  
ტოლია:

$$\sigma = \sqrt{\chi^2(\sigma_{U_1}^2 + \sigma_{M_{1,2}}^2 + \sigma_{M_{3,4}}^2 - \sigma_{L_1}^2 - \sigma_{L_4}^2 - \sigma_A^2)} \quad (3.25)$$

ორტრანსფორმაციონიანი კონდუქტორის რეაქტიული  
მდგენელისათვის, დენის მიხედვით ინფორმაციული პარამეტრით,  
შემთხვევითი გადახრა  $\Delta W$  ტოლია:

$$\begin{aligned} \Delta W = & \frac{M_{1,2}M_{3,4}L_{\chi\Sigma}\chi^2}{L_1L_4A^2}\Delta U_1 + \frac{U_1M_{3,4}L_{\chi\Sigma}\chi^2}{L_1L_4A^2}\Delta M_{1,2} + \frac{U_1M_{1,2}L_{\chi\Sigma}\chi^2}{L_1L_4A^2}\Delta M_{3,4} + \\ & + \frac{U_1M_{1,2}M_{3,4}\chi^2}{L_1L_4A^2}\Delta L_{\chi\Sigma} - \frac{U_1M_{1,2}M_{3,4}L_{\chi\Sigma}\chi^2}{L_1^2L_4A^2}\Delta L_1 - \frac{U_1M_{1,2}M_{3,4}L_{\chi\Sigma}\chi^2}{L_1L_4^2A^2}\Delta L_4 \\ & - \frac{2U_1M_{1,2}M_{3,4}L_{\chi\Sigma}\chi^2}{L_1L_4A^3}\Delta A \end{aligned} \quad (3.26)$$

სტატიკური მახასიათებლის მათემატიკური მოდელის  
აბსოლუტური ცდომილება ტოლია:

$$\begin{aligned} \Delta X = & \frac{\chi}{2U_1}\Delta U_1 + \frac{\chi}{2M_{1,2}}\Delta M_{1,2} + \frac{\chi}{2M_{3,4}}\Delta M_{3,4} + \frac{\chi}{2L_{\chi\Sigma}}\Delta L_{\chi\Sigma} - \frac{\chi}{2L_1}\Delta L_1 - \frac{\chi}{2L_4}\Delta L_4 \\ & + \frac{\chi}{A}\Delta A. \end{aligned} \quad (3.27)$$

გაზომვის დაყვანილი ცდომილება ტოლია:

$$\delta X = 0,5\chi(\delta U_1 + \delta M_{1,2} + \delta M_{3,4} + \delta L_{\chi\Sigma} - \delta L_1 - \delta L_4 - 2\delta A) \quad (3.28)$$

ორტრანსფორმაციონიანი კონდუქტორის საშუალო  
კვადრატული ცდომილება რეაქტიული მდგენელისათვის დენის  
მიხედვით ტოლია:

$$\sigma = \sqrt{0,25\chi^2(\sigma_{U_1}^2 + \sigma_{M_{1,2}}^2 + \sigma_{M_{3,4}}^2 - \sigma_{L_{\chi\Sigma}}^2 - \sigma_{L_1}^2 - \sigma_{L_4}^2 - 4\sigma_A^2)} \quad (3.29)$$

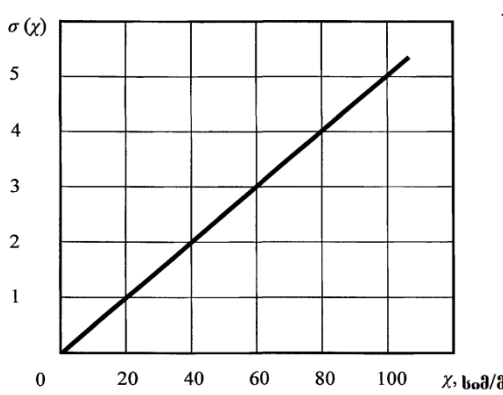
ოთხგრაგნილიანი ტრანსფორმაციული კონდუქტორის  
აქტიური და რეაქტიული მდგენელების, ინფორმაციული პარამეტრით  
ძაბვის მიხედვით, საშუალოკვადრატული ცდომილების  
დამოკიდებულების გრაფიკი კუთრ ელექტროგამტარებლობაზე,  
გამოსახულია ნახ.3.7.ა-ზე.

იმდენად რამდენადაც, ოთხგრაგნილიანი ტრანსფორმაციული  
კონდუქტორის სქემის სტატიკური მახასიათებელი, აქტიური და  
რეაქტიული მდგენელებისა ინფორმაციული პარამეტრით ძაბვის

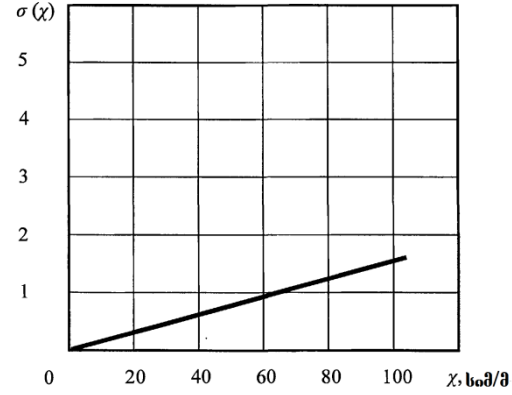
მიხედვით, ერთნაირია, მაშინ ცდომილებების მოდელებიც ასევე ერთნაირი იქნება.

შემთხვევითი გადახრა  $\Delta W$  ტოლია:

$$\begin{aligned} \Delta W = & \frac{\chi M_{1,2} M_{3,4}}{L_1 A} \Delta U_1 + \frac{\chi U_1 M_{3,4}}{L_1 A} \Delta M_{1,2} + \frac{\chi U_1 M_{1,2}}{L_1 A} \Delta M_{3,4} - \\ & - \frac{\chi U_1 M_{1,2} M_{3,4}}{L_1^2 A} \Delta L_1 - \frac{\chi U_1 M_{1,2} M_{3,4}}{L_1 A^2} \Delta A \end{aligned} \quad (3.30)$$



ა)



ბ)

ნახ. 3.7. კონდუქტომეტრის საშუალო პგადრატული ცდომილების დამოკიდებულების გრაფიკი: ა-ორტრანსფორმატორიანი კონდუქტომეტრის კუთრი ელექტროგამტარობისა დენის რეაქტორულ მდგრენელზე; ბ-მრავალგრაგნილიანი კონდუქტომეტრის კუთრი ელექტროგამტარობისა ძაბვის აქტიურ და რეაქტორულ მდგრენელებზე.

სტატიკური მახასიათებლის მათემატიკური მოდელის  
აბსოლუტური ცდომილება ტოლია:

$$\Delta X = \frac{\chi}{U_1} \Delta U_1 + \frac{\chi}{M_{1,2}} \Delta M_{1,2} + \frac{\chi}{M_{3,4}} \Delta M_{3,4} - \frac{\chi}{L_1} \Delta L_1 - \frac{\chi}{A} \Delta A. \quad (3.31)$$

გაზომვის დაყვანილი ცდომილება ტოლია:

$$\delta X = \chi(\delta U_1 + \delta M_{1,2} + \delta M_{3,4} - \delta L_1 - \delta A) \quad (3.32)$$

ოთხგრაგნილიანი ტრანსფორმატორული კონდუქტომეტრის საშუალოკვადრატული ცდომილება, აქტიური და რეაქტორული მდგრენელებისათვის ძაბვის მიხედვით ტოლია:

$$\sigma = \sqrt{\chi^2 (\sigma_{U_1}^2 + \sigma_{M_{1,2}}^2 + \sigma_{M_{3,4}}^2 - \sigma_{L_1}^2 - \sigma_A^2)} \quad (3.33)$$

შემთხვევითი გადახრა  $\Delta W$  ტოლია:

$$\begin{aligned} \Delta W = & \frac{\chi M_{1,2} M_{3,4}}{L_1 L_4 A} \Delta U_1 + \frac{\chi U_1 M_{3,4}}{L_1 L_4 A} \Delta M_{1,2} + \frac{\chi U_1 M_{1,2}}{L_1 L_4 A} \Delta M_{3,4} - \\ & - \frac{\chi U_1 M_{1,2} M_{3,4}}{L_4^2 L_1 A} \Delta L_4 - \frac{\chi U_1 M_{1,2} M_{3,4}}{L_4 L_1^2 A} \Delta L_1 - \frac{\chi U_1 M_{1,2} M_{3,4}}{L_1 L_4 A^2} \Delta A \end{aligned} \quad (3.34)$$

სტატიკური მახასიათებლის მათემატიკური მოდელის  
აბსოლუტური ცდომილება ტოლია:

$$\Delta X = \frac{\chi}{U_1} \Delta U_1 + \frac{\chi}{M_{1,2}} \Delta M_{1,2} + \frac{\chi}{M_{3,4}} \Delta M_{3,4} - \frac{\chi}{L_4} \Delta L_4 - \frac{\chi}{L_1} \Delta L_1 - \frac{\chi}{A} \Delta A. \quad (3.35)$$

გაზომვის დაყვანილი ცდომილება ტოლია:

$$\delta X = \chi(\delta U_1 + \delta M_{1,2} + \delta M_{3,4} - \delta L_4 - \delta L_1 - \delta A) \quad (3.36)$$

ოთხგრაგნილიანი ტრანსფორმატორული კონდუქტორის  
საშუალოკვადრატული ცდომილება, აქტიური და რეაქტიული  
მდგენელებისა დენის მიხედვით ტოლია:

$$\sigma = \sqrt{\chi^2(\sigma_{U_1}^2 + \sigma_{M_{1,2}}^2 + \sigma_{M_{3,4}}^2 - \sigma_{L_4}^2 - \sigma_{L_1}^2 - \sigma_A^2)} \quad (3.37)$$

რადგანაც, სამგრაგნილიანი ტრანსფორმატორული  
კონდუქტორის სტატიკური მახასიათებელი აქტიური და რეაქტიული  
მდგენელებისათვის, ინფორმაციული პარამეტრით ძაბვის მიხედვით  
ერთნაირია, ამიტომ ცდომილებების მოდელებიც ასევე ერთნაირი  
იქნება.

შემთხვევითი გადახრა  $\Delta W$  ტოლია:

$$\begin{aligned} \Delta W = & \frac{\chi M_{1,2} M_{2,4}}{L_1 A} \Delta U_1 + \frac{\chi U_1 M_{2,4}}{L_1 A} \Delta M_{1,2} + \frac{\chi U_1 M_{1,2}}{L_1 A} \Delta M_{2,4} - \\ & - \frac{\chi U_1 M_{1,2} M_{2,4}}{L_1^2 A} \Delta L_1 - \frac{\chi U_1 M_{1,2} M_{2,4}}{L_1 A^2} \Delta A \end{aligned} \quad (3.38)$$

სტატიკური მახასიათებლის მათემატიკური მოდელის  
აბსოლუტური ცდომილება ტოლია:

$$\Delta X = \frac{\chi}{U_1} \Delta U_1 + \frac{\chi}{M_{1,2}} \Delta M_{1,2} + \frac{\chi}{M_{2,4}} \Delta M_{2,4} - \frac{\chi}{L_1} \Delta L_1 - \frac{\chi}{A} \Delta A. \quad (3.39)$$

გაზომვის დაყვანილი ცდომილება ტოლია:

$$\delta X = \chi(\delta U_1 + \delta M_{1,2} + \delta M_{2,4} - \delta L_1 - \delta A) \quad (3.40)$$

სამგრაგნილიანი ტრანსფორმატორული კონდუქტორის  
საშუალოკვადრატული ცდომილება, აქტიური და რეაქტიული  
მდგენელებისათვის ძაბვის მიხედვით ტოლია:

$$\sigma = \sqrt{\chi^2(\sigma_{U_1}^2 + \sigma_{M_{1,2}}^2 + \sigma_{M_{2,4}}^2 - \sigma_{L_1}^2 - \sigma_A^2)} \quad (3.41)$$

რადგანაც, სამგრაგნილიანი ტრანსფორმატორული კონდუქტორების სტატიკური მახასიათებელი აქტიური და რეაქტიული მდგენელებისათვის, ინფორმაციული პარამეტრით დენის მიხედვით ერთნაირია, ამიტომ ცდომილებათა მოდელებიც ერთნაირი იქნება.

შემთხვევითი გადახრა  $\Delta W$  ტოლია:

$$\begin{aligned} \Delta W = & \frac{\chi M_{1,2} M_{2,4}}{L_1 L_4 A} \Delta U_1 + \frac{\chi U_1 M_{2,4}}{L_1 L_4 A} \Delta M_{1,2} + \frac{\chi U_1 M_{1,2}}{L_1 L_4 A} \Delta M_{2,4} - \\ & - \frac{\chi U_1 M_{1,2} M_{2,4}}{L_4^2 L_1 A} \Delta L_4 - \frac{\chi U_1 M_{1,2} M_{2,4}}{L_4 L_1^2 A} \Delta L_1 - \frac{\chi U_1 M_{1,2} M_{2,4}}{L_1 L_4 A^2} \Delta A \end{aligned} \quad (3.42)$$

გაზომვის აბსოლუტური ცდომილება ვიპოვთ ფორმულიდან:

$$\begin{aligned} \Delta X = & \frac{\chi}{U_1} \Delta U_1 + \frac{\chi}{M_{1,2}} \Delta M_{1,2} + \frac{\chi}{M_{2,4}} \Delta M_{2,4} - \frac{\chi}{L_4} \Delta L_4 - \frac{\chi}{L_1} \Delta L_1 \\ & - \frac{\chi}{A} \Delta A. \end{aligned} \quad (3.43)$$

გაზომვის დაყვანილი ცდომილება ტოლია:

$$\delta X = \chi(\delta U_1 + \delta M_{1,2} + \delta M_{2,4} - \delta L_4 - \delta L_1 - \delta A) \quad (3.44)$$

სამგრაგნილიანი ტრანსფორმატორული კონდუქტორის საშუალოკვადრატული ცდომილება, აქტიური და რეაქტიული მდგენელებისათვის დენის მიხედვით ტოლია:

$$\sigma = \sqrt{\chi^2(\sigma_{U_1}^2 + \sigma_{M_{1,2}}^2 + \sigma_{M_{2,4}}^2 - \sigma_{L_4}^2 - \sigma_{L_1}^2 - \sigma_A^2)} \quad (3.45)$$

### 3.3. ტრანსფორმატორული კონდუქტორების პერსპექტიული სქემების შედარებითი ანალიზი, სტრუქტურული და პარამეტრული ოპტიმიზაცია.

ადრე განხილული ყველა მოდელიდან, რეალიზაციისათვის შედარებით პერსპექტიულად გვევლინება ის სქემები, რომლებიც იყენებენ გაზომვის კომპენსაციურ მეთოდს. ამჟამად ცნობილია ოთხი სქემა; შესაბამისი რეალიზაციისათვის მათგან უნდა აირჩეს ერთი. თუ ჩავთვლით, რომ ჩვენს შემთხვევაში ცდომილება წარმოადგენს მოქმედების რეზულტატს დიდი რიცხვფაქტორებით, ამასთან, თითოეული ფაქტორის როლი ზუსტი გაზომვების შემთხვევაში მცირეა. მზომ ხელსაწყობებში ხარისხის ერთ-ერთ ძირითად მაჩვენებლად გვევლინება ცდომილება. რაც მეტად მცირეა ცდომილება, მით

უპეთესია ხელსაწყო, ამიტომ შესაბამისი სქემის არჩევისათვის ვისარგებლოთ საშუალოკვადრატული ცდომილების მინიმალური მნიშვნელობის კრიტერიუმით. ასეთი არჩევანი არ არის შემთხვევითი. ჯერ ერთი, საშუალოკვადრატული ცდომილების მიხედვით მათემატიკური მოდელების ცდომილება შედარებით ხელსაყრელია ანალიზისთვის, მეორეც, სწორედ საშუალოკვადრატულ ცდომილებაშია ჩართული ხელსაწყოს უკელა მდგრენელის ცდომილება, მესამე, საშუალოკვადრატული ცდომილება წარმოადგენს თვალსაჩინო მახასიათებელს თავად გაფანტვის სიდიდისა [32].

### **საშუალოკვადრატული ცდომილების მნიშვნელობანი გაზომვის ცხრილი 3.1 კომპენსაციური სქემებისათვის**

ტრანსფორმატორული კონდუქტორმეტრის სამგრავნილიანი სქემა				ტრანსფორმატორული კონდუქტორმეტრის თონგრავნილიანი სქემა			
გაზომვები დენის მიხედვით		გაზომვები ძაბვის მიხედვით		გაზომვები დენის მიხედვით		გაზომვები ძაბვის მიხედვით	
აქტოური მდგრენელი	რეაქტ. მდგრენ.	აქტ. მდგრენ.	რეაქტ. მდგრენ.	აქტ.მდგრენ.	რეაქტ.მდგ.	აქტ.მდგ	რეაქტ.მდგ.
0	0	1	1	0	0	1	1

გაზომვის პრაქტიკაში გვხვდება შემთხვევითი ცდომილებების განაწილების სხვადასხვა კანონები, ამასთან, მეტი მნიშვნელობა აქვს განაწილების ნორმალურ კანონს. ნორმალური კანონის მთავარი თავისებურება მდგომარეობს იმაში, რომ ის არის ზღვრული, ანუ მას უახლოვდებიან განაწილების სხვა კანონები, გაზომვის ტიპიური პირობებისას. თუ ჩავთვლით, რომ ცდომილება წარმოადგენს დიდი რიცხვ-ფაქტორების მოქმედების შედეგს, ამასთან, თითოეული ფაქტორის როლი ზუსტი გაზომვების დროს მცირეა [8].

საშუალოკვადრატული ცდომილების კრიტერიუმი ახასიათებს განაწილების მრუდის ფორმას და ასრულებს გაფანტვის ცდომილების მზომის როლს. საშუალოკვადრატული ცდომილების შემცირებით იზრდება ალბათობა მცირე და, მცირდება ალბათობა დიდი შემთხვევითი ცდომილებებისა, რაც ზუსტი ანალიზური ტექნიკის პროექტირებისას წარმოადგენს ხარისხის შეფასების ოპტიმალურ კრიტერიუმს.

მზომი სქემის განსაზღვრისათვის, მინიმალური ცდომილებით, საშუალოკვადრატული ცდომილების მიხედვით, შემოვიფარგლოთ პირობით, რომ ყოველ მდგენელს გააჩნია ცდომილება 1% სხვა ტოლი პირობებისა, თანაც საუკეთესო სქემა იქნება ის, რომელსაც საშუალოკვადრატული ცდომილების მნიშვნელობა ექნება მინიმალური.

**ცხრილი3.1.** –დან ჩანს, რომ ცდომილების მდგენელების პირობითი მნიშვნელობების 1%, სქემები, რომლებშიც ინფორმაციული პარამეტრი დენია, იძლევიან საუკეთესო შედეგს.

ჩავატაროთ პარამეტრული ოპტიმიზაცია სქემებისათვის, დენის მიხედვით ინფორმაციული პარამეტრით. ამისათვის შემოვიფარგლოთ რეალური მნიშვნელობებით ცდომილების ყველა მდგენელისათვის:

$$U = 5 \div 15 \text{ (3)}$$

$$M = 0,0001 \div 0,001 \text{ (36)}$$

$$L = 0,001 \div 0,005 \text{ (36)}$$

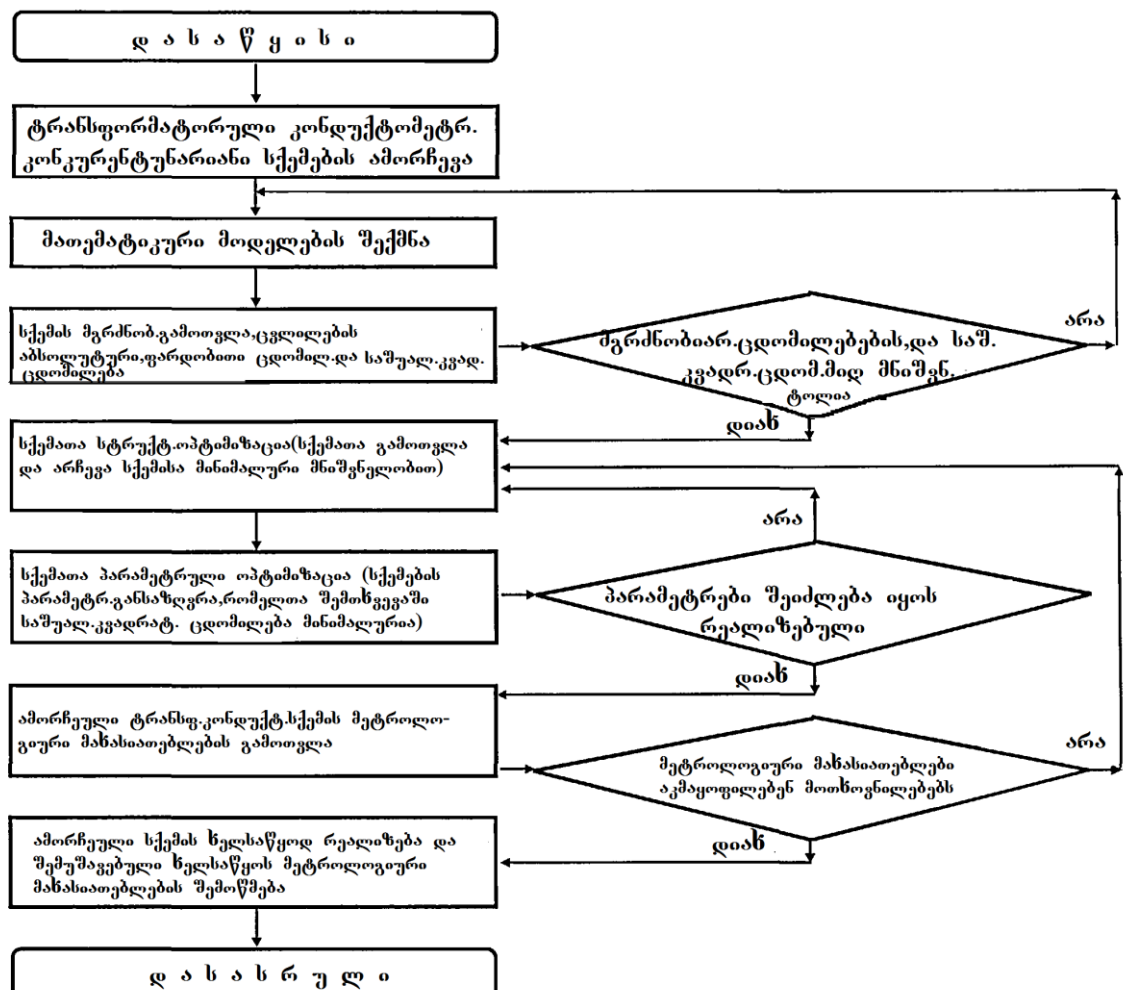
$$A = 0 \div 10$$

თუ ჩავსვამთ მოცემულ მნიშვნელობებს (3.35) და (3.45) ფორმულებში, დავინახავთ, რომ ცდომილების შემცირებისათვის აუცილებელია გავზარდოთ U და M პარამეტრების და შევამციროთ A-ს მნიშვნელობები;

საშუალო კვადრატული ცდომილების კრიტერიუმის საფუძველზე შემუშავებულია ტრანსფორმატორული კონდუქტორების ოპტიმალური პროექტირების მეთოდიკა. მისი ბლოკ ალგორითმი მოცემულია ნახ.3.8.-ზე. სადაც გათვალისწინებულია:

1. ამორჩევა რამდენიმე კონკურენტუნარიანი ტრანსფორმატორული კონდუქტორების სქემებისა, რომელთა დანიშნულებაა გაზომვის დასმული ამოცანის ამოხსნა.
2. კონკურენტუნარიანი სქემების მათემატიკური მოდელების შექმნა, ტრანსფორმატორული კონდუქტორების ამორჩეული სქემების ელექტრული წრედების განსაკუთრებულობების გათვალისწინებით.

3. სქემების, მგრძნობიარობის, გაზომვის აბსოლუტური, ფარდობითი ცდომილებების და საშუალოკვადრატული ცდომილების გამოთვლა.
4. სქემების სტრუქტურული ოპტიმიზაცია, რომელიც მდგომარეობს საშუალოკვადრატული ცდომილების მნიშვნელობის რიცხვობრივ გამოთვლაში ტოლი მნიშვნელობებისას, და იმ სქემების ამორჩევა, რომელიც ფლობენ მინიმალურ საშუალოკვადრატულ ცდომილებას.
5. სქემის პარამეტრული ოპტიმიზაცია, რომლის არსი მდგომარეობს სქემის ისეთი პარამეტრების პოვნაში, რომელიც ამ სქემის საშუალოკვადრატული ცდომილების მნიშვნელობის მინიმალიზირებას ახდენენ.
6. ტრანსფორმატორული კონდუქტორმეტრების ამორჩეული სქემის მეტროლოგიური მახასიათებლების გამოთვლა, მათემატიკური მოდელის და სქემის ოპტიმალური პარამეტრების მეშვეობით.
7. ამორჩეული ტრანსფორმატორული კონდუქტორმეტრული სქემის ხელსაწყოთა რეალიზაცია და შემუშავებული ხელსაწყოს მეტროლოგიური მახასიათებლების შემოწმება.



**ნახ.3.8. ტრანსფორმატორული კონდუქტორმეტრების პროექტირების ალგორითმის ბლოკ-სქემა.**

მოცემული მეთოდიკა საშუალებას იძლევა შევადაროთ და ანალიზი გავუკეთოთ ამორჩევლ სქემებს, დამკვეთის მოთხოვნებზე და ხელსაწყოს მუშაობის პირობებზე დაყრდნობით.

## თავი IV.

**თხევადხევითი კონდუქტორმეტრების პირველადი  
გარდამქმნელის (უჯრედის) ოპტიმალური ელექტრული და  
მაგნიტური პარამეტრების განსაზღვრა.**

### 4.1. ზოგადი ცნობები

როგორც ზემოთ მოყვანილმა ანალიზმა ცხადყო, უკონტაქტო ტრანსფორმატორული კონდუქტორმეტრის მეთოდი დამყარებულია ელ.მაგნ. ველის მაღალსიხშირულ ურთიერთქმედებაზე, ამიტომ აუცილებელია განისაზღვროს საკვლევი სქემებისათვის სიხშირეების ოპტიმალური დიაპაზონი. ნახ.4.1-ზე წარმოდგენილია ერთ და ორტრანსფორმატორითი სქემებისთვის, ძაბვის სიხშირეზე დამოკიდებულების გრაფიკი [33]. როგორც ამ გრაფიკიდან ჩანს, ერთტრანსფორმატორითი სქემისათვის სიხშირეთა სამუშაო დიაპაზონი წარმოადგენს 50–200ჰჸ შუალედს, ამასთან, გამოსავალი სიგნალი იქნება საკმარისად მაღალი. თუმცა, სიხშირის ამაღლება შესაძლებელია მხოლოდ სიხშირეთა განსაზღვრულ დიაპაზონში, რადგან მაღალი სიხშირეებისას, კოჭას იმპედანსი მნიშვნელოვნად იზრდება; ასევე აუცილებელია გამტარების კარგი ეკრანიზირება.

ინდუქციური კოჭას სრული იმპედანსი შედგება აქტიური და რეაქტიული მდგენელებისაგან და ტოლია:

$$Z_L^*(j\omega) = \sqrt{R^2 + X_P^2} \quad (4.1)$$

თავის მხრივ რეაქტიული მდგენელი აღწერს კოჭას ტევადობით და ინდუქციურ თვისებებს და ტოლია:

$$X_P = j\omega L - \frac{1}{j\omega C} \quad (4.2)$$

საერთო სრული იმპედანსი ტოლი იქნება:

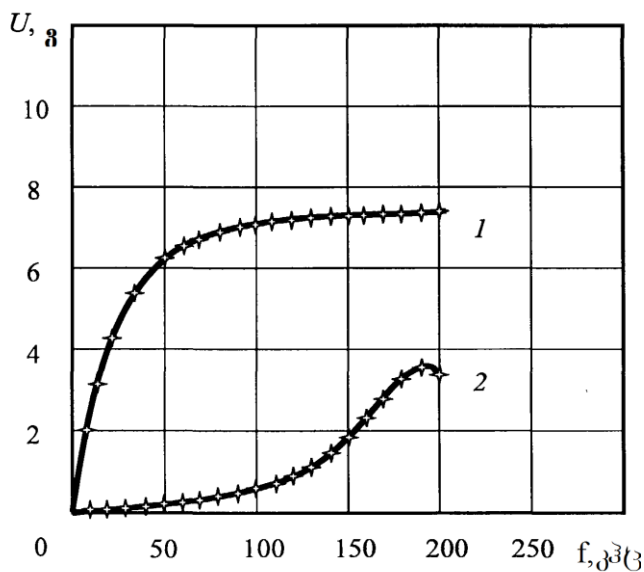
$$Z_L^*(j\omega) = \sqrt{R^2 + \left(j\omega L - \frac{1}{j\omega C}\right)^2} \quad (4.3)$$

განვიხილოთ თითოეული მდგენელის გავლენა ცალ-ცალკე.

აქტიური წინაღობის გავლენა სიმცირის გამო შეიძლება უგულებელვყოთ. რეაქტიული მდგენელის გავლენა განისაზღვრება ძირითადად ინდუქციური მდგენელით, რადგან ტევადობითი მდგენელი სიხშირის უკუპროპორციულია და მაღალსიხშირულ გადამწოდებში მას,

როგორც წესი უგულებელყოფებენ. ანუ, იმპედანსი, ზემოთ აღწერილი დაშვებებით გამოისახება ასე:

$$Z_L^{\wedge}(j\omega) = j\omega L \quad (4.4)$$



ნახ.4.1. სქემის გამოსავალი სიგნალის მგებავი დენის სიხშირეზე დამოკიდებულების გრაფიკი: 1-ერთტრანსფორმატორიანი და 2-ორტრანსფორმატორიანი სქემებისათვის

საერთო სრული იმპედანსი ტოლი იქნება:

$$Z_L^{\wedge}(j\omega) = \sqrt{R^2 + \left(j\omega L - \frac{1}{j\omega C}\right)^2} \quad (4.5)$$

განვიხილოთ თითოეული მდგენელის გავლენა ცალ-ცალკე. აქტიური წინაღობის  $R=1,2\Omega$  გავლენა შეიძლება უგულებელვყოთ. რეაქტიული მდგენელის გავლენა განისაზღვრება ძირითადად ინდუქციური მდგენელით, რადგან ტევადობითი მდგენელი სიხშირის უკუპროპორციულია და მაღალსიხშირულ გადამწოდებში მას, როგორც წესი უგულებელყოფებენ. ანუ, იმპედანსი, ზემოთ აღწერილი დაშვებებით გამოისახება ასე:

$$Z_L^{\wedge}(j\omega) = j\omega L \quad (4.6)$$

(4.6)-დან გამომდინარეობს, რომ მაღალი სიხშირეებისას, კოჭას იმპედანსი იზრდება, ამასთან, მცირდება გამოსავალი სიგნალის მნიშვნელობა. ლიტერატურა [33]-ის მიხედვით ორტრანსფორმატორიანი

სქემებისთვის პუთრი ელექტროგამტარებლობის გაზომვები შეიძლება გაწარმოოთ მაღალსიხშირული კვებისას, ძაბვის სიხშირის დიაპაზონში –100კჸ-200კჸ. ამასთან, ოპტიმალური დიაპაზონი არის 180კჸ - 200კჸ შუალედში.

ტრანსფორმატორის პირველად გრაგნილში შექმნილი ე.მ.ძ შეიძლება გამოთვლილ იქნას ფარადეის კანონთან მიმართებაში. იგი ტოლია:

$$U_1 = W_1 \frac{d\Phi}{dt} \quad (4.7)$$

$U_1$ — პირველადი გრაგნილის ბოლოზე ძაბვის მყისი მნიშვნელობა;  $W_1$ —პირველად გრაგნილში ხვიათა რიცხვი;  $\Phi$ —ჯამური მაგნიტური ნაკადი, გრაგნილის ერთი ხვიის გავლით.

მეორე გრაგნილზე შექმნილი ე.მ.ძ ტოლია:

$$U_2 = W_2 \frac{d\Phi}{dt} \quad (4.8)$$

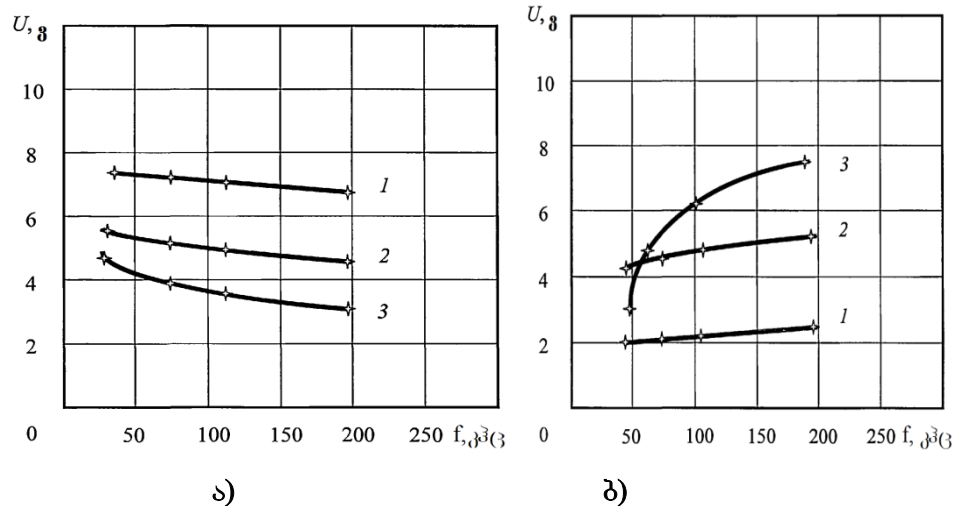
სადაც,  $U_2$  — მეორე გრაგნილზე ძაბვაა,  $W_2$ — მეორად გრაგნილში ხვიათა რიცხვი;

(4.7) (4.8) ფორმულებიდან გამომდინარე ჩანს, რომ გამოსავალი ძაბვა დამოკიდებულია ტრანსფორმატორზე დახვეულ ხვიათა რიცხვზე. ამიტომ, ჩატარებულ იქნა პკლევა და განისაზღვრა ხვიათა ოპტიმალური რაოდენობა ერთ და ორტრანსფორმატორიანი გადამწოდებისათვის.

ხვიების სხვადასხვა რიცხვისას, ძაბვის დამოკიდებულება სიხშირეზე, ერთტრანსფორმატორიანი გამზომი სქემისათვის[33] მიხედვით წარმოდგენილია ნახ.4.2.ა-ზე. ამ გრაფიკიდან ჩანს, რომ 67 ხვიისას გამოსავალი ძაბვა მეტია, ხოლო სტატიკური მახასიათებელი წრფივია. შესაბამისად, სასურველია დავახვიოთ მეტი ხვია, რათა გაუმჯობესდეს მაგნიტური ნაკადი.

ხვიების სხვადასხვა რიცხვისას პირველ ტრანსფორმატორზე, ძაბვის სიხშირეზე დამოკიდებულების გრაფიკი, ორტრანსფორმატორიანი გამზომი სქემისათვის, წარმოდგენილია ნახ.4.2.ბ-ზე. როგორც ამ ნახაზიდან ჩანს, გაზომვის ორტრანსფორმატორიანი სქემის პირველად გრაგნილზე ხვათა რიცხვის შემცირებას

მივყავართ ძაბვის გაზრდამდე მეორე ტრანსფორმატორის გამოსავალ გრადნილზე და ამავე დროს გადამწოდის სტატიკური მახასიათებლის გამრუდებამდე.

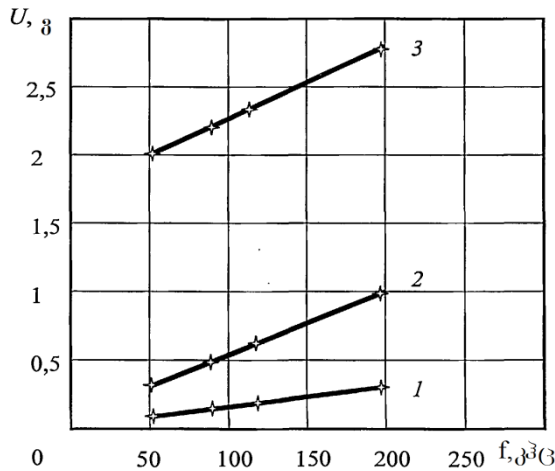


ნახ.4.2. გამოსავალი ძაბვის სიხშირეზე დამოკიდებულების გრაფიკი ხვიათა სხვადასხვა რიცხვისათვის: ა- ერთტრანსფორმატორიანი სქემისათვის და ბ- ორტრანსფორმატორიანი სქემის პირველ ტრანსფორმატორზე. 1-67 ხვია; 2-40 ხვია; 3-20 ხვია.

გაზომვის ორტრანსფორმატორიანი სქემის მეორე ტრანსფორმატორზე ხვიათა სხვადასხვა რიცხვისას, ძაბვის-სიხშირეზე დამოკიდებულების გრაფიკი წარმოდგენილია ნახ.4.3-ზე. ამ ნახაზიდან ჩანს, რომ მეორე ტრანსფორმატორზე ხვიათა რიცხვის შემცირებას მივყავართ გამოსავალი ძაბვის და სქემის მგრძნობიარობის შემცირებისკენ.

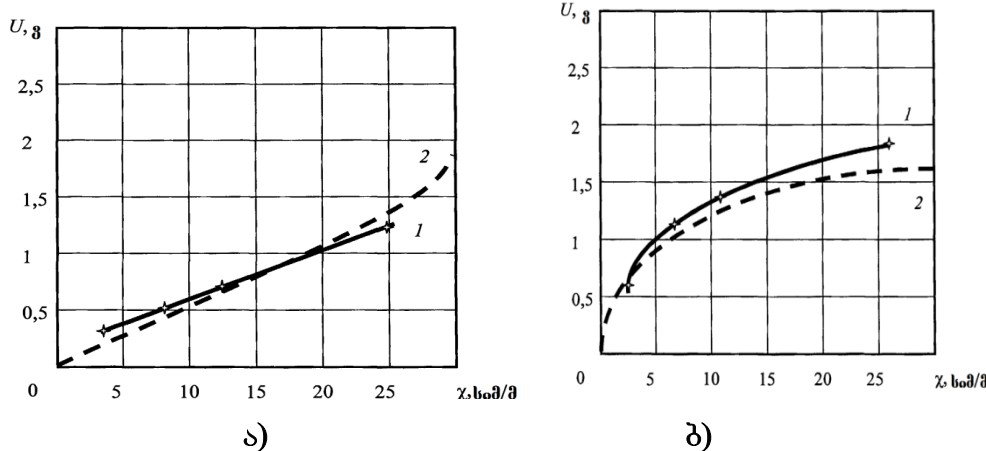
ჩატარებული კვლევებიდან შეიძლება გაკეთდეს დასკვნა, რომ სქემის ოპტიმალური მუშაობისათვის აუცილებელია გაგზარდოთ ხვიათა რიცხვი, რადგან ამით ვზრდით მაგნიტურ ნაკადს; მაგრამ ხვიათა დახვევისას, აუცილებელია გავითვალისწინოთ, რომ ტოროიდალური გულარის შიდა დიამეტრი მცირდება, რის გამოც მცირდება სითხიანი ხვიის დიამეტრი და დაბლა ვარდება ხელსაწყოს გაზომვის დიაპაზონი მაღალი ელექტროგამტარებლობის მხარეს.

კვლევის მიღებულმა შედეგებმა საშუალება მოგვცეს მოგვეხდინა ხვიათა რიცხვისა და მაღალსიხშირული გადამწოდის მკვებავი ძაბვის ოპტიმიზაცია და მიგვედო წრფივი სტატიკური მახასიათებელი.



ნახ.4.3. გამოსავალი ძაბვის სიხშირეზე დამოკიდებულების გრაფიკი სვიათა სხვადასხვა რიცხვისათვის: ორტრანსფორმატორიანი სქემის მეორე ტრანსფორმატორზე. 1- 67 ხვია; 2- 40 ხვია; 3- 20 ხვია.

სქემის სტატიკური მახასიათებლის განსაზღვრისათვის გამოყენებულია  $\text{NaCl}$  ხსნარი, წყალში სხვადასხვა კონცენტრაციით.



ნახ.4.4. ა- გაზომვის ორტრანსფორმატორიანი და ბ- ერთტრანსფორმატორიანი სქემის სტატიკური მახასიათებლები: 1- ექსპერიმენტული; 2- მათემატიკური მოდელით.

სტატიკური მახასიათებლების განსაზღვრა გაზომვის ორტრანსფორმატორიანი სქემისათვის, ინფორმაციული პარამეტრით ძაბვის მიხედვით, მდგომარეობს გამოსავალი მაღალსიხშირული ძაბვის განსაზღვრაში ( $190 \text{ A/cm}^2$ ), გადამწოდის მეორე ტრანსფორმატორის მეორადი გრადნილიდან, B7-38 ვოლტმეტრის მეშვეობით.

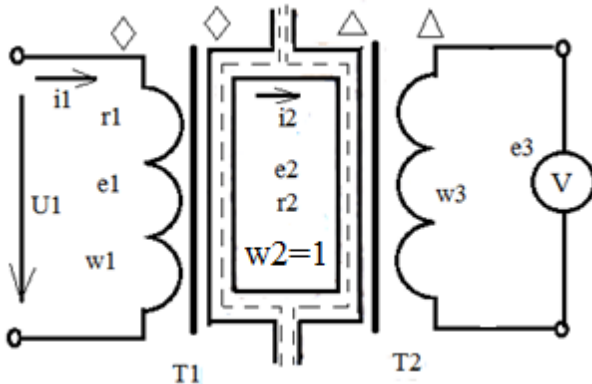
ორტრანსფორმატორიანი სქემისაგან განსხვავებით, სტატიკური მახასიათებელი ერთტრანსფორმატორიანი სქემისათვის განისაზღვრება მაღალსიხშირული ძაბვის გარდნით ( $200 \text{ A/cm}^2$ ), ცნობილ წინადობაზე.

ექსპერიმენტული სტატიკური მახასიათებელი, ერთ და ორგრანსფორმატორიანი სქემისათვის და მათი მათემატიკური მოდელები (2.12) და (2.32) წარმოდგენილია ნახ.4.4.ა და ნახ.4.4.ბ, საიდანაც ჩანს, რომ მათემატიკური მოდელის სტატიკური მახასიათებელი და ექსპერიმენტული გზით მიღებული შედეგები ემთხვევა, რაც საშუალებას გვაძლევს შემუშავებული მოდელები გამოვიყენოთ უკონტაქტო ტრანსფორმატორული კონდუქტორების პროექტირებისას, რომლებიც მუშაობენ თხევადი ხვიის პრინციპით.

#### **4.2. თხევადხვიიანი კონდუქტორმეტრის მათემატიკური მოდელის დამუშავება ოპტიმალური პარამეტრების განსაზღვრის მიზნით**

კონდუქტორმეტრებით ზუსტი გაზომვების ჩატარების მიზნით საჭიროა ხელსაწყოს მგრძნობიარობა იყოს რაც შეიძლება მაღალი. ცნობილია, რომ ხელსაწყოს მგრძნობიარობა განისაზღვრება როგორც მის გამოსავალზე გამომავალი სიგნალის ფარდობა მისი ცვლილების გამომწვევი პარამეტრის სიდიდესთან.

ბოგური სქემების გამოყენების დროს, მაქსიმალური მგრძნობიარობის მისაღწევად მიზანშეწონილია ბოგას კვების წყარო იყოს უსასრულოდ მცირე შიდა წინაღობით (ძაბვის წყარო), ხოლო გამოსავალი სიგნალი გაიზომოს უსასრულოდ დიდი წინაღობის ვოლტმეტრით (იდეალური ვოლტმეტრი) [34]. ამ პირობის გათვალისწინებით თხევადხვიიანი კონდუქტორმეტრის ჩანაცვლების სქემას ექნება ნახ.4.5-ზე წარმოდგენილი სახე.



ნახ.4.5. თხევადხვიიანი კონდუქტომეტრის ჩანაცვლების სქემა.

წარმოდგენილ ნახაზზე  $T_1$  და  $T_2$  ტოროიდალურ გულარაზე დახვეული კონდუქტომეტრის შემავალი და გამომავალი ტრანსფორმატორებია. როგორც ნახ.4.5-დან ჩანს, რომ  $T_1$  ტრანსფორმატორის მეორეულ გრაგნილს და  $T_2$  ტრანსფორმატორის პირველად გრაგნილს წარმოადგენს ერთი მთლიანი თხევადი ხვია, ანუ ამ ტრანსფორმატორებს შორის კავშირი ხორციელდება თხევად ხვიაში გამავალი დენის მიერ შექმნილი მაგნიტური ნაკადით, ხოლო განსახილველი კონდუქტომეტრის გამოსავალ სიგნალს წარმოადგენს  $T_2$  ტრანსფორმატორის მეორეულ გრაგნილში დაინდუქცირებული  $E_3$  ემბ-ის მოქმედი მნიშვნელობა.

რადგანაც  $T_2$  ტრანსფორმატორის მეორეულ გრაგნილში ჩართულია უსასრულოდ დიდი წინადობის ვოლტმეტრი, ამიტომ ამ გრაგნილში დენი არ გადის და ვოლტმეტრი გვიჩვენებს თხევად ხვიაში გამავალი დენის მიერ შექმნილი ნაკადის ცვლილებით აღძრულ ურთიერთინდუქციის ემბ-ის მოქმედ მნიშვნელობას-  $E_3$ -ს.

$E_3$  ემბ-ის მოქმედი მნიშვნელობის ტრანსფორმატორების მაგნიტურ მასალაზე დამოკიდებულების შესწავლის მიზნით, წრფივი ელექტრული წრედების თეორიის საფუძველზე [35], ნახ.4.5-ზე წარმოდგენილი ჩანაცვლების სქემისათვის ვწერთ დიფერენციალურ განტოლებათა სისტემას:

$$\left. \begin{aligned} u_1 &= r_1 i_1 + L_{11} \frac{di_1}{dt} - L_{12} \frac{di_2}{dt}; \\ 0 &= r_2 i_2 + L_{22} \frac{di_2}{dt} - L_{21} \frac{di_1}{dt}; \end{aligned} \right\} \quad (4.9)$$

სადაც,  $r_2$ -ელექტროლიტის გასაზომი ომური წინაღობაა, რომლის შებრუნებულ სიდიდეს წარმოადგენს ელექტროლიტის ელექტროგამტარობა;  $r_1$  -  $T_1$  ტრანსფორმატორის პირველადი გრაგნილის ომური წინაღობაა;  $L_{11}$ -ამავე ტრანსფორმატორის პირველადი გრაგნილის თვითინდუქციის კოეფიციენტია;  $L_{22}$  - თხევადი ხვის თვითინდუქციის კოეფიციენტია;  $L_{12}=L_{21}-T_1$  ტრანსფორმატორის პირველად გრაგნილსა და თხევადხვის შორის არსებული ურთიერთინდუქციურობის კოეფიციენტია;  $u_1 = T_1$  ტრანსფორმატორის პირველად გრაგნილზე მოდებული ძაბვაა.

თავის მხრივ,  $L_{11} = W_1^2 \lambda_1$ , სადაც  $W_1 = T_1$  ტრანსფორმატორის პირველადი გრაგნილის ხვიათა რიცხვია;  $L_{22} = W_2^2 (\lambda_1 + \lambda_2) = \lambda_1 + \lambda_2$ , რადგან თხევად ხვიათა რიცხვი  $W_2 = 1$ ;

$L_{12} = L_{21} = W_1 W_2 \lambda_1 = W_1 \lambda_1 - T_1$  ტრანსფორმატორის პირველად გრაგნილსა და თხევად ხვის შორის ურთიერთინდუქციურობის კოეფიციენტია;  $\lambda_1, \lambda_2 = T_1$  და  $T_2$  ტრანსფორმატორების მაგნიტური გამტარობებია, რომლებიც თავის მხრივ ტოლია:

$$\lambda_1 = \mu_0 \mu_1 S_1 / 2\pi R_1, \quad \lambda_2 = \mu_0 \mu_2 S_2 / 2\pi R_2; \quad \text{სადაც}, \quad \mu_0 = 4\pi \cdot 10^{-7} \text{ज} \text{ნ}/\text{მ} \quad -$$

მაგნიტური მუდმივაა,  $S_1, S_2$  - მაგნიტური გამტარის განივავეთის ფართობებია,  $R_1, R_2$  - მაგნიტური გამტარის რადიუსებია.

ამოგესნათ (4.9) სისტემა კომპლექსური ამპლიტუდების მეთოდით, ამისათვის წარმოვადგინოთ იგი ასეთი სახით:

$$\left. \begin{aligned} \dot{U}_1 &= (r_1 + j\omega L_{11})\dot{I}_1 - j\omega L_{12}\dot{I}_2 \\ 0 &= (r_2 + j\omega L_{22})\dot{I}_2 - j\omega L_{21}\dot{I}_1 \end{aligned} \right\} \quad (4.10)$$

სადაც,  $\omega = 2\pi f$ , მოდებული ძაბვის კუთხური სიხშირეა, რადიანი/წმ.

(4.10)-დან გვექნება:

$$\dot{I}_2 = \frac{j\omega L_{12}\dot{U}_1}{r_1 r_2 + \omega^2 (L_{12}^2 - L_{11}L_{22}) + j\omega(L_{11}r_2 + L_{22}r_1)} \quad (4.11)$$

თუ ჩავთვლით, რომ  $\dot{U}_1 = U_1$ , (4.11) -დან შესაბამისი გარდაქმნებით მივიღებთ:

$$\dot{I}_2 = \frac{j\omega L_{12}U_1}{\sqrt{[r_1 r_2 + \omega^2 (L_{12}^2 - L_{11}L_{22})]^2 + [\omega(L_{11}r_2 + L_{22}r_1)]^2}} \quad (4.12)$$

თხევად ხვიაში ინდუქცირებული დენის მყისი მნიშვნელობა (4.12) თანახმად, გამოისახება შემდეგნაირად:

$$i_2 = \frac{\sqrt{2}\omega L_{12}U_1 \sin(\omega t - \varphi)}{\sqrt{[r_1 r_2 + \omega^2(L_{12}^2 - L_{11}L_{22})]^2 + [\omega(L_{11}r_2 + L_{22}r_1)]^2}} \quad (4.13)$$

განვსაზღვროთ გამომავალი სიგნალის ( $e_3$ ) მყისი მნიშვნელობა.

ელექტრომაგნიტური ინდუქციის კანონისა და [36]-ს თანახმად:

$$e_3 = -(-L_{32}) \frac{di_2}{dt} = L_{32} \frac{di_2}{dt} \quad (4.14)$$

სადაც,  $L_{32} = W_2 W_3 l_2$

(4.14)-დან (4.13)-ის გათვალისწინებით მივიღებთ:

$$e_3 = \frac{\sqrt{2}\omega^2 L_{12} L_{23} U_1 \cos(\omega t - \varphi)}{\sqrt{[r_1 r_2 + \omega^2(L_{12}^2 - L_{11}L_{22})]^2 + [\omega(L_{11}r_2 + L_{22}r_1)]^2}} \quad (4.15)$$

$L_{11}$ ,  $L_{22}$ ,  $L_{12}$  და  $L_{23}$  გამოსახულებების გათვალისწინებითა და შესაბამისი გარდაქმნების შედეგად ინდუქცირებული ე.მ.პ-ის მოქმედ მნიშვნელობას ექნება შემდეგი სახე:

$$E_3 = \frac{W_1 W_3 \lambda_1 \lambda_2 \omega^2 U_1}{\sqrt{[r_1 r_2 + \omega^2(W_1^4 \lambda_1^2 - W_1^2 \lambda_1 (\lambda_1 + \lambda_2))]^2 + [\omega(W_1^2 r_2 + (\lambda_1 + \lambda_2 r_1))]^2}}$$

(4.16)

გამოსავალი სიგნალის მიღებული ანალიზური გამოსახულება (4.16) გვიჩვენებს, რომ საზომი გარდამქმნელის მგრძნობიარობა წარმოადგენს რვა დამოუკიდებელი პარამეტრის ფუნქციას: მოდებული ძაბვის მოქმედი მნიშვნელობის  $U$ , კვების წყაროს  $f$  სიხშირის, შემავალი და გამომავალი ტრანსფორმატორების ხვიათა რიცხვების  $W_1$  და  $W_3$ ; შემავალი და გამომავალი ტრანსფორმატორების მაგნიტური გამტარობების  $\lambda_1$  და  $\lambda_2$ ; შემავალი ტრანსფორმატორის ომური წინაღობის  $R_1$ , საკვლევი სითხის წინაღობის  $R_2$ .

(4.16) გამოსახულებიდან ცხადად ჩანს, რომ გამოსავალი ტრანსფორმატორის ხვიათა რიცხვის  $W_3$  გაზრდითა და კვების წყაროს ძაბვის გაზრდით გამოსავალი სიგნალის სიდიდე იზრდება (რადგან ეს სიდიდები იმყოფებიან მხოლოდ (4.16) გამოსახულების მრიცხველში), ხოლო შემავალი ტრანსფორმატორის ომური წინაღობის გაზრდით – მცირდება (ეს სიდიდე მხოლოდ გამოსახულების მნიშვნელშია). ომური

წინალობის შემცირება მიგვითითებს, რომ შემავალი ტრანსფორმატორის ხვიათა რიცხვი უნდა იყოს რაც შეიძლება მცირე რაოდენობის ან დიდი კვეთის (რაც თხევადხვითან კონდუქტორების გადამწოდის კონსტრუქციიდან და ზომებიდან გამომდინარე შეუძლებელია).

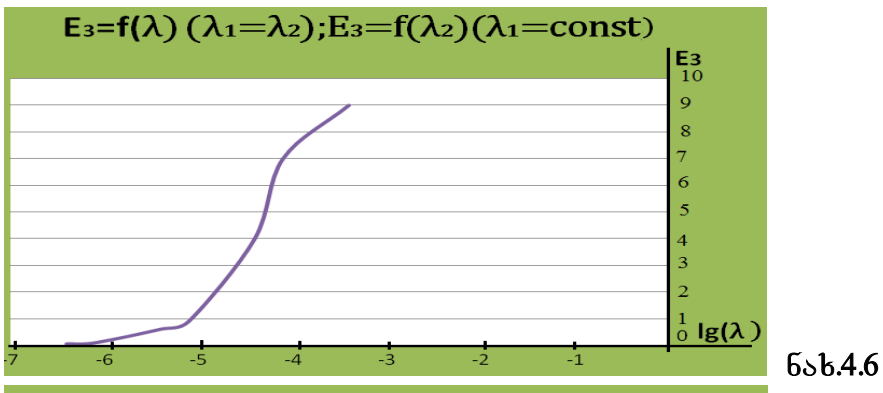
როგორც ზემოთ აღვნიშნეთ თხევად ხვითანი კონდუქტორები შემავალი ტრანსფორმატორის მეორეული გრაგნილისა და გამომავალი ტრანსფორმატორის პირველადი გრაგნილის როლს ასრულებს თხევადი ხვია ხვიათა რიცხვით 1. თუ მაგალითად, შემავალი ტრანსფორმატორის პირველადი გრაგნილი შეიცავს 10 ხვიას და კონდუქტორები ჩართულია 10ვ ძაბვაზე, მაშინ ერთ ხვიას შეესაბამება 1ვ ძაბვა და ტრანსფორმატორის ტრანსფორმაციის კოეფიციენტიდან გამომდინარე თხევად ხვიაზე მოდის 1ვ ძაბვა. იმისათვის, რომ თხევად ხვიას მაქსიმალურად გადაეცეს შემავალი ტრანსფორმატორის პირველად გრაგნილზე მოდებული ძაბვა, საჭიროა შემავალი ტრანსფორმატორის პირველადი გრაგნილი შესრულდეს ერთი ხვიით, რაც არც თუ ისე ადგილია, რადგან ერთი ხვიის აქტიური წინადობა თითქმის ნულის ტოლია და ეს გამოიწვევს კვების წყაროს დამოკლებას. ამის თავიდან ასაცილებლად საჭიროა მოვახდინოთ ტრანსფორმატორის გულარების შერჩევა, რომლებიც შემავალი ტრანსფორმატორის პირველადი გრაგნილის ერთი ხვიის შემთხვევაში გარკვეულ სისტირეზე მოახდენენ ინდუქციური წინადობის იმდენად გაზრდას, რომ არ მოხდება კვების წყაროს დამოკლება.

#### **4.3. თხევადხვითანი კონდუქტორების მგრძნობიარობის მაგნიტურ მასალაზე დამოკიდებულების გამოკვლევა.**

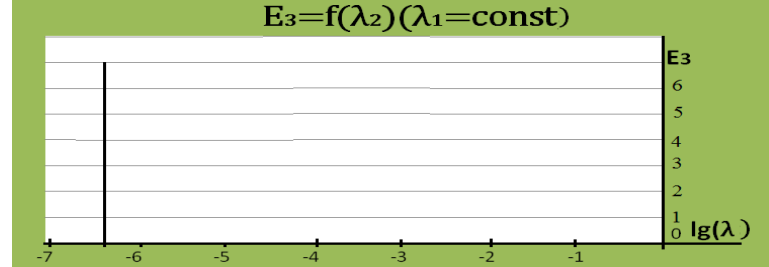
როგორც წინა პარაგრაფში აღვნიშნეთ გამოსავალი სიგნალის მოქმედი მნიშვნელობის გაზრდისათვის საჭიროა მოხდეს ტრანსფორმატორის გულარების მასალების შერჩევა.

ტრანსფორმატორების მაგნიტური მასალის  $E_3$  ემპ-ის მოქმედი მნიშვნელობაზე გავლენის გამოკვლევის მიზნით  $T_1$  და  $T_2$  ტრანსფორმატორებისათვის ავიდეთ ტოროიდალური მაგნიტოგამტარის

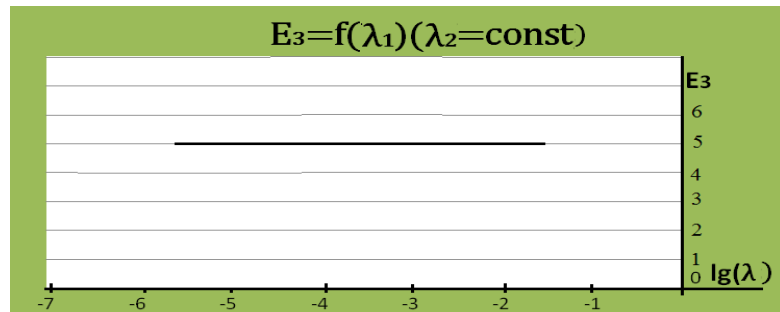
შემდეგი ზომები: გარე რადიუსები  $R_1 = R_2 = 18$  მმ, შიდა რადიუსები  $r_1 = r_2 = 8$  მმ, სისქით 5 მმ, შესაბამისად მათი საშუალო რადიუსი იქნება  $R_{\text{სშ}} = 13$  მმ. ვიგულისხმეთ, რომ მაგნიტოგამტარებად შეიძლება როგორც ფერიტების, ასევე ამორფული მასალებისაგან დამზადებული გულარების გამოყენება და ამიტომ მაგნიტური შეღწევადობა  $\mu$  ვცვალეთ 500–500000 შუალედში. გაანგარიშებისათვის ასევე მივიღეთ, რომ:  $U_1 = 13$ ,  $W_1 = 10$ ,  $W_3 = 100$ ;  $f = 10^4$  ტ,  $r_1 \rightarrow 0$ ,  $r_2 = 5$ . ამ მონაცემების მიხედვით მაგნიტოგამტარების ფარდობითი მაგნიტური შეღწევადობის სხვადასხვა მნიშვნელობებისათვის გავიანგარიშეთ გამოსავალ  $T_2$  ტრანსფორმატორის მეორეულ გრაგნილზე დაინდუცირებული  $E_3$  ემბის სიდიდეები და ავაგეთ ამ ემბის მაგნიტურ შეღწევადობაზე დამოკიდებულების გრაფიკები, რომლებიც წარმოდგენილია ნახ.4.6-ზე, ნახ.4.7-ზე და ნახ.4.8-ზე -ზე.



ნახ.4.6



ნახ.4.7



ნახ.4.8.

როგორც ნახ.4.6-დან ჩანს, როცა  $\lambda_1 = \lambda_2$ , მაშინ მაგნიტური გამტარობების ერთდროულ ზრდასთან ერთად გამოსავალი  $T_2$  ტრანსფორმატორის მეორეულ გრაგნილზე შესაბამისად იზრდება დაინდუქცირებული  $E_3$  ემპ-ის მოქმედი მნიშვნელობებიც.  $E_3$  ემპ-ის ცვლილებას იგივე ხასიათი აქვს იმ დროსაც, როცა  $\lambda_1 = \text{const}$  და იცვლება მხოლოდ  $\lambda_2$ .

ნახ.4.7-ის ანალიზი გვიჩვენებს, რომ როცა შემავალი  $T_1$  ტრანსფორმატორის მაგნიტური გამტარის გამტარობა მუდმივია ( $\lambda = \text{const}$ ), მაშინ გამომავალი  $T_2$  ტრანსფორმატორის მაგნიტური გამტარის გამტარობის ზრდის პროპორციულად იზრდება გამომალი  $E_3$  ემპ-ის მოქმედი მნიშვნელობაც.

ნახ.4.8-ის ანალიზი გვიჩვენებს, რომ როცა გამომავალი  $T_2$  ტრანსფორმატორის მაგნიტური გამტარის გამტარობა მუდმივია ( $\lambda = \text{const}$ ), მაშინ შემავალი  $T_1$  ტრანსფორმატორის მაგნიტური გამტარის გამტარობის  $\lambda_1$  ცვლილებისას  $E_3$  ემპ-ის მოქმედი მნიშვნელობა მუდმივი სიდიდეა.

კონდუქტორულების მგრძნობიარობის მაგნიტურ მასალაზე დამოკიდებულების გამოკვლევამ გვიჩვენა, რომ კონდუქტორულების მგრძნობიარობის გაზრდისათვის საკმარისია მაღალი მაგნიტური შეღწევადობის ძვირად დირებული ამორფული მასალებისაგან დამზადებული იქნეს მხოლოდ გამომავალი  $T_2$  ტრანსფორმატორის გულარა, ხოლო შემავალი  $T_1$  ტრანსფორმატორის გულარად შეიძლება გამოყენებული იქნეს იაფფასიანი ფერიტები [31].

#### 4.4. თხევადხვიიანი კონდუქტომეტრის შემავალი ტრანსფორმატორის გულარას ოპტიმალური ფარდობითი მაგნიტური შეღწევადობისა და მასალის განსაზღვრა

როგორც ზემოთ აღვნიშნეთ, თხევადი გარემო, რომელიც წარმოადგენს შემავალი ტრანსფორმატორის მეორეულ გრაგნილს [37], წარმოდგინდება ერთი ხვიის სახით ( $W_2 = 1$ ) და ამასთანავე საჭიროა კონდუქტომეტრის შემავალი ტრანსფორმატორის პირველად გრაგნილზე მოდებული ძაბვა ტრანსფორმირების შემდეგ რაც შეიძლება მაქსიმალური სიდიდით მოედოს თხევად ხვიაზე. ტრანსფორმატორის ტრანსფორმაციის კოეფიციენტის განსაზღვრებიდან გამომდინარე ეს მოხდება იმ შემთხვევაში, თუ შემავალი ტრანსფორმატორის პირველადი გრაგნილის ხვიათა რიცხვიც  $W_1=1$ . წინა პარაგრაფში მოყვანილმა გამოკვლევებმა გვიჩვენა, რომ მგრძნობიარობის გაზრდისათვის შემავალი  $T_1$  ტრანსფორმატორის გულარად შეიძლება გამოყენებული იქნეს იაფფასიანი ფერიტები, მაგრამ ფერიტების ფარდობითი მაგნიტური შეღწევადობა არ აღემატება 50 000, რაც საკმარისი არ არის. აქედან გამომდინარე, უნდა განისაზღვროს კონდუქტომეტრის შემავალი ტრანსფორმატორის პირველადი გრაგნილის გულარას ისეთი ფარდობითი მაგნიტური შეღწევადობა ერთი ხვიის შემთხვევაში, რომელიც 10<sup>3</sup> შემავალი ძაბვის პირობებში ერთ ხვიაში უზრუნველყოფს არაუმეტეს 3ა დენის გავლას. იმის გამო, რომ კონდუქტომეტრები მუშაობენ დაბალი ძაბვის (არაუმეტეს 10<sup>3</sup>) პირობებში, ამიტომ თხევად ხვიაზე ამ სიდიდის ძაბვის მოსადებად საჭიროა ტრანსფორმაციის კოეფიციენტი იყოს 1-ის ტოლი ( $\kappa=1$ ). ეს შესაძლებელია იმ შემთხვევაში, თუ შემავალი ტრანსფორმატორის პირველადი გრაგნილის ხვიათა რიცხვი ტოლი იქნება 1; ერთ ხვიას გააჩნია თითქმის ნულის ტოლი აქტიური წინადობა  $R \approx 0$  და მისი მიერთება კვების წყაროსთან გამოიწვევს კვების წყაროს დამოკლებასა და მწყობრიდან გამოსვლას. ამის თავიდან აცილებისათვის საჭიროა შეირჩეს ისეთი მაგნიტური შეღწევადობის გულარა, რომელიც ერთი

სვის შემთხვევაში ოპტიმალურ 10000 ჰე სისშირეზე უზრუნველყოფს რეაქტიულ წინაღობის ისეთ სიდიდეს, რომ შემავალი ტრანსფორმატორის პირველად გრაგნილში გაიაროს არაუმეტეს 3 სიდიდის დენძა. კოჭას რეაქტიული წინაღობის სიდიდის გამოკვლევა ჩავატარეთ შემდეგი ზომების მაგნიტოგამტარზე:  $S = 50 \cdot 10^{-6} \Omega^2$ ;  $R = 18 \cdot 10^{-3} \Omega$ ; ფარდობითი მაგნიტური შეღწევადობის  $\mu$ -ს ცვლილება ვაწარმოეთ  $500 \div 500000$  შუალედში.

ლიტერატურიდან [27] ცნობილია, რომ ინდუქციური კოჭას რეაქტიული წინაღობა გამოითვლება ფორმულით:

$$X_L = \omega L = 2\pi f L, \quad (4.17)$$

სადაც,  $f$ -სისშირეა(ჸ);  $L$ - კოჭას თვითინდუქციის კოეფიციენტი(ჸ); რომელიც თავის მხრივ გამოითვლება ფორმულით:

$$L = W_1^2 \lambda, \quad (4.18)$$

სადაც,  $W_1$  - შემავალი ტრანსფორმატორის პირველადი გრაგნილის ხვიათა რიცხვია და ჩვენს შემთხვევაში  $W_1 = 1$ , ხოლო  $\lambda$ -მაგნიტური გამტარობაა (ჸ/მ); რომელიც თავის მხრივ ტოლია:

$$\lambda = \mu \mu_0 \frac{s}{l} \quad (4.19)$$

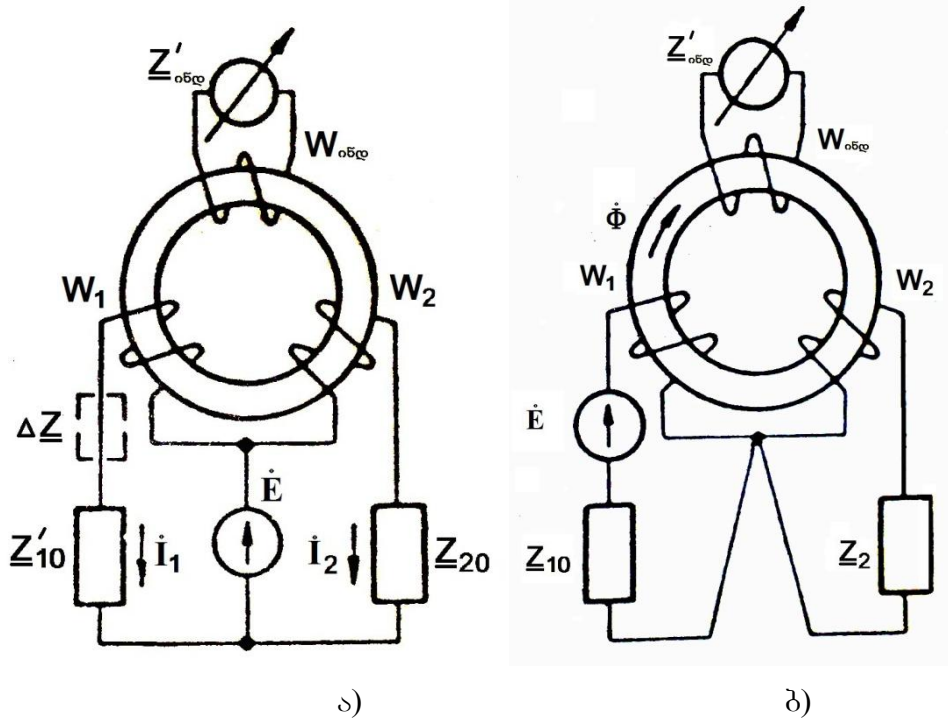
სადაც,  $I = 2\pi R$ , მაგნიტოგამტარის საშუალო სიგრძეა(მ); ხოლო  $\mu_0 = 4\pi \cdot 10^{-7}$ -მაგნიტური მუდმივაა (ჸ/მ); ამ მონაცემების მიხედვით ჩატარებული გამოკვლევებით მივიღეთ, რომ შემავალი  $T_1$  ტრანსფორმატორის პირველადი გრაგნილის რეაქტიული წინაღობის სიდიდე გულარას ფარდობითი მაგნიტური შეღწევადობის  $500 \div 50000$  ფარგლებში ცვლილებისას იცვლება  $0,02 \div 19$  ომი ფარგლებში. ამოცანის პირობიდან გამომდინარე შეგვიძლია დავასკვნათ, რომ შემავალი ტრანსფორმატორის ერთხვიიან პირველად გრაგნილში არაუმეტეს 3 დენძა გავლას 10 ჰ ძაბვის დროს, 10000 ჰე სისშირეზე, გულარას მოცემული გეომეტრული ზომების დროს, უზრუნველყოფს 100000 ფარდობითი მაგნიტური შეღწევადობის მქონე გულარა. ასეთი სიდიდის მაგნიტური შეღწევადობა გააჩნია თანამედროვე ამორფული მასალებისაგან დამზადებულ გულარებს. მოცემული გეომეტრული ზომებით ამ მასალებისაგან დამზადებული გულარების შემთხვევაში

პირველადი გრაგნილის რეაქტიული წინაღობა 4 ომის ტოლია, ხოლო გრაგნილში გამავალი დენის სიდიდე 2,5 ამპერი, რაც სავსებით მისაღებია მაღალი მგრძნობიარობისათვის. ჩატარებული გამოკვლევების საფუძველზე დადგენილ იქნა, რომ კონდუქტორული გარდამქმნელის შემავალი ტრანსფორმატორის პირველადი გრაგნილი შესაძლებელია შესრულდეს ერთი ხვით სხვადასხვა გეომეტრული ზომის ამორფული მასალისაგან დამზადებულ გულარაზე, რომელიც საჭირო სიხშირეზე კონდუქტორისათვის დასაშვები ძაბვის პირობებში უზრუნველყოფს დასაშვები დენის გატარებას [37].

#### **4.5. ძაბვის მიხედვით ტრანსფორმატორული საზომი ბოგების მაქსიმალური მგრძნობიარობის განსაზღვრის მიზნით კომპიუტერული პროგრამის ბლოკ-სქემის დამუშავება.**

ელექტრომეტრიაში გაწონასწორების ელექტროსაზომი წრედების მგრძნობიარობის ანალიზის პრობლემა მიეკუთვნება აქტუალურ პრობლემათა რიცხვს და მრავალჯერ მიუქცევია მკვლევართა ყურადღება. უკანასკნელ პერიოდში, ამ პრობლემის მიმართ განსაკუთრებით გაიზარდა ინტერესი, როდესაც გამოჩნდა გაწონასწორების ელექტროსაზომი წრედების მთელი რიგი სახესხვაობები [38], მაგრამ მთელმა რიგმა წრედებმა განსაკუთრებით მწვავედ დააყენა მათგან ოპტიმალური წრედის არჩევის საკითხი, სახელდობრ, მგრძნობიარობის მიხედვით. როგორც ცნობილია, ასეთი ამოცანა ძნელად სრულდება მგრძნობიარობის გაანგარიშების კლასიკური მეთოდის გამოყენებით. დღეისათვის დამუშავებულია ზოგიერთი საერთო მეთოდი, რომელიც დაფუძნებულია ოთხპოლუსებისა და მრავალპოლუსების თეორიაზე, მაგრამ სამწუხა-როდ მათი გამოყენება შეზღუდულია წრედებით, რომელთა მზომი

მდგომარეობა ფასდება თითო გამოსავალი პარამეტრით და შესაბამისად, განსაკუთრებით წრედების ფართო კლასი – კვაზიგაწონასწორებული წრედები – მთლიანად დარჩა ყურადღების მიღმა. ამიტომაც, გასაკვირი არ უნდა იყოს, რომ წონასწორული ელექტრომზომი წრედების მგრძნობიარობის განსაზღვრის ახალი მეთოდების ძიებანი გრძელდება. ჩვენი მიზანია ფერომაგნიტური გულარის თვისებების გათვალისწინებით, მისი კომპლექსური მაგნიტური წინაღობის საფუძველზე, ტრანსფორმატორული საზომი ბოგების ძაბვის მიხედვით მგრძნობიარობის გამოსახულების გამოყვანა და ბოგების ოპტიმალური პარამეტრების განსაზღვრისათვის კომპიუტერული პროგრამის დამუშავება. განვიხილოთ ტრანსფორმატორული ბოგა, რომლის სქემა ნაჩვენებია ნახ.4.9.ა-ზე;



ნახ.4.9.

კვების წყარო  $\dot{E}$ -კვებას თრ შტოს, რომელშიც გადიან  $I_1$  და  $I_2$  დენები.  $Z_1$ ,  $Z_2$  შესადარებელი წინაღობებია. გულარზე განლაგებულია ორი გრაგნილი  $W_1$  და  $W_2$  ხვიებით და ინდიკატორული გრაგნილი  $W_3$  ხვიათა რიცხვით, რომელთანაც ნულოვანი წინაღობაა ჩართული  $Z_3$  [38]. ადგნიშნოთ კოჭას სრული წინაღობები შემდეგნაირად:  $Z_{31}=r_{31}+jx_{31}$ ,

$Z_{32}=r_{k2}+jx_{32}$ ,  $Z_{33}=r_{33}+jx_{33}$ . ისინი განპირობებულნი არიან ფანტვის ნაკადებისა და სპილენძის წინაღობის არსებობით. კვების წყაროს შიდა წინაღობა ჩავთვალოთ ნულის ტოლად, ასევე დაგუშვათ, რომ  $W_1$ ,  $W_2$ ,  $W_3$ , ხვიების მქონე წრედებს შორის კავშირი რეალიზდება გულარში მხოლოდ  $\dot{\Phi}$  მაგნიტური ნაკადით. თავდაპირველად განვიხილოთ წონასწორობაში მყოფი ბოგა, როცა გულარში  $\dot{\Phi}$  მაგნიტური ნაკადი და შესაბამისად, დენი  $I_3$  ნულინდიკატორში ნულის ტოლია.  $I_1$  დენისა და  $Z_1$  წინაღობის მნიშვნელობები, რომელთა დროსაც ადგილი აქვს წონასწორობას, აღვნიშნოთ შესაბამისად:

$I_{10}$  და  $Z_{10}$  – წონასწორობისას გვექნება:

$$I_{10}W_1=I_2W_2 \quad (4.20)$$

სადაც,  $I_{10}=\dot{E}/Z_{10}$ ,  $I_2=\dot{E}/Z_2$  (4.21)

$$\text{ამასთანავე } Z_{10}=Z_{10}+Z_{31} \quad |Z_{31}| << |Z_1| \quad Z_2=Z_2+Z_{32} \quad |Z_{32}| << |Z_2| \quad (4.22)$$

დაგუშვათ, რომ  $Z_{10}$  წინაღობა შეიცვალა მცირე  $\Delta Z$  – სიდიდით და გაუტოლდა  $Z_1=Z_{10}+\Delta Z$ .  $\Delta Z$  წინაღობის შემოყვანა ექვივალენტურია  $\dot{E}_{\text{ავ}}$  – ე.მ.ძ-ის, რომელიც  $|\Delta Z| << |Z_{10}|$  პირობის დროს ტოლია  $\dot{E}_{\text{ავ}} = -I_{10}\Delta Z$ . მაგნიტური ნაკადი გულარში, რომელიც აღიძვრება წრედის წონასწორობის დარღვევისას, მოიძებნება როგორც ნაკადი, გამოწვეული  $\dot{E}_{\text{ავე.მ.ძ.-ით}}$  [39].

როცა წრედში მოქმედებს მხოლოდ ერთი  $\dot{E}_{\text{ავ}}$  ე.მ.ძ., მაშინ სქემას აქვს ნახ.4.9.ბ-ზე მოცემული სახე;  $\dot{\Phi}$  ნაკადის განსაზღვრისათვის გისარგებლოთ ფორმულით:

$$\dot{\Phi}=\sum_{i=0}^n I_{ix}W_i \quad /Z_{\text{ავ.ავ}}. \quad (4.23)$$

$$\text{სადაც, } Z_{\text{ავ.ავ}}=Z_{\text{ავ}} + \sum_{i=0}^n \sum_{l=0}^n j_{w_i w_l} \frac{w_i}{Z_{il}}$$

$I_{ix}$  – არის დენი, რომელიც გაივლიდა წრედის  $i$ -ურ გრაგნილში ე.მ.ძ. ზემოქმედებით, თუ  $Z_{\text{ავ}}$  გულარის მაგნიტური წინაღობა იქნებოდა უსასრულოდ დიდი, წინაღმდეგ შემთხვევაში, გულარში მოთავსებულ  $W_i$  გრაგნილებში არ აღიძვროდა ე.მ.ძ.  $Z_{il}$  – ურთიერთინდუქციურობის წინაღობაა.

$\dot{I}_{1X}, \dot{I}_{2X}, \dot{I}_{3X}$  დენების ვპოულობთ გამომდინარე იმ დაშვებიდან, რომ წრედში მოქმედებს ე.მ.ძ.  $E_{\text{ჯვ}}$  და გულარში ნაკადი ნულის ტოლია ( $\underline{Z}_{\text{ას}}=\infty$ ). ადგილია დავინახოთ, რომ  $\dot{I}_{1X}=\dot{I}_{2X}=0$ , მაშინ

$$\dot{I}_{1x} = \frac{\dot{E}_{\text{ჯვ}}}{\underline{Z}_{10}} = -\frac{\dot{I}_{10}\Delta Z}{\underline{Z}_{10}} = -\dot{I}_{10}\varepsilon, \quad \text{სადაც, } \varepsilon = \frac{\Delta Z}{\underline{Z}_{10}}$$

$$\text{მაშინ, (4.23) თანახმად } \dot{\phi} = \frac{\dot{I}_{1x}W_1}{\underline{Z}_{\text{ას}} \text{ კვ}} = -\frac{\dot{I}_{10}W_1}{\underline{Z}_{\text{ას}} \text{ კვ}} \varepsilon,$$

$$\text{სადაც, } \underline{Z}_{\text{ას}} \text{ კვ} = \underline{Z}_{\text{ა}} + \dot{J}_w \frac{W_1^2}{\underline{Z}_{10}} + \dot{J}_w \frac{W_2^2}{\underline{Z}_2} + \dot{J}_w \frac{W_3^2}{\underline{Z}_3}$$

ვიცით რა  $\dot{\phi}$ , მაშინ ვიპოვით  $\dot{E}_3$ -ე.მ.ძ. რომელიც აღიძგრება ინდიკატორულ გრაგნილში და  $\dot{I}_3$ - ინდიკატორში დენი.

$$\dot{E}_3 = -\dot{J}_w W_3 \dot{\phi} \frac{\dot{J}_w W_3 W_1 \dot{I}_{10}}{\underline{Z}_{\text{ას}} \text{ კვ}} \varepsilon; \quad \dot{I}_3 = \frac{\dot{E}_3}{\underline{Z}_3} = \frac{\dot{J}_w W_3^2}{Z_3} \frac{W_1}{W_3} \frac{\dot{I}_{10}}{\underline{Z}_{\text{ას}} \text{ კვ}} \varepsilon; \quad \dot{I}_3 = \frac{\underline{Z}_{\text{ას}}}{\underline{Z}_{\text{ა}} \text{ კვ}} \dot{I}_{10}^1 \varepsilon;$$

$\underline{Z}_{\text{ას}} = \frac{WW_3^2}{Z_3}$  მაგნიტური წინაღობაა, რომელიც ინდიკატორის წრედის მიერაა შემოყვანილი .  $\dot{I}_1$  არის დენი  $W_1$  გრაგნილში დაყვანილი  $W_3$  ხვიათა რიცხვზე. აქედან, ბოგირის მგრძნობიარობა დენის მიხედვით ტოლია:

$$S_I = \frac{\dot{I}_3}{\varepsilon} = \frac{\underline{Z}_{\text{ა}} \text{ კვ}}{\underline{Z}_{\text{ას}} \text{ კვ}} \dot{I}'_{10} = \frac{\underline{Z}_{\text{ა}} \text{ კვ}}{\underline{Z}_{\text{ა}} + \underline{Z}_{\text{ა}} \text{ კვ} + \underline{Z}_{\text{ა}} \text{ კვ} + \underline{Z}_{\text{ა}} \text{ კვ}} \dot{I}'_{10}$$

თუ ინდიკატორის წრედი გათიშველია ანუ  $Z_3 = \infty$ , მაშინ ინდიკატორული გრაგნილის მომჭერებზე ძაბვა ტოლია:

$$U_{3x} = \dot{E}_3 = -\frac{\dot{I}_{10} W_1 \dot{J}_w W_3}{\underline{Z}_{\text{ა}} + \dot{J}_w \frac{W_1^2}{\underline{Z}_{10}} + \dot{J}_w \frac{W_2^2}{\underline{Z}_2}} \varepsilon$$

მგრძნობიარობა ძაბვის მიმართ ტოლი იქნება:

$$S_u = \frac{U_{3x}}{\varepsilon} = -\frac{\dot{I}_{10} W_1 \dot{J}_w W_3}{\underline{Z}_{\text{ა}} + \dot{J}_w \frac{W_1^2}{\underline{Z}_{10}} + \dot{J}_w \frac{W_2^2}{\underline{Z}_2}} = \frac{\dot{E} / \underline{Z}_{10} W_1 W_3 \dot{J}_w}{\underline{Z}_{\text{ა}} + \dot{J}_w \frac{W_1^2}{\underline{Z}_{10}} + \dot{J}_w \frac{W_2^2}};$$

თუ გავითვალისწინებთ შემდეგ დაშვებებს:

$$\underline{Z}_{\text{ა}} = \frac{\underline{Z}_{10} \underline{Z}_2}{\underline{Z}_{10} + \underline{Z}_2} \quad ; \quad \begin{cases} \underline{Z}_{10} = R_1 + \dot{J}_w (L_1 - M) \\ \underline{Z}_2 = R_2 + \dot{J}_w (L_2 - M) \end{cases}; \quad \begin{cases} \dot{E} = J_1 R_1 + L_1 \frac{di_1}{dt} - M \frac{di_2}{dt} \\ \dot{E} = J_2 R_2 + L_2 \frac{di_2}{dt} - M \frac{di_1}{dt} \end{cases}$$

ჩავთვალოთ, რომ:  $W_1 = W_2 = W; R_1 = R_2 = R; L_1 = W_1^2 \lambda; L_2 = W_2^2 \lambda; M = W_1 W_2 \lambda = W^2 \lambda; \lambda = \mu \mu_0 \frac{S}{l} = \mu \mu_0 C.$

სადაც:

$l$ -ტრანსფორმატორის მაგნიტოგამტარის სიგრძეა,

$\lambda$ - მაგნიტოგამტარობაა,

$R$ -ომური წინაღობაა,

$\mu$ - მაგნიტური შედწევადობაა,

$\mu_0 = 4\pi \cdot 10^{-7}$  ან/ზ - მაგნიტური მუდმივაა,

$S$ - მაგნიტური გულარის განივევეთის ფართობია;

შესაბამისი გამოთვლებისა და გარდაქმნების შედეგად მგრძნობიარობას ძაბვის მიხედვით, ექნება შემდეგი სახე:

$$S_u = \frac{2\dot{E}_{\mathcal{B}\mathcal{B}}WW_3J_w(R^2 + \omega^2W^4\lambda^2)}{-3\lambda^2R^2W^4\omega^2 + J[4\omega R^3W^2\lambda + 4\omega R^2W^2 + 2RW^4\lambda^2]} \quad (4.24)$$

გამოსახულების მრიცხველი აღვნიშნოთ:

$$|\dot{A}| = 2\dot{E}_{\mathcal{B}\mathcal{B}}WW_3\omega(R^2 + \omega^2W^4\lambda^2) \quad (4.25)$$

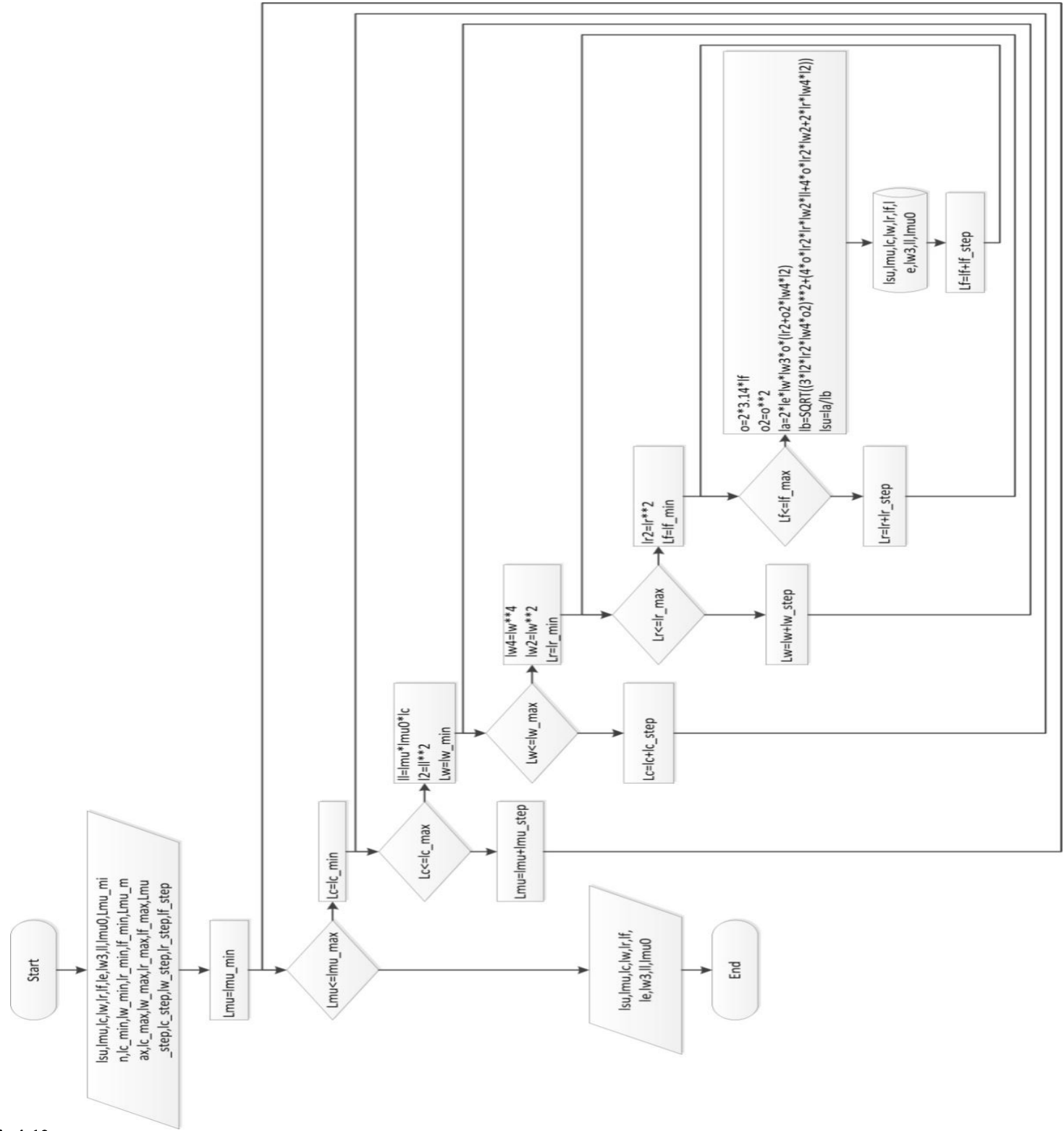
ხოლო მნიშვნელი აღვნიშნოთ:

$$|\dot{B}| = \sqrt{(3\lambda^2R^2W^4\omega^2)^2 + (4\omega R^3W^2\lambda + 4\omega R^2W^2 + 2RW^4\lambda^2)} \quad (4.26)$$

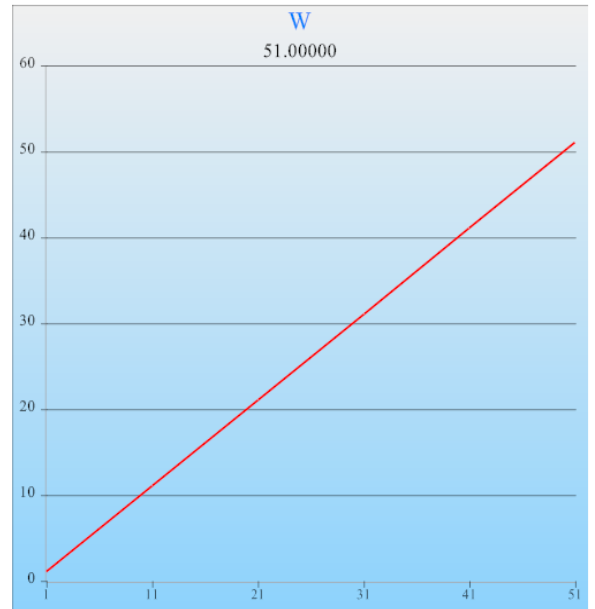
ვინაიდან ხელსაწყო ზომავს ელექტრული სიდიდის მოქმედ

$$\text{მნიშვნელობას, ამიტომ, მივიღოთ, რომ } S_u = \frac{|\dot{A}|}{|\dot{B}|} \quad (4.27)$$

(4.25), (4.26) და (4.27) გამოსახულებების საფუძველზე მაქსიმალური მგრძნობიარობის საპოვნელად შედგენილი იქნა ნახ.4.10-ზე წარმოდგენილი ბლოკ-სქემა, რომლის მიხედვითაც შედგენილი იქნა პროგრამა. პროგრამის მიხედვით გამოკვლეული იქნა მგრძნობიარობის დამოკიდებულება საზომი ბოგირების ელექტრულ და გეომეტრიულ პარამეტრებზე [40]. ნახ.4.11.ა-ზე წარმოდგენილია მგრძნობიარობის დამოკიდებულება მაგნიტოგამტარის მაგნიტურ შედწევადობაზე (Mμ). ნახ.4.11.ბ-ზე-მხრების გრაგნილების ხვიათა რიცხვზე (W), ნახ.4.12.ა-ზე მაგნიტოგამტარის საშუალო სიგრძისა და განივევეთის ფართობის ფარდობაზე (C), ნახ.4.12.ბ-ზე გრაგნილების წინაღობაზე (R) და ნახ.4.13-ზე - სიხშირეზე (F) [41].



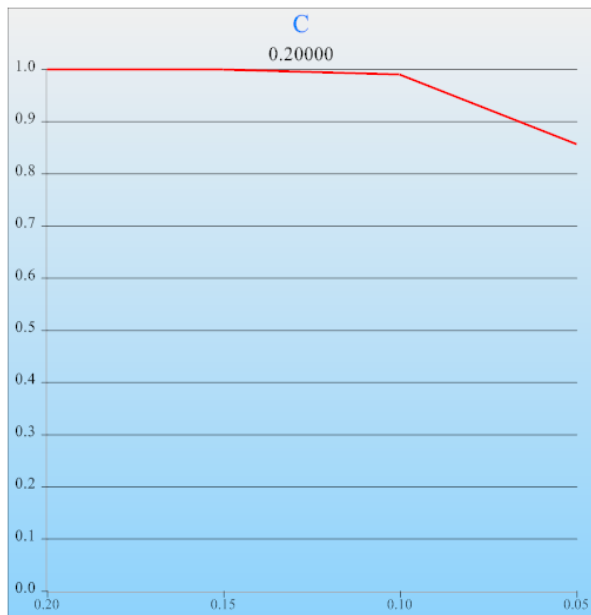
6.4.10



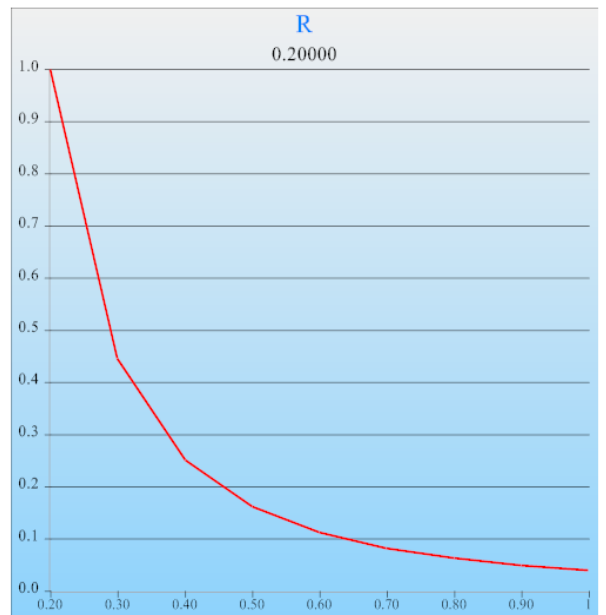
ა)

ბ)

ნახ.4.11. მგრძნობიარობის დამოკიდებულება: ა- მაგნიტოგამტარის მაგნიტურ შეღწევადობაზე; ბ- ბოგას მხრების გრაგნილების ხვიათა რიცხვზე.

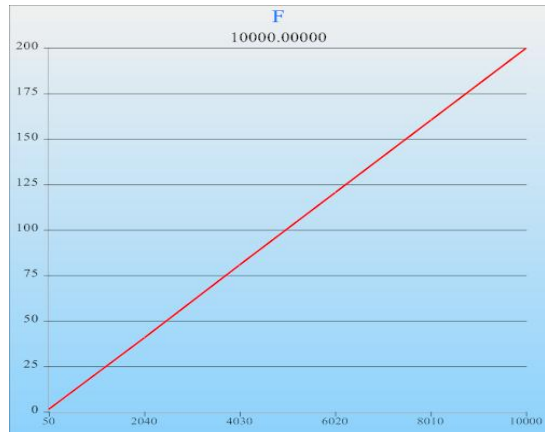


ა)



ბ)

ნახ.4.12. მგრძნობიარობის დამოკიდებულება: ა- მაგნიტოგამტარის საშუალო სიგრძისა და განივევეთის ფართობის ფარდობაზე; ბ-გრაგნილების ომურ წინადობაზე.



#### **ნახ.4.13. მგრძნობიარობის დამოკიდებულება სიხშირეზე.**

როგორც ამ ნახაზებიდან ჩანს, მაგნიტოგამტარის მაგნიტური შეღწევადობის, მხრების გრაგნილების ხვიათა რიცხვისა და სიხშირის გაზრდით მგრძნობიარობა იზრდება; გრაგნილების წინადობის გაზრდით –მცირდება, ხოლო მაგნიტოგამტარის საშუალო სიგრძისა და განივევეთის ფართობის ფარდობის 0,05-0,1 საზღვრებში იზრდება, ხოლო შემდეგი გაზრდით თითქმის მუდმივია.

## დ ა ს პ გ ნ ე ბ ი

1. განხილულია ტრანსფორმატორული კონდუქტორების შედარებით გავრცელებული სქემები, გაანალიზებულია მათი ღირსებები, ნაკლოვანებები და მათი გამოყენების შესაძლო სფეროები.
2. ჩატარებულია კონდუქტორებული ანალიზის არსებული მეთოდების მიმოხილვა, განხილულია კონტაქტური, არაკონტაქტური, ინდუქციური და ტევადობითი პირველადი საზომი გარდამქმნელები, ასევე მათი გამოყენების დარგები
3. შემუშავებულია მათემატიკური მოდელები ტრანსფორმატორული კონდუქტორების ბაზისური სქემებისთვის.
4. მიღებულია სტატიკური მახასიათებლების მათემატიკური მოდელები ერთგრანსფორმატორიანი, ორგრანსფორმატორიანი და მრავალხგიანი ტრანსფორმატორული კონდუქტორებისა, რომელთა მუშაობა დაფუძნებულია უშუალო შეფასებისა და კომპენსაციური მეთოდების გამოყენებაზე.
5. მიღებული მათემატიკური მოდელების საფუძველზე, მოყვანილია გრაფიკები ტრანსფორმატორული კონდუქტორების ყველა წარმოდგენილი სქემისათვის.
6. განხილულია შედარებით მეტად გავრცელებული კონდუქტორებული პირველადი საზომი გარდამსახები, გამომჟღავნებულია მათი ღირსებანი, ნაკლოვანებებიც, და ნაჩვენებია, რომ ინდუქციური პირველადი საზომი გარდამქმნელები თავისი სიმარტივის, საიმედოობის, მგრძნობიარობებისა და უწყვეტ ტექნოლოგიურ პროცესში მათი გამოყენების შესაძლებლობებით პოპულარული არიან წარმოების სხვადასხვა დარგებში, სადაც მოითხოვება კარგად გამტარი ნივთიერებების, მარილებისა და ელექტროლიტების კუთრი ელექტროგამტარებლობის გაზომვა;

7. ტრანსფორმატორული კონდუქტორების ყველა სქემისათვის განსაზღვრულია მგრძნობიარობების მათემატიკური მოდელები და აგებულია გრაფიკები;;
8. მიღებულია აბსოლუტური, ფარდობითი ცდომილებების მათემატიკური მოდელები და ტრანსფორმატორული კონდუქტორების ბაზისური სქემების საშუალო კვადრატული ცდომილებები;
9. საშუალოკვადრატული ცდომილების მინიმუმის კრიტერიუმის საფუძველზე ჩატარებულია ტრანსფორმატორული კონდუქტორების სქემების სტრუქტურული ოპტიმიზაცია. შედარებითი ანალიზიდან გამომდინარე მიღებულია, რომ მრავალგრადნილიანი ტრანსფორმატორების კომპენსაციური სქემები, ინფორმაციული პარამეტრით დენის მიხედვით, იძლევიან საუკეთესო შედეგებს;
10. დამტკიცებულია ადგევატურობა შემუშავებული ტრანსფორმატორული კონდუქტორების სქემების მათემატიკური მოდელებისა, ექსპერიმენტალურ კონდუქტორების დანადგარზე;
11. განსაზღვრულია სისშირეთა ოპტიმალური დიაპაზონები და ხვიათა რიცხვი, ერთტრანსფორმატორიანი და ორტრანსფორმატორიანი სქემებისათვის;
12. განსაზღვრულია, რომ სქემის ოპტიმალური მუშაობისათვის აუცილებელია ხვიების რაოდენობა გავზარდოთ, რადგან იზრდება მაგნიტური ნაკადი, მაგრამ ხვიების დახვევისას აუცილებელია გავითვალისწინოთ, რომ ტოროიდალური გულარას შიდა დიამეტრი მცირდება, რის გამოც მცირდება თხევადი ხვიის დიამეტრი და მცირდება ხელსაწყოს გაზომვის დიაპაზონი, მაღალი კუთრი ელექტროგამტარებლობის მხარეს;
13. დამუშავებული იქნა თხევადხვიიანი კონდუქტორების პირველადი საზომი გარდამქმნელის (უჯრედის) მათემატიკური მოდელი;
14. დამუშავებული მათემატიკური მოდელის საფუძველზე შედგენილი იქნა ბლოკ-სქემა და პროგრამა, რის საფუძველზეც

განისაზღვრა კონდუქტორებრული უჯრედის მაქსიმალური  
მგრძნობიარობის შესაბამისი ოპტიმალური კონსტრუქციული და  
ელექტრომაგნიტური პარამეტრები

## 8 9 0 9 6 9 0 9 0 9 0 9 0 9 0 9 0

- 1.Андреев В.С., Романов Ю.Р. Расширение рабочего диапазона индуктивных кондуктометрических преобразователей/ТИзмерительная техника, 1971, № 9. —с. 76.
2. Лопатин Б.А. Кондуктометрия. - Новосибирск; СО АН СССР, 1964. - 280 с.
3. Рабинович Ф.М. Кондуктометрический метод дисперсионного анализа. - Л.:Химия, 1970.-234 с.
4. Лопатин Б. А. Высокочастотное титрование с многозвенными ячейками. - М.:Химия, 1980.-156 с.
5. Родигин Н.М., Коробейникова И.Е. Контроль качества изделий методом вихревых токов. — М.: Машиздат, 1958. - 92 с..
6. Шауб Ю.Б. Кондуктометрия. — Владивосток: Дальнаука, 1996. - 488 с.
7. Жуков Ю.П., Кулаков М.В., Левин А.Л. Кондуктометрические концентра-томеры суспензий. - М.: ГОСНИТИ, 1967. - 128 с.
8. Кулаков М.В. Технологические измерения и приборы для химических производств.- М.: Машиностроение, 1974. - 462 с.
9. Латышенко К.П. Физические методы неразрушающего контроля. — М.:МГУИЭ, 2000. - 208 с.
10. Андреев В.С. Кондуктометрические методы и приборы в биологии и медицине.- М . : Медицина, 1973.-296 с.
11. Жуков Ю.П., Кулаков М.В. Высокочастотная безэлектродная кондуктометрия.- М . : Энергия, 1968. - 112 с.
12. Михлин Б.З. Высокочастотные ёмкостные и индуктивные датчики. М.: Гос-энергоиздат, 1960. - 72 с.

13. Карапеев К.Б. Методы электрических измерений. - М.: Стройиздат, 1977. -134 с.
14. Бугров А.В. Высокочастотные емкостные преобразователи и приборы контроля качества. - М.: Машиностроение, 1982. - 96 с.
15. Лопатин Б.А. Бесконтактная кондуктометрия С-ячейка. Дисс. док. техн. наук.- Новосибирск, Институт Автоматики СО АН СССР, 1967. - 350 с.
16. Первухин Б.С. Универсальные прецизионные лабораторные кондуктометры на базе микропроцессорной техники. Дисс....канд. техн. наук. - М.: МИХМ,1988.-192 с.
17. Л.Р.Нейман.К.С., Демирчян., "Теоретические основы электротехники", Учебник для вузов, Том 1, Энергоиздат. 1981 г.
18. Электромагнитный (токовыхрвой) неразрушающий контроль качества материалов и изделий. — В кн.: Библиографический указатель отечественной и иностранной литературы за 1969 - 1972 г.г. М.: МЭИ, 1972. - с. 162 - 289.
19. Заринский В. А., Ермаков В.И. Высокочастотный химический анализ. - М.Наука, 1970.-200 с.
20. Ветров В.В. и др. Электронно-технические измерения при физико-химических исследованиях. - Л.: Изд-во Ленинградского университета, 1979. -272 с.
21. Грилихес М.С., Филановский Б.К. Контактная кондуктометрия. Теория и практика метода. -Л.: Химия, 1980. - 176 с.
22. Нестеренко А.Д. Основы расчёта электроизмерительных схем уравновешивания.- К.: Изд-во АН УССР, 1960 - 716 с.
23. Худякова Т.А., Крещков А.П. Кондуктометрический метод анализа. - М.Высшая школа, 1975. - 207 с.

24. Леви Л.И., Китаев Я.А., Григорян С.А. Приборы для кондуктометрического титрования/УЗаводская лаборатория, 1977, № 6. — с. 659 — 660.
25. Лопатин Б.А. Теоретические основы электрохимических методов анализа. -М.: Высшая школа, 1975. — 296 с.
26. Klug O, Lopatin B.A. New developments in conductmetric and oscillometric analysis, Amsterdam, 1988. — p.313
27. Атабеков Г.И., "Теоретические основы электротехники", ч.1, "Линейные электрические цепи", Учебник для вузов, Ж." Энергия", 1978 г. Ст.592.
28. Белопольский И.И., Пикалова Л.Г. Расчёт трансформаторов малой мощности. - М.: Госэнергоиздат, 1963. - 272 с.
29. Левшина Е.С., Новицкий П.В. Электрические измерения физических величин: (Измерительные преобразователи). Учебное пособие для вузов. - Л.: Энергоатомиздат, 1983.—320с.
30. თ.მუსეელიანი, გ.მუსეელიანი, ნ.ლებანიძე. სამგრაგნილიანი ტრანსფორმატორული საზომი ბოგირის გვიგალენტური სქემა მჭიდრო ინდუქციური კავშირით. „ინტელექტუალი”, № 15, 2011 წ. გვ.137-143.
31. თ.მუსეელიანი, ნ. ლებანიძე-ასათიანი, ვ. შავთვალიშვილი, “კონდუქტომეტრის მგრძნობიარობის მაგნიტურ მასალაზე დამკიდებულების გამოკვლევა”, ქურ.”ინტელექტუალი”, 21, 2012წ. გვ180-185.
32. Кораблёв И.В., Латышенко К.П., Козлов В.Р. Методика оценки качества бесконтактных емкостных кондуктометров на основе критерия среднеквадратичных погрешностей. — В кн.: Автоматизация и комплексная механизация химико-технологических процессов, Ярославль, 1981, 223-231 с.

33. Фатеев Д.Е. Разработка и исследование микропроцессорного трансформаторного кондуктометра, работающего по принципу жидкостного вмтка. Дисс. канд. техн. наук, - Московский Государственный Университет Инженерной экологии.-2010, -200 с.
34. Абурджания А.Н., Муселиани Т.Г., Никурадзе Н.А., Котия К.А.,“О чувствительностимостовых измерительных схем”, Ж.“электричество”, N1, 1985 г. Ст.50-52.
- 35.Муселиани Т.Г.Исследование и разработка электрических схем измерительных преобразователей электропроводности. Дисс. канд. техн.наук. – Грузинский Технический Университет. -1993.-190 с.
36. Муселиани Т.Г.,”Последовательное соединение индуктивно связанных катушек” Ж.”GeorgianEngineeringNews”,N1, 2004 г. Ст.126-130.
37. ნ.ლებანიძე-ასათიანი.კონდუქტომეტრული გარდამქმნელის შემავალი ტრანსფორმატორის გულარას ოპტიმალური ფარდობითი მაგნიტური ჟღეწვადობისა და მასალის განსაზღვრა.ჟურ.,ინტელექტუალი”, № 22, 2013 წ.
38. Трансформаторные измерительные мосты, Под ред. Карапанова М, Энергия 1970 г.
- 39.К.М. Соболевский,Ф.Б.Гриневич,“К вопросу чувствительности моста с тесной индуктивной связью-Электрические методы автоматического контроля”, Новосибирск, Изд-во СО АН СССР, 1962.
40. А.Л. Грохольский, К.М.Соболевский, ”Мосты переменного тока с индуктивно связанными плечевыми элементами”, Автометрия, N1,1965.
- 41 .თ.მუხედიანი, ნ.ლებანიძე-ასათიანი, ა.პოტაპოვი. ძაბვის მიხედვით ტრანსფორმატორული საზომი ბოგირების მაქსიმალური მგრძნობიარობის განსაზღვრისათვის კომპიუტერული პროგრამის დამუშავება. საერთაშორისო სამეცნიერო კონფერენციის შრომების კრებული.ტექნიკური უნივერსიტეტი თბილისი. 2011 წ. გვ. 105-111.